



Univerzitetni program Geodezija,  
smer Geodezija

Kandidat:

**Matej Kolenc**

# **Analiza klasično in z avtomatskim viziranjem izvedenih opazovanj na mreži večjih razsežnosti**

**Diplomska naloga št.: 770**

**Mentor:**  
izr. prof. dr. Tomaž Ambrožič

**Somentor:**  
izr. prof. dr. Dušan Kogoj

**STRAN ZA POPRAVKE**

| <b><u>Stran z napako</u></b> | <b><u>Vrstica z napako</u></b> | <b><u>Namesto</u></b> | <b><u>Naj bo</u></b> |
|------------------------------|--------------------------------|-----------------------|----------------------|
|------------------------------|--------------------------------|-----------------------|----------------------|

## IZJAVA O AVTORSTVU

Podpisani **MATEJ KOLENC** izjavljam, da sem avtor diplomske naloge z naslovom:  
**»ANALIZA KLASIČNO IN Z AVTOMATSKIM VIZIRANJEM IZVEDENIH  
OPAZOVANJ NA MREŽI VEČJIH RAZSEŽNOSTI«**

Izjavljam, da se odpovedujem vsem materialnim pravicam iz dela za potrebe elektronske separatoteke FGG.

Ljubljana, 14.11.2008

## BIBLIOGRAFSKO – DOKUMENTACIJSKA STRAN IN IZVLEČEK

|                         |   |
|-------------------------|---|
| <b>UDK:</b>             | <b>528.02(043.2)</b>  |
| <b>Avtor:</b>           | <b>Matej Kolenc</b>   |
| <b>Mentor:</b>          | <b>doc. dr. Tomaž Ambrožič, univ. dipl. inž. geod., univ. dipl. inž. rud.</b>   |
| <b>Somentor:</b>        | <b>izr. prof. dr. Dušan Kogoj, univ. dipl. inž. geod.</b>   |
| <b>Naslov:</b>          | <b>Analiza klasično in z avtomatskim viziranjem izvedenih opazovanj<br/>na mreži večjih razsežnosti</b>                                 |
| <b>Obseg in oprema:</b> | <b>83 str., 11 pregl., 27 grafik., 24 sl.</b>   |
| <b>Ključne besede:</b>  | <b>klasično viziranje tarče, avtomatsko viziranje tarče, analiza<br/>natančnosti opazovanj, izravnava, analiza rezultatov izravnave</b> |

### Izvleček

Avtomatsko prepoznavanje in fino viziranje tarče predstavlja stopnjo motoriziranosti instrumenta, pri kateri instrument samodejno opravlja meritve. V diplomski nalogi je bila izvedena primerjava meritev, natančnosti meritev ter rezultatov izravnave za dva instrumenta, za instrument *Leica Geosystems TC2003* z viziranjem operaterja in za instrument *Leica Geosystems TCRP1201 R300* z uporabo avtomatskega viziranja tarče. Z instrumentom *Leica Geosystems TC2003* so bile izvedene meritve v treh girusih, z instrumentom *Leica Geosystems TCRP1201 R300* pa v šestnajstih girusih. Vse analize opazovanj in njihovih natančnosti, opravljenih z instrumentom *Leica Geosystems TCRP1201 R300*, so bile opravljene v sklopih. Prvi sklop je bil dobljen tako, da so bila upoštevana opazovanja iz prvih treh girusov, drugi sklop iz prvih štirih girusov,... Na podlagi analize natančnosti opravljenih meritev je bilo ugotovljeno, da lahko z avtomatskim viziranjem tarče dobimo natančnosti, ki so primerljive natančnostim meritev operaterja. Na koncu je bila izvedena primerjava in analiza rezultatov izravnave iz opazovanj, dobljenih z obema instrumentoma.

## BIBLIOGRAPHIC – DOCUMENTALISTIC INFORMATION AND ABSTRACT

**UDC:** **528.02(043.2)**  
**Author:** **Matej Kolenc**  
**Supervisor :** **assist. prof. dr. Tomaž Ambrožič**  
**Co-supervisor:** **assoc. prof. dr. Dušan Kogoj**  
**Title:** **Analysis of manual and automatic tracking measurements carried out in a geodetic network of long-range distance**  
**Notes:** **83 p., 11 tab., 27 gr., 24 fig.**  
**Key words:** **classical tracking of target, automatic target recognition, observation accuracy analysis, adjustment, adjustment results analysis**

### Abstract

The automatic target recognition and fine tracking demonstrate the high level of an instrument's automation since the measurements are performed completely automated. The present work gives a comparison of measurements, measuring accuracy and adjustment results between two instruments, *Leica Geosystems TC2003* with manual tracking and instrument *Leica Geosystems TCRP1201 R300* with automatic target tracking. The measurements with *Leica Geosystems TC2003* were carried out in three sets of angles whereas with *Leica Geosystems TCRP1201 R300*, they were carried out in 16 sets of angles. All analyses of monitoring and measuring accuracy on *Leica Geosystems TCRP1201 R300* were carried out in sets. The first set was obtained by taking the first three sets of angles into account, the second set by taking account of the first four sets of angles, and so on. Based on the accuracy analysis of performed measurements it could be determined that in terms of accuracy the automatic target tracking is comparable to manual measurements. Finally, a comparison and an analysis of measuring results obtained by both instruments were carried out.

## ZAHVALA

Zahvaljujem se somentorju izr. prof. Dušanu Kogoju, predvsem pa mentorju doc. dr. Tomažu Ambrožiču, za vestno delo, veliko vloženega časa in strokovno pomoč pri pisanju diplomske naloge. Zahvaljujem se tudi asist. dr. Simoni Savšek – Safić, asist. Alešu Marjetiču, asist. Albinu Mencinu in Bojanu Stegenšku za izvedbo terenskih meritev. Posebno pa bi se rad zahvalil staršem za finančno pomoč in Sandri za moralno podporo v času študija.

## KAZALO VSEBINE

|                  |   |           |
|------------------|---|-----------|
| <b>1</b>         | <b>UVOD .....</b>   | <b>1</b>  |
| <b>2</b>         | <b>MREŽA NUKLEARNE ELEKTRARNE KRŠKO.....</b>  | <b>3</b>  |
| <b>2.1</b>       | <b>Opis mreže.....</b>  | <b>3</b>  |
| <b>2.2</b>       | <b>Oblika mreže .....</b>   | <b>3</b>  |
| <b>2.3</b>       | <b>Stabilizacija in signalizacija točk geodetsko mikro trigonometrične mreže NE Krško .....</b> | <b>5</b>  |
| <b>3</b>         | <b>INSTRUMENTARIJ.....</b>  | <b>7</b>  |
| <b>4</b>         | <b>AVTOMATSKO PREPOZNAVANJE IN VIZIRANJE TARČE .....</b>  | <b>11</b> |
| <b>4.1</b>       | <b>Sistem za grobo iskanje tarče.....</b>   | <b>11</b> |
| <b>4.1.1</b>     | <b>Princip delovanja .....</b>  | <b>11</b> |
| <b>4.1.2</b>     | <b>Senzor PS .....</b>  | <b>12</b> |
| <b>4.2</b>       | <b>Sistemi za fino viziranje tarče.....</b>   | <b>15</b> |
| <b>4.2.1</b>     | <b>Princip delovanja .....</b>  | <b>15</b> |
| <b>4.2.2</b>     | <b>Natančnost merjenja.....</b>   | <b>20</b> |
| <b>4.2.3</b>     | <b>Kalibracija sistema ATR.....</b>   | <b>22</b> |
| <b>4.2.4</b>     | <b>Prikazane vrednosti .....</b>  | <b>23</b> |
| <b>4.2.5</b>     | <b>Območje delovanja ATR.....</b>   | <b>23</b> |
| <b>4.3</b>       | <b>Sistem za sledenje tarči.....</b>  | <b>24</b> |
| <b>5</b>         | <b>MERITVE IN PRIMERJAVA REZULTATOV PREDHODNE OBDELAVE<br/>PODATKOV.....</b>                    | <b>26</b> |
| <b>5.1</b>       | <b>Izmera mreže.....</b>  | <b>26</b> |
| <b>5.1.1</b>     | <b>Izmera mreže z instrumentom Leica Geosystems TC2003 .....</b>                                | <b>27</b> |
| <b>5.1.2</b>     | <b>Izmera mreže z instrumentom Leica Geosystems TCRP1201 R300 .....</b>                         | <b>29</b> |
| <b>5.2</b>       | <b>Prenos podatkov.....</b>   | <b>31</b> |
| <b>5.3</b>       | <b>Obdelava podatkov in ocena natančnosti opazovanj.....</b>                                    | <b>31</b> |
| <b>5.3.1</b>     | <b>Uporaba programskega paketa Leica Geosystems Liscad.....</b>                                 | <b>32</b> |
| <b>5.3.2</b>     | <b>Obdelava kotnih opazovanj .....</b>  | <b>33</b> |
| <b>5.3.2.1</b>   | <b>Horizontalne smeri.....</b>  | <b>33</b> |
| <b>5.3.2.1.1</b> | <b>Izračun sredin smeri, merjenih v dveh krožnih legah.....</b>                                 | <b>33</b> |
| <b>5.3.2.1.2</b> | <b>Izračun sredin smeri iz večih girusov.....</b>   | <b>34</b> |
| <b>5.3.2.2</b>   | <b>Zenitne razdalje .....</b>   | <b>34</b> |
| <b>5.3.2.2.1</b> | <b>Izračun sredin zenitnih razdalj, merjenih v dveh krožnih legah.....</b>                      | <b>34</b> |
| <b>5.3.2.2.2</b> | <b>Izračun sredin zenitnih razdalj iz večih girusov .....</b>                                   | <b>35</b> |
| <b>5.3.3</b>     | <b>Ocena natančnosti kotnih opazovanj .....</b>   | <b>35</b> |
| <b>5.3.3.1</b>   | <b>Ocena natančnosti kotnih opazovanj s programom Leica Geosystems Liscad.....</b>              | <b>35</b> |
| <b>5.3.3.1.1</b> | <b>Ocena natančnosti za horizontalne smeri .....</b>  | <b>36</b> |
| <b>5.3.3.1.2</b> | <b>Ocena natančnosti za zenitne razdalje .....</b>  | <b>36</b> |
| <b>5.3.3.2</b>   | <b>Ocena natančnosti horizontalnih smeri po girusni metodi .....</b>                            | <b>37</b> |
| <b>5.3.4</b>     | <b>Obdelava dolžinskih opazovanj .....</b>  | <b>40</b> |

---

|  |    |
|--|----|
| 5.3.5 Ocena natančnosti dolžinskih opazovanj.....  | 40 |
| 5.4 Primerjava in vrednotenje rezultatov predhodne obdelave podatkov.....  | 41 |
| 5.4.1 Primerjava natančnosti opazovanih količin, izračunanih s programom Leica Geosystems<br>Liscad 41           |    |
| 5.4.1.1 Primerjava natančnosti horizontalnih smeri.....  | 41 |
| 5.4.1.2 Primerjava natančnosti zenithnih razdalj .....   | 45 |
| 5.4.1.3 Primerjava natančnosti dolžin.....   | 48 |
| 5.4.2 Primerjava natančnosti merjenih horizontalnih smeri po girusni metodi .....                                | 51 |
| 5.5 Analiza izračunanih natančnosti .....  | 53 |
| 5.5.1 Analiza natančnosti horizontalnih smeri .....  | 53 |
| 5.5.2 Analiza natančnosti merjenih zenithnih razdalj .....   | 59 |
| <br>6 IZRAVNAVA IN PRIMERJAVA REZULTATOV IZRAVNATE.....  | 64 |
| <br>6.1 Redukcije dolžin.....  | 64 |
| 6.1.1 Meteorološki popravki.....   | 64 |
| 6.1.1.1 Prvi popravek hitrosti.....  | 64 |
| 6.1.2 Geometrični popravki.....  | 68 |
| 6.1.2.1 Popravek zaradi ukrivljenosti merskega žarka .....   | 69 |
| 6.1.2.2 Redukcije zaradi horizontalne ekscentricitete razdaljemera in reflektorja.....                           | 70 |
| 6.1.2.3 Izračun poševne dolžine med točkama na terenu (dolžina kamen -kamen).....                                | 70 |
| 6.1.3 Projekcijski popravki .....  | 71 |
| 6.1.3.1 Horizontiranje in redukcija na ničelni nivo .....  | 71 |
| 6.1.3.2 Izračun dolžine loka na referenčni ploskvi in redukcija na Gauß-Krügerjevo<br>projekcijsko ravnino ..... | 72 |
| 6.2 Izravnava opazovanj.....   | 72 |
| 6.3 Rezultati izravnave opazovanj.....   | 75 |
| <br>7 ZAKLJUČEK .....  | 79 |
| <br>VIRI.....  | 82 |

## PRILOGE

## KAZALO PREGLEDNIC

|   |    |
|---|----|
| Preglednica 1: Primerjava osnovnih karakteristik instrumentov .....   | 7  |
| Preglednica 2: Primerjava podatkov o zgradbi instrumentov .....   | 9  |
| Preglednica 3: Natančnost viziranja s sistemom ATR v odvisnosti od različnih metod<br>merjenja dolžine .....  | 21 |
| Preglednica 4: Sprejemljiva stabilnost prizme glede na metodo merjenja dolžine .....  | 22 |
| Preglednica 5: Maksimalne razdalje, do katerih deluje samodejno fino viziranje, glede na<br>različne tipe prizem .....  | 23 |
| Preglednica 6: Primerjava natančnosti izračunanih s programom Leica Geosystems Liscad (v<br>preglednici LGL) in po girusni metodi (v preglednici GM) v [mgon] ..... | 51 |
| Preglednica 7: Vrednosti konstant za izračun $E_m$ in $e$ v torrih .....  | 67 |
| Preglednica 8: Izravnane koordinate novih točk .....  | 75 |
| Preglednica 9: Značilne vrednosti natančnosti izravnanih koordinat in elipse pogreškov za<br>točke O1, O2, O3, O4 in O5 .....                                       | 77 |
| Preglednica 10: Značilne vrednosti natančnosti izravnanih koordinat in elipse pogreškov za<br>točke H1, H2, H3, H4, H5, H6 in H7 .....                              | 77 |
| Preglednica 11: A-posteriori ocena natančnosti .....  | 77 |

## KAZALO GRAFIKONOV

|   |    |
|---|----|
| Grafikon 1: Primerjava natančnosti reduciranih horizontalnih smeri na stojišču O1 z instrumentom Leica Geosystems TCRP1201 R300 v 3-16 girusih in z instrumentom Leica Geosystems TC2003 v 3 girusih, izračunanih s programom Leica Geosystems Liscad ..... | 42 |
| Grafikon 2: Primerjava natančnosti reduciranih horizontalnih smeri na stojišču O2 z instrumentom Leica Geosystems TCRP1201 R300 v 3-16 girusih in z instrumentom Leica Geosystems TC2003 v 3 girusih, izračunanih s programom Leica Geosystems Liscad ..... | 42 |
| Grafikon 3: Primerjava natančnosti reduciranih horizontalnih smeri na stojišču O3 z instrumentom Leica Geosystems TCRP1201 R300 v 3-16 girusih in z instrumentom Leica Geosystems TC2003 v 3 girusih, izračunanih s programom Leica Geosystems Liscad ..... | 43 |
| Grafikon 4: Primerjava natančnosti reduciranih horizontalnih smeri na stojišču O4 z instrumentom Leica Geosystems TCRP1201 R300 v 3-16 girusih in z instrumentom Leica Geosystems TC2003 v 3 girusih, izračunanih s programom Leica Geosystems Liscad ..... | 43 |
| Grafikon 5: Primerjava natančnosti reduciranih horizontalnih smeri na stojišču O5 z instrumentom Leica Geosystems TCRP1201 R300 v 3-16 girusih in z instrumentom Leica Geosystems TC2003 v 3 girusih, izračunanih s programom Leica Geosystems Liscad ..... | 44 |
| Grafikon 6: Primerjava natančnosti merjenih zenithnih razdalj na stojišču O1 z instrumentom Leica Geosystems TCRP1201 R300 v 3-16 ponovitvah in z instrumentom Leica Geosystems TC2003 v 3 ponovitvah .....   | 45 |
| Grafikon 7: Primerjava natančnosti merjenih zenithnih razdalj na stojišču O2 z instrumentom Leica Geosystems TCRP1201 R300 v 3-16 ponovitvah in z instrumentom Leica Geosystems TC2003 v 3 ponovitvah .....   | 46 |
| Grafikon 8: Primerjava natančnosti merjenih zenithnih razdalj na stojišču O3 z instrumentom Leica Geosystems TCRP1201 R300 v 3-16 ponovitvah in z instrumentom Leica Geosystems TC2003 v 3 ponovitvah .....   | 46 |
| Grafikon 9: Primerjava natančnosti merjenih zenithnih razdalj na stojišču O4 z instrumentom Leica Geosystems TCRP1201 R300 v 3-16 ponovitvah in z instrumentom Leica Geosystems TC2003 v 3 ponovitvah .....   | 47 |
| Grafikon 10: Primerjava natančnosti merjenih zenithnih razdalj na stojišču O5 z instrumentom Leica Geosystems TCRP1201 R300 v 3-16 ponovitvah in z instrumentom Leica Geosystems TC2003 v 3 ponovitvah .....  | 47 |
| Grafikon 11: Primerjava natančnosti merjenih dolžin na stojišču O1 z instrumentom Leica Geosystems TCRP1201 R300 v 3-16 ponovitvah in z instrumentom Leica Geosystems TC2003 v 3 ponovitvah .....   | 48 |
| Grafikon 12: Primerjava natančnosti merjenih dolžin na stojišču O2 z instrumentom Leica Geosystems TCRP1201 R300 v 3-16 ponovitvah in z instrumentom Leica Geosystems TC2003 v 3 ponovitvah .....   | 49 |
| Grafikon 13: Primerjava natančnosti merjenih dolžin na stojišču O3 z instrumentom Leica Geosystems TCRP1201 R300 v 3-16 ponovitvah in z instrumentom Leica Geosystems TC2003 v 3 ponovitvah .....   | 49 |

---

|   |    |
|---|----|
| Grafikon 14: Primerjava natančnosti merjenih dolžin na stojišču O4 z instrumentom Leica<br>Geosystems TCRP1201 R300 v 3-16 ponovitvah in z instrumentom Leica Geosystems<br>TC2003 v 3 ponovitvah ..... | 50 |
| Grafikon 15: Primerjava natančnosti merjenih dolžin na stojišču O5 z instrumentom Leica<br>Geosystems TCRP1201 R300 v 3-16 ponovitvah in z instrumentom Leica Geosystems<br>TC2003 v 3 ponovitvah ..... | 50 |
| Grafikon 16: Primerjava natančnosti horizontalnih smeri merjenih z instrumentom Leica<br>Geosystems TCRP1201 R300 .....   | 52 |
| Grafikon 17: Primerjava natančnosti horizontalnih smeri merjenih z instrumentom Leica<br>Geosystems TC2003 .....  | 52 |
| Grafikon 18: Kolimacijski pogrešek, izračunan za stojišče O1 .....  | 55 |
| Grafikon 19: Standardne deviacije kolimacijskih pogreškov za stojišče O1 .....  | 56 |
| Grafikon 20: Srednje vrednosti horizontalne smeri iz stojišča O1 proti točki O5 v odvisnosti<br>števila girusov .....   | 57 |
| Grafikon 21: Odstopanja srednje vrednosti horizontalnih smeri na stojišču O1 proti točki O5<br>.....  | 57 |
| Grafikon 22: Odstopanja srednje vrednosti horizontalnih smeri na stojišču O4 proti točki H3<br>.....  | 58 |
| Grafikon 23 : Indeksni pogrešek izračunan za stojišče O3 .....  | 60 |
| Grafikon 24: Standardne deviacije indeksnih pogreškov za stojišče O3 .....  | 60 |
| Grafikon 25: Zenitne razdalje iz stojišča O3 proti točki O5 v odvisnosti števila ponovitev ..   | 61 |
| Grafikon 26: Odstopanja zenitnih razdalj na stojišču O3 proti točki O5 .....  | 62 |
| Grafikon 27: Odstopanja zenitnih razdalj na stojišču O4 proti točki H7 .....  | 62 |

## KAZALO SLIK

|  |    |
|--|----|
| Slika 1: Skica mreže geodetskih točk NE Krško (Savšek-Safić et al., 2007) .....                  | 4  |
| Slika 2: Betonski steber: stabilizacija referenčne točke O5 .....                                | 5  |
| Slika 3: Signalizacija referenčne točke O5 .....   | 5  |
| Slika 4: Stabilizacija kontrolne točke H6.....   | 6  |
| Slika 5: Signalizacija kontrolne točke H6.....   | 6  |
| Slika 6: Oddajnik in sprejemnik PS in EGL (TPS1200+, 2007) .....                                 | 12 |
| Slika 7: Slika nastane kot posledica odbitega laserskega snopa sistema PS (TPS1200+, 2007) ..... | 13 |
| Slika 8: Test verodostojnosti odbitega signala: test prejete amplitude odbitega signala.....     | 14 |
| Slika 9: Test verodostojnosti odbitega signala: test časa skeniranja odbitega signala .....      | 14 |
| Slika 10: Zgradba daljnogleda in ATR pri Leica TPS1200+ (TPS1200+, 2007) .....                   | 15 |
| Slika 11: Poenostavljena slikovna geometrija.....  | 16 |
| Slika 12: Fino viziranje – horizontalni in vertikalni odmik .....                                | 17 |
| Slika 13: Spiralni potek finega viziranja (Singh, 2002).....                                     | 18 |
| Slika 14: Algoritem poteka merjenja s sistemom ATR .....   | 19 |
| Slika 15: Prikaz odvisnosti določitve kotne natančnosti v odvisnosti od velikosti odmika ....    | 20 |
| Slika 16: Princip sistema za sledenje tarči .....  | 24 |
| Slika 17: Elektronski tahimeter Leica Geosystems TC2003.....                                     | 27 |
| Slika 18: Osnovni meni instrumenta Leica Geosystems TC2003 .....                                 | 28 |
| Slika 19: Leica Geosystems TCRP1201 R300.....  | 29 |
| Slika 20: Osnovni meni instrumenta Leica Geosystems TCRP1201 R300 .....                          | 30 |
| Slika 21: Razlika med refrakcijsko krivuljo in pripadajočo tetivo.....                           | 69 |
| Slika 22: Redukcija kamen-kamen z višinskimi razlikami .....                                     | 70 |
| Slika 23: Prehod s tetine na pripadajoči krožni lok .....  | 72 |



## 1 UVOD

Avtomatsko prepoznavanje tarče predstavlja veliko in pomembno vlogo pri mnogih aplikacijah s področja industrije, drugih področjih ter tudi na področju geodezije postaja čedalje bolj uveljavljen in uporabljen koncept avtomotoriziranosti elektronskih tahimetrov.

Osnovna ideja avtomskega prepoznavanja tarče temelji na biološkemu sistemu celice oziroma na kakšen način živa bitja zaznavajo in prepoznavajo okolico. Namen je sestaviti model, ki omogoča procesiranje vidnega zaznavanja okolice. Tak model je zmožen procesirati energijo elektromagnetnega valovanja odbitega signala od predmeta, za katerega želimo, da ga sistem prepozna, do skupine senzorjev vgrajenih v instrument.

V geodeziji temelji razvoj elektronskih instrumentov na poenostavitevi dela, pri čemer ima operater manj dela pri upravljanju instrumenta in pri sami izmeri in posledično na zmanjšanje stroškov terenske izmere. Avtomatsko prepoznavanje tarče predstavlja sposobnost elektronskega tahimetra, da prepozna tarčo v prostoru, kjer koli se nahaja, ter da sledi njenemu premikanju.

V diplomske nalogi bomo preizkušali ali lahko z elektronskim tahimetrom, ki omogoča avtomatsko prepoznavanje tarče, dosežemo primerljive ali celo boljše rezultate kot z elektronskim tahimetrom, katerega upravlja operater. Za primerjavo smo uporabili elektronska tahimetra podjetja *Leica* in sicer *Leica Geosystems TCRP1201 R300* z avtomatskim prepoznavanjem tarče in *Leica Geosystems TC2003* z viziranjem operaterja.

Elektronska tahimetra smo preizkušali na mreži večjih razsežnosti, na mreži Nuklearne elektrarne Krško. Izmero smo izvedli po girusni metodi, dne 29.04.2008. Z elektronskim tahimetrom *Leica Geosystems TC2003* smo izvedli izmero v treh girusih, z elektronskim tahimetrom *Leica Geosystems TCRP1201 R300* pa v šestnajstih girusih oziroma v istem času kot z *Leica Geosystems TC2003* v treh girusih.

Za oba elektronska tahimetra bomo medsebojno primerjali rezultate izmere, natančnosti opazovanih količin ter rezultate izravnave. Dodatno pa bomo za elektronski tahimeter *Leica*

*Geosystems TCRP1201 R300* analizirali spreminjanje natančnosti opazovanih količin s povečevanjem števila girusov. Na ta način bomo poskusili ugotoviti ali povečevanje števila girusov pripomore k izboljšanju rezultatov oziroma ali je smotrna uporaba tolikšnega števila girusov.

## 2 MREŽA NUKLEARNE ELEKTRARNE KRŠKO

### 2.1 *Opis mreže*

Na območju Nuklearne elektrarne Krško (v nadaljevanju NE Krško) je za potrebe kontrole stabilnost referenčnih točk v okolici NE Krško in kontrolnih točk na pregradnih objektih NE Krško razvita geodetska mikro trigonometrična mreža. Meritve v tej mreži se izvajajo že od leta 1979 (Savšek-Safić et al., 2007). Namen ugotavljanja stabilnosti točk je v morebitnih nevarnosti porušitve pregradnega objekta NE.

### 2.2 *Oblika mreže*

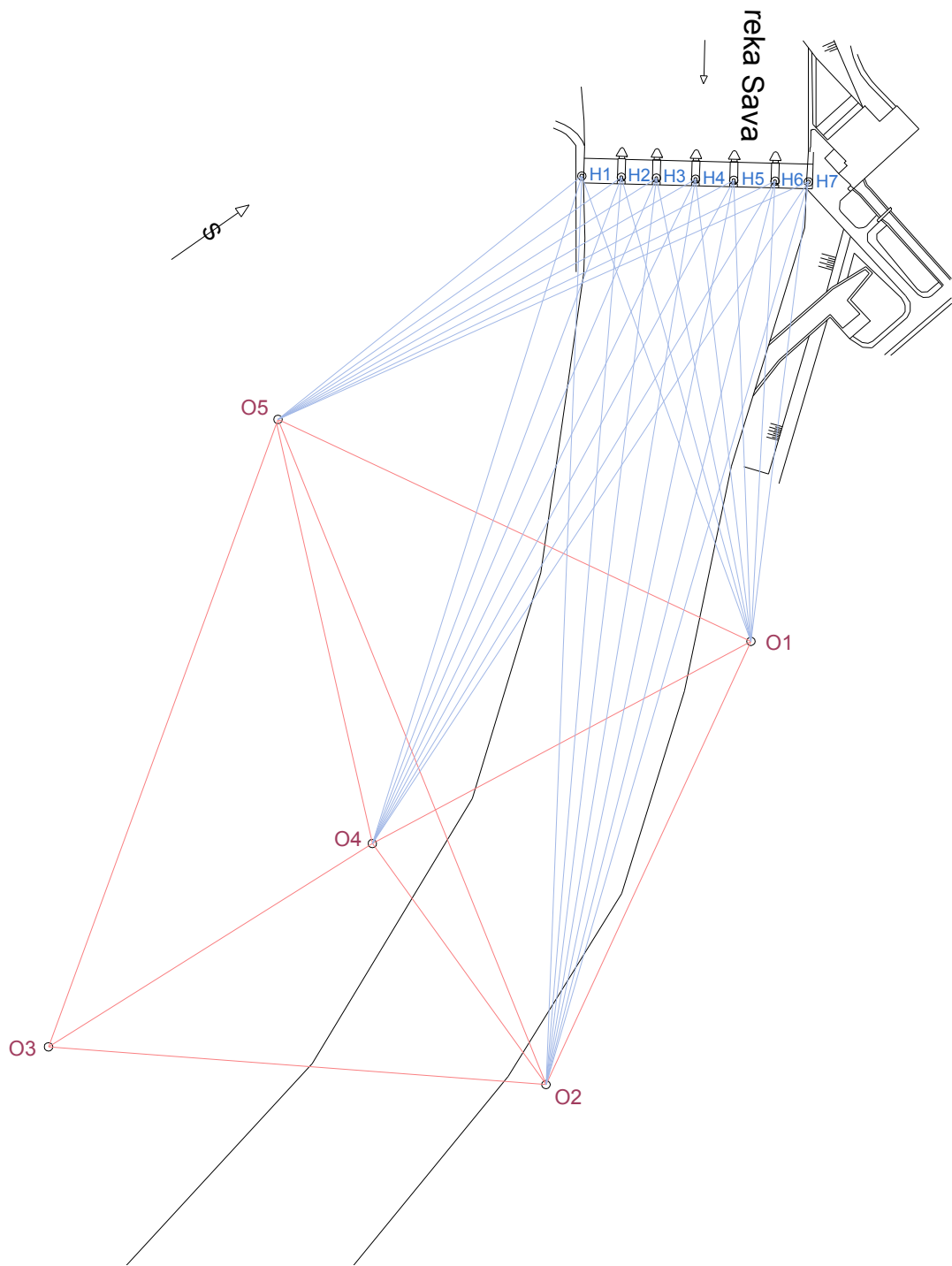
Geodetska horizontalna mreža je terestrična triangulacijsko trilateracijska mikromreža. To pomeni, da v mreži določujemo horizontalne premike na klasičen način z elektronskim tahimetrom z merjenjem horizontalnih smeri in poševnih dolžin.

Referenčnih točk je 5 in so stabilizirane v okolici NE in jezovne zgradbe. Te točke so: O1, O2, O3, O4 in O5.

Kontrolnih točk pa je 7 in so stabilizirane na objektih ob vtoku in ob iztoku. Kontrolne točke so: H1, H2, H3, H4, H5, H6 in H7.

V preteklosti so se opazovanja iz referenčne točke O3, zaradi zaraščenosti terena, pogosto izpustila. V našo izmero smo jo vključili, saj je ta točka najbolj oddaljena od obravnavanega objekta in zato najverjetneje stabilna. Vendar pa smo s te točke opazovali samo tri referenčne točke, saj se zaradi oddaljenosti in zaraščenosti terena ostalih točk ni videlo (Savšek-Safić et al., 2007).

Oblika mreže Krško je prikazana na Sliki 1.



Slika 1: Skica mreže geodetskih točk NE Krško (Savšek-Safić et al., 2007)

## 2.3 Stabilizacija in signalizacija točk geodetsko mikro trigonometrične mreže NE Krško

Referenčne točke geodetsko mikro trigonometrične mreže NE Krško so stabilizirane z betonskimi stebri, na katerih so vbetonirane kovinske plošče z navoji, ki omogočajo privitje podnožja instrumenta – prisilno centriranje instrumenta in reflektorja sistema *Leica Wild*. Stabilizacija z betonskim stebrom predstavlja klasično stabilizacijo opazovalnih geodetskih točk za meritve z namenom ugotavljanja deformacij. Taka stabilizacija zagotavlja vedno isti položaj instrumenta in reflektorja.



Slika 2: Betonski steber: stabilizacija referenčne točke O5



Slika 3: Signalizacija referenčne točke O5

Kontrolne točke na pregradi so stabilizirane tako, da prav tako omogočajo prisilno centriranje reflektorja sistema *Leica Wild*. Stabilizirane so z vijakom v betonsko podlago, ta pa omogoča, da lahko privijemo podnožje z nosilcem prizme. Podnožje seveda horizontiramo.



Slika 4: Stabilizacija kontrolne točke H6



Slika 5: Signalizacija kontrolne točke H6

### 3 INSTRUMENTARIJ

Cilj naloge je primerjava rezultatov meritev z dvema instrumentoma:

- *Leica Geosystems TC2003*;
- *Leica Geosystems TCRP1201 R300*.

Oba instrumenta sta namenjena meritvam, kjer so zahtevane visoke natančnost meritev in rezultatov izmere. *Leica Geosystems TCRP1201 R300* ima sistem za samodejno viziranje tarče, ki bistveno olajša delo operaterja (nadomesti njegovo delo).

Osnovne karakteristike obeh instrumentov so podane v Preglednici 1 (*TPS1200*, 2005; *TCA1800 / TCA2003 / TC2003*, 2004).

*Preglednica 1: Primerjava osnovnih karakteristik instrumentov*

|   | TC2003              | TCRP1201 R300       |
|---|---------------------|---------------------|
| <b>KOTNA NATANČNOST</b>                     |                     |                     |
| Natančnost ISO 17123-3                      | 0,5"                | 1"                  |
| Resolucija prikaza                          | 0,1"                | 0,1"                |
| Območje delovanje kompenzatorja             | 4'                  | 4'                  |
| “nastavljena natančnost”                    | 0,5"                | 0,5"                |
| <b>DOLŽINSKA NATANČNOST</b>                 |                     |                     |
| <i>Doseg</i>                                |                     |                     |
| Prizma GPR1                                 | do 2500 m           | do 3600 m           |
| 360° prizma                                 | do 1300 m           | do 1500 m           |
| Mini prizma                                 | do 900 m            | do 1200 m           |
| Reflektivna nalepka 60 mm x 60 mm           | do 200 m            | do 250 m            |
| <i>Natančnost / čas meritve ISO 17123-4</i> |                     |                     |
| Standardni način                            | 1 mm; 1 ppm / 3,0 s | 2 mm; 2 ppm / 1,5 s |
| Hitri način                                 | 3 mm; 2 ppm / 1,5 s | 5 mm; 2 ppm / 0,8 s |

|   |                     |                                      |
|---|---------------------|--------------------------------------|
| Način s sledenjem   | 5 mm; 2 ppm / 0,3 s | 5 mm; 2 ppm / < 0,15 s               |
| Resolucija prikaza  | 0,1 mm              | 0,1 mm                               |
| <b>GUIDE LIGHT (EGL)</b>                                  |                     |                                      |
| Delovni doseg   |                     | 5 m – 150 m                          |
| Natančnost  |                     | 5 cm na 100 m                        |
| <b>MOTORIZIRANOST</b>                                     |                     |                                      |
| Maksimalna hitrost vrtenja instrumenta                    | /                   | 45° / s                              |
| <b>ATR</b>  |                     |                                      |
| <i>Doseg načina ATR / Lock</i>                            |                     |                                      |
| Prizma GPR1   | /                   | 1000 m / 800 m                       |
| 360° prizma   | /                   | 600 m / 500 m                        |
| Mini prizma   | /                   | 500 m / 400 m                        |
| Reflektivna nalepka 60 mm x 60 mm                         | /                   | 55 m / -                             |
| Najkrajša možna izmerjena dolžina                         | /                   | 1,5 m / 5 m                          |
| <i>Natančnost / čas meritve</i>                           |                     |                                      |
|   | /                   | < 2 mm / 3-4 s                       |
| <i>Maksimalna hitrost premikanja prizme v načinu Lock</i> |                     |                                      |
| Tangencialna (standardni način)                           | /                   | 5 m / s pri 20 m, 25 m / s pri 100 m |

Iz primerjave osnovnih karakteristik obeh instrumentov lahko vidimo, da instrument *Leica Geosystems TC2003* omogoča natančnejše merjenje kotov kot *Leica Geosystems TCRP1201 R300*, zato lahko pričakujemo boljše rezultate oziroma večjo natančnost smeri pri instrumentu *Leica Geosystems TC2003*.

Osnovni podatki o zgradbi posameznih instrumentov so podani v Preglednici 2 (*TPS1200, 2005; TCA1800 / TCA2003 / TC2003*, 2004).

*Preglednica 2: Primerjava podatkov o zgradbi instrumentov*

|                                  | TC2003   | TCRP1201 R300   |
|----------------------------------|--|---|
| <b>DALJNOGLED</b>                |  |   |
| Povečava                         | 30x  | 30x   |
| Premer objektne leče             | 42 mm  | 40 mm   |
| Zorni kot                        | 1°33'<br>2,7 m / 100 m                                     | 1°30'<br>2,7 m / 100 m  |
| Območje fokusiranja              | od 1,7 m do $\infty$                                       | od 1,7 m do $\infty$  |
| <b>TIPKOVNICA IN ZASLON</b>      |  |   |
| Zaslon z osvetlitvijo            | 64*210 piksov, grafični<br>LCD zaslon z osvetlitvijo       | $\frac{1}{4}$ VGA (320 * 240<br>piksov), grafični LCD<br>zaslon z osvetlitvijo                |
| Tipkovnica                       | 32 tipk (6 funkcijskih, 12<br>alfanumeričnih, 6 direktnih) | 34 tipk (12 funkcijskih, 12<br>alfanumeričnih)  |
| Prikaz kotov                     | 360° ' ", 360° decimalno,<br>400 gon, 6400 mil             | 360° ' ", 360° decimalno,<br>400 gon, 6400 mil, V%  |
| Prikaz dolžin                    | m<br>ft int<br>ft us<br>ft int inch                        | m<br>ft int<br>ft us<br>ft int inch<br>ft us inch   |
| Lega                             | tipkovnica v I. in II. krožni<br>legi                      | standardno tipkovnica v I.<br>krožni legi / nadgrajena<br>različica tudi v II. krožni<br>legi |
| <b>SHRANJEVANJE<br/>PODATKOV</b> |  |   |
| Notranji pomnilnik               | S-RAM kartica (512 KB in<br>2 MB)                          | 32 MB   |
| Količina shranjenih podatkov     | ~ 4000 registracij / MB                                    | ~ 1750 registracij / MB   |
| Vmesnik                          | RS232  | RS232, Bluetooth brezžična<br>tehnologija (nadgrajena<br>različica)                           |

| <b><i>LIBELA</i></b>           |                     |                     |
|--------------------------------|---------------------|---------------------|
| Občutljivost dozne libele      | 4' / 2 mm           | 6' / 2 mm           |
| <b><i>LASERSKO GREZILO</i></b> |                     |                     |
| <i>Natančnost centriranja</i>  | 1,0 mm na 1,5 m     | 1,5 mm na 1,5 m     |
| Premer laserske pike           | 2,5 mm na 1,5 m     | 2,5 mm na 1,5 m     |
| <b><i>BATERIJA</i></b>         |                     |                     |
| Tip baterije                   | NiMH, s polnilcem   | Lithium - Ion       |
| Napetost                       | 12 V                | 7,4 V               |
| Kapaciteta                     | 1,8 Ah              | 3,8 Ah              |
| Čas obratovanja                | 600 meritev dolžin  | 6 – 8 h             |
| <b><i>TEŽA</i></b>             |                     |                     |
| Instrument                     | 7,5 kg              | 4,8 – 5,5 kg        |
| Baterija                       | 0,3 kg              | 0,2 kg              |
| Podnožje                       | 0,9 kg              | 0,8 kg              |
| <b><i>DELOVNO OKOLJE</i></b>   |                     |                     |
| Delovna temperatura            | -20°C do +50°C      | -20°C do +50°C      |
| Shranjevalna temperatura       | -40°C do +70°C      | -40°C do +70°C      |
| Zaščita pred prahom, vodo      | IP54                | IP54                |
| Vlažnost                       | 95%, nekondenzirana | 95%, nekondenzirana |

## 4 AVTOMATSKO PREPOZNAVANJE IN VIZIRANJE TARČE

Za motorizirane instrumente tipa *Leica* je samodejno prepoznavanje tarče sestavljeno iz treh sistemov za (Močnik, 2007):

- grobo iskanje tarče;
- fino viziranje tarče;
- sledenje tarči.

Sistem za grobo iskanje tarče omogoča samodejno iskanje tarče v prostoru, tako da je tarča v vidnem polju daljnogleda. Ko je tarča v vidnem polju daljnogleda, sistem za fino viziranje tarče omogoči fino viziranje na tarčo, sistem za sledenje tarči pa omogoča samodejno slednje elektronskega tahimetra, ko se tarča premika.

### 4.1 Sistem za grobo iskanje tarče

#### 4.1.1 Princip delovanja

Sistem za grobo iskanje tarče (angl. Power Search, v nadaljevanju PS) omogoča samodejno iskanje tarče. Postopek grobega iskanja tarče se začne tako, da se najprej elektronski tahimeter enkrat zavrti za  $360^\circ$  okrog navpične osi in pri tem oddaja snop nevidne laserske svetlobe, ki opisuje vertikalno ravnino. V trenutku, ko senzor zazna odbito nevidno lasersko svetlubo, ki se odbije od prizme, elektronski tahimeter preneha z vrtenjem. Na ta način je določen položaj tarče v horizontalni smeri. Določitev položaja tarče v vertikalni smeri pa se izvede s postopkom finega viziranja (ATR) – v tem primeru se vrti daljnogled po vertikalni osi, dokler ne zazna tarče in jo fino navizira (Močnik, 2007).

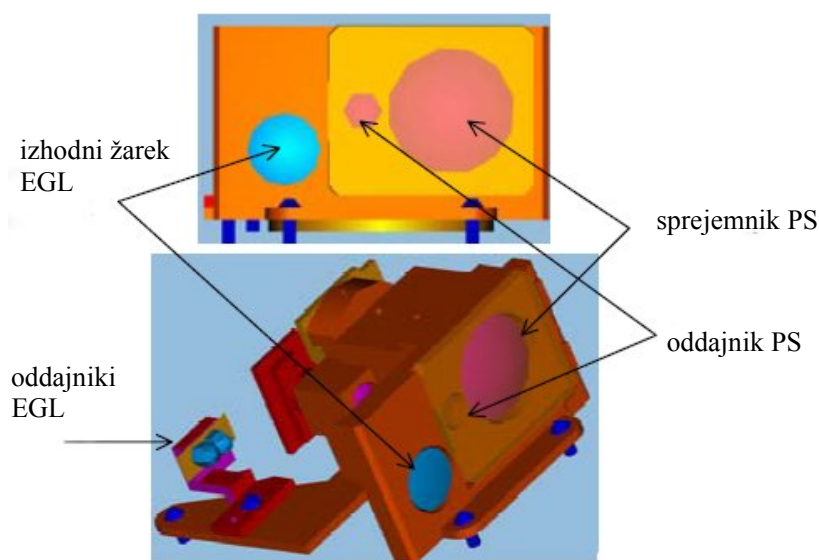
Območje delovanje sistema PS je omejeno, saj je snop nevidne laserske svetlobe širok le 40 gonov. PS deluje z vsemi običajnimi prizmami. Po podatkih proizvajalca je povprečni čas, v katerem instrument najde tarčo, krajši od 10 sekund, največja razdalja pri kateri elektronski

tahimeter še odkrije tarčo, pa je ob uporabi standardne in  $360^\circ$  prizme do oddaljenosti 200 m in ob uporabi mini prizme do 100 m.

#### 4.1.2 Senzor PS

Fino viziranje tarče s pomočjo ATR lahko vzame veliko časa in uporabnik bi moral vsakič, ko instrument ne najde tarče, ponovno vzpostaviti iskanje z ATR. Rešitev temu je grobo iskanje tarče – Power Search. Senzor PS je lociran na zgornjem delu daljnogleda (Slika 6). Sestavlja ga sprejemnik in oddajnik.

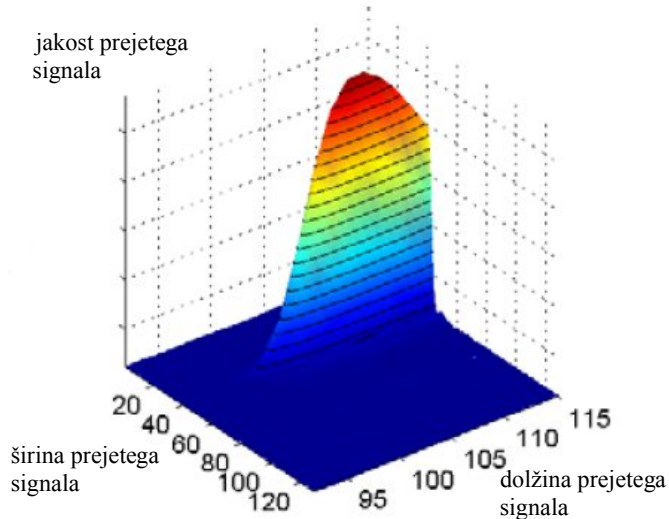
Ko je PS aktiviran, se instrument zavrti okoli vertikalne osi, medtem pa oddajnik odda laserski snop dimenzijs 40 gonov vertikalno in pol stopinje horizontalno. Če laserski snop zadane prizmo, se odbije in prispe v sprejemnik, ter instrument prenega z vrtenjem okoli vertikalne osi. Sledi fino viziranje tarče (*TPS1200+, 2007*).



Slika 6: Oddajnik in sprejemnik PS in EGL (TPS1200+, 2007)

Laserski žarek, ki se odbije od tarče nazaj proti instrumentu (Slika 7), se procesira v 3D sliko, ta pa je lahko slika bodisi tarče bodisi neznanega predmeta z odbojno podlago (npr. prometni

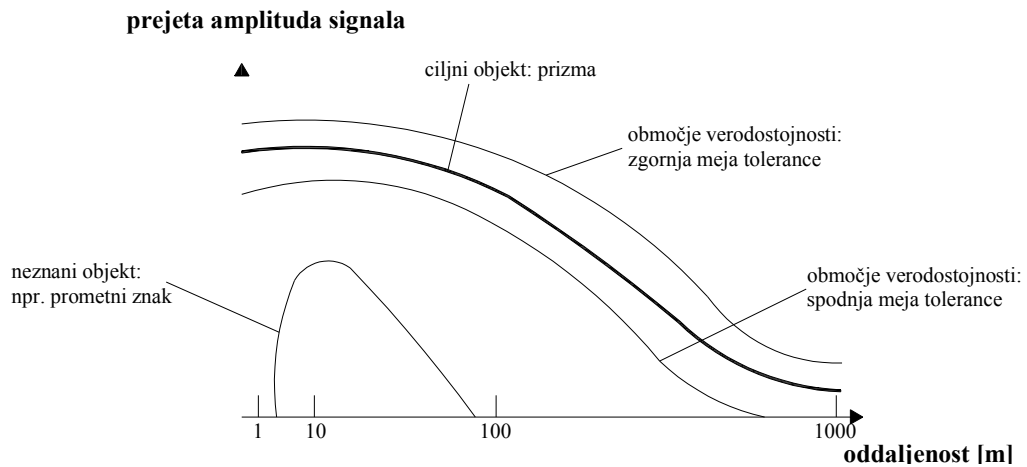
znak). Ta slika je 3D površje, ki predstavlja jakost in velikost odbitega signala v odvisnosti od amplitudo odbitega žarka ter od oddaljenosti do tarče.



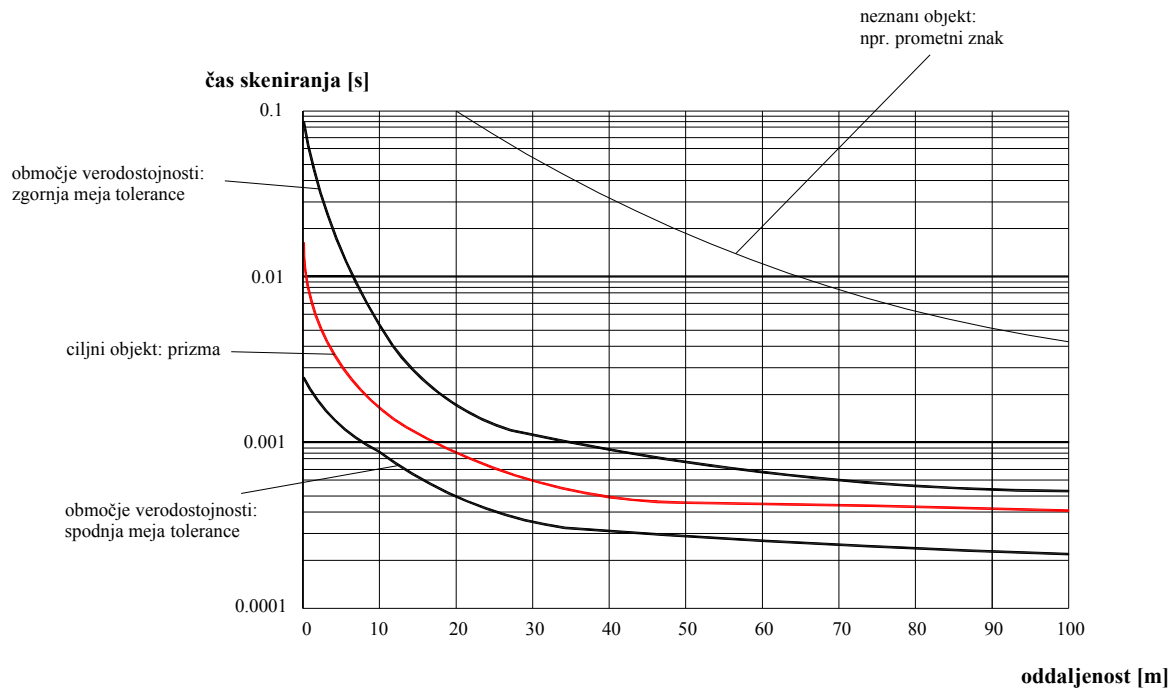
Slika 7: Slika nastane kot posledica odbitega laserskega snopa sistema PS (TPS1200+, 2007)

Zaznavanje tarče in njeno razlikovanje od neznanega predmeta z odbojno površino je določeno s poznavanjem intenzitete odbojnega žarka in z dolžino trajanja skeniranja prejete 3D slike – procesiranje slike, katere velikost je odvisna od dolžine med instrumentom in objektom, od katerega se odbije žarek.

Opravi se test verodostojnosti odbitega žarka. Velja, da mora biti za določene dolžine, na katerih se nahaja tarča, določena vrednost intenzitete odbitega žarka ter določena vrednost časa skeniranja – procesiranja slike. Če sta ti vrednosti znotraj mejnih vrednosti, ki veljajo za prizme tipa *Leica* (Slika 8), potem je ciljni objekt prizma, če pa ti dve vrednosti presegata mejne vrednosti, pa je to nek drugi, neznan objekt (TPS1200+, 2007).



Slika 8: Test verodostojnosti odbitega signala: test prejete amplitude odbitega signala

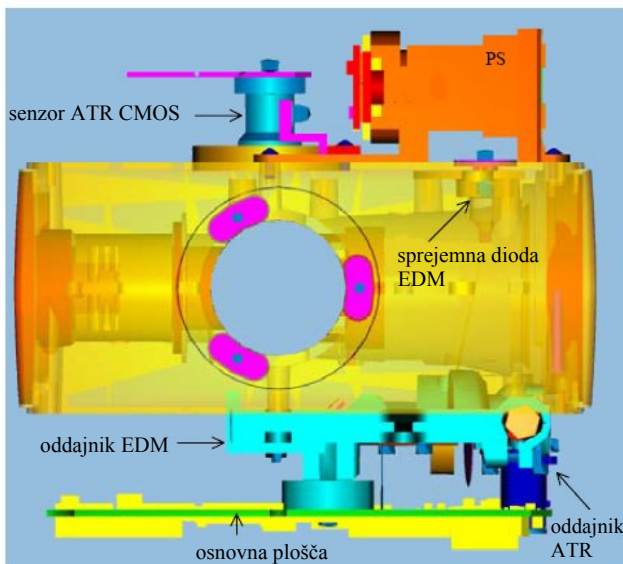


Slika 9: Test verodostojnosti odbitega signala: test časa skeniranja odbitega signala

## 4.2 Sistemi za fino viziranje tarče

### 4.2.1 Princip delovanja

Sistem za fino viziranje tarče (angl. Automatic Target Recognition, v nadaljevanju ATR) je senzor, ki prepoznavajo prizmo in izmeri njen položaj. Vgrajen je v daljnogled instrumenta (Slika 10). Oddani infrardeči (IR) laserski žarek se odbije na zrcalu v osi daljnogleda proti tarči, ki je v vidnem polju daljnogleda. Žarek, ki se odbije od prizme, se v daljnogledu na filtru loči od vidne svetlobe in od žarkov elektronskega razdaljemera ter na koncu pada na senzor CMOS (TPS1200+, 2007).



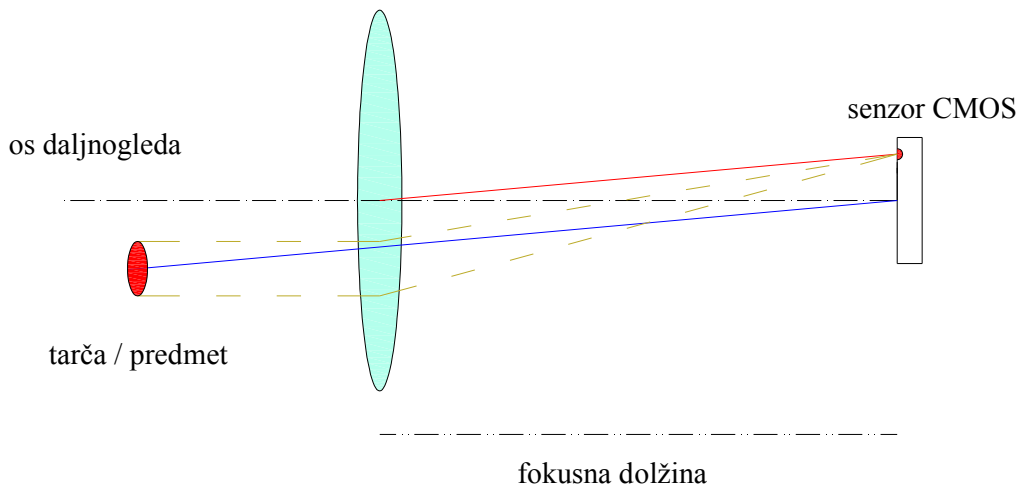
Slika 10: Zgradba daljnogleda in ATR pri Leica TPS1200+ (TPS1200+, 2007)

Pri instrumentih *Leica TPS1200+* temelji slikovna tehnologija na CMOS (Complementary Metal Oxide Semiconductors) dvodimenzionalni vrstični tehnologiji (*TPS1200+, 2007*). Prednosti senzorja CMOS je v hitrem procesiranju slike ter v čisti in ostri sliki v težjih pogojih dela, npr. ob svetlem ozadju za tarčo.

Kamera CMOS za ATR ima velikost piksla  $6 \mu\text{m}$ . Dovoljuje večjo resolucijo slike in tako omogoča večjo natančnost meritev kot instrument z vgrajeno kamero s senzorjem CCD.

Ena izmed prednosti tehnologije CMOS se kaže tudi pri sistemu za sledenje tarči, saj omogoča bolj robustne rešitve pod težjimi pogoji meritev.

Kot pri večini tehnologij slikovnega merjenja, je osnova meritev piksel. Dvodimenzionalna vrstična tehnologija CMOS sestoji iz množice vrstičnih in stolčnih piksov, ki so nanizani v lokalnem koordinatnem sistemu. Vsak piksel ima točno določeni koordinati ( $x, y$ ). Piksli, ki se nanašajo na tarčo, vsebujejo kotne informacije o tarči, te pa pridobimo s pomočjo osnov slikovne geometrije. Slika 11 prikazuje poenostavljeno slikovno geometrijo.



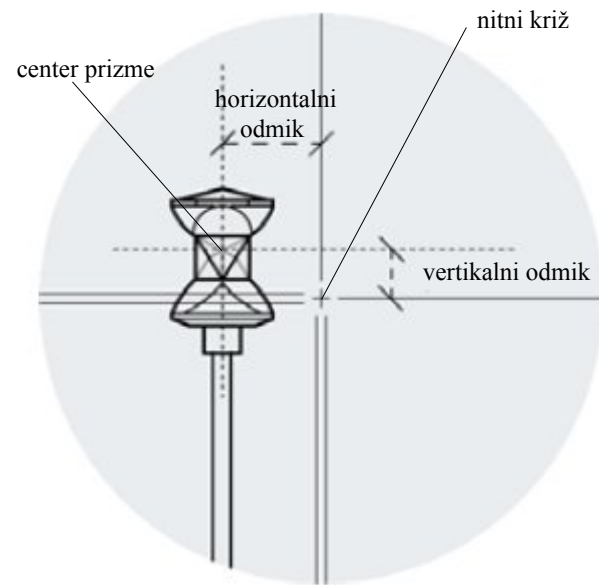
Slika 11: Poenostavljena slikovna geometrija

Osnovne ravne linije so (TPS1200+, 2007):

- os daljnogleda: ravna linija, ki povezuje center objektiva in center senzorja CMOS (na Sliki 11 jo prikazujemo s črno črtkano črto);
- os predmeta: ravna linija, ki povezuje center predmeta (tarče) in center senzorja CMOS (na Sliki 11 jo prikazujemo s polno modro črto);
- slikovna linija: ravna linija, ki povezuje center objektiva s centrom slike na senzorju CMOS (na Sliki 11 jo prikazujemo s polno rdečo črto).

Kot med osjo daljnogleda in osjo predmeta je enak kotu med osjo daljnogleda in slikovno linijo. Položaj slikovnega piksla na senzorju CMOS je povezan s kotom, ki ga lahko izračunamo ob poznavanju fokusne razdalje in velikosti piksla.

Translacija v 2D geometrijskem prostoru je možna, če merimo horizontalni in vertikalni položaj piksla na sliki, na ta način pridobimo horizontalni in vertikalni odmik prizme od položaja nitnega križa (Slika 12). Ta dva odmika se uporabita pri ukazu za upravljanje daljnogleda ter finem viziranju tarče, ali pri meritvi pravilnih kotnih vrednostih tarče, pri katerih upoštevamo horizontalni in vertikalni odmik.



Slika 12: Fino viziranje – horizontalni in vertikalni odmik

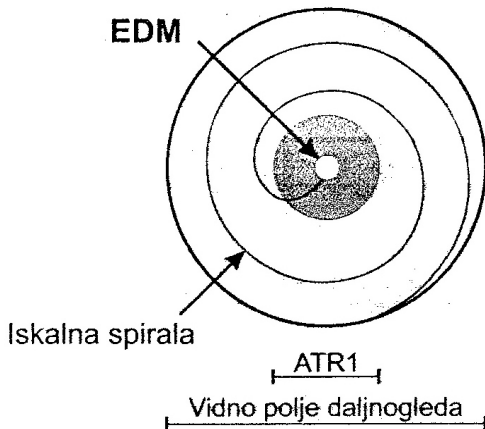
V odvisnosti od načina meritev dolžine:

- običajen način (angl. standard, v nadaljevanju STD),
- hitri način (angl. fast, v nadaljevanju FAST),
- način s sledenjem (angl. tracking, v nadaljevanju TRK),

in z minimizacijo časa meritev, sistem ATR izbere ali želi upravljati z motorizacijo daljnogleda, ali računsko določi končno vrednost kota. Če sta horizontalna in vertikalna odmika manjša od  $50^{\circ\circ}$  ( $16''$ ) in je STD izbran kot način meritev dolžine, sistem direktno

določi končne vrednosti kotov. V nasprotnem primeru pa sistem vrati daljnogled toliko časa, da sta odmika manjša od  $50^{\circ}$ . Odmika se nato uporabi za izračun pravih vrednost kotov glede na center tarče, čeprav nitni križ daljnogleda ne sovpada s centrom tarče. Za način meritev FAST in TRK, sta lahko odmika velikosti od  $400^{\circ}$  ( $130''$ ) (*TPS1200+, 2007*).

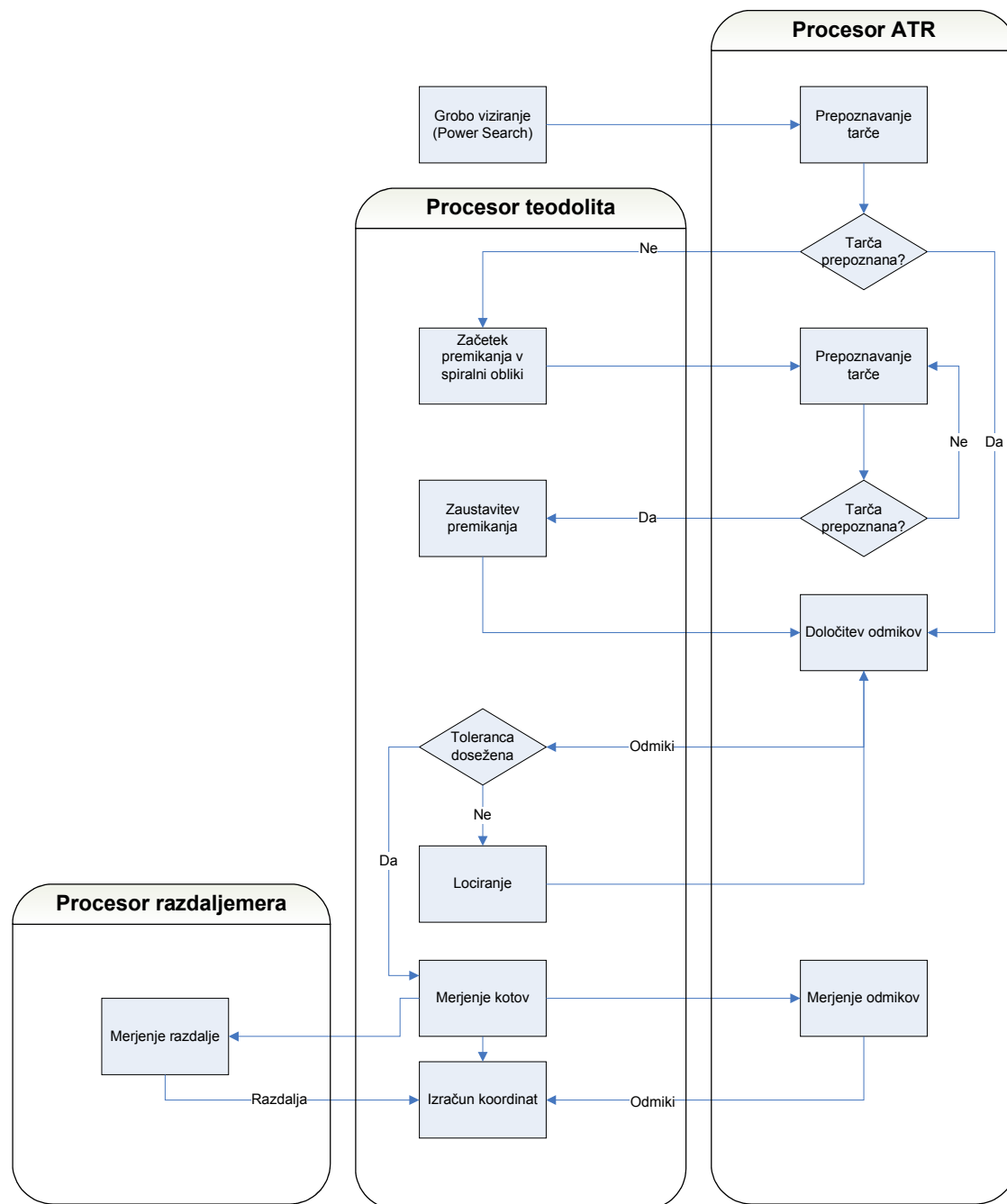
Ko tarča ni locirana znotraj vidnega polja daljnogleda, začne sistem ATR z iskanjem znotraj predhodno definiranega okna. Če instrument ne najde tarče znotraj tega okna, ga avtomatsko razširi, vse dokler ne najde prizme. Iskanje se izvede na iterativni način (Slika 13)



Slika 13: Spiralni potek finega viziranja (Singh, 2002)

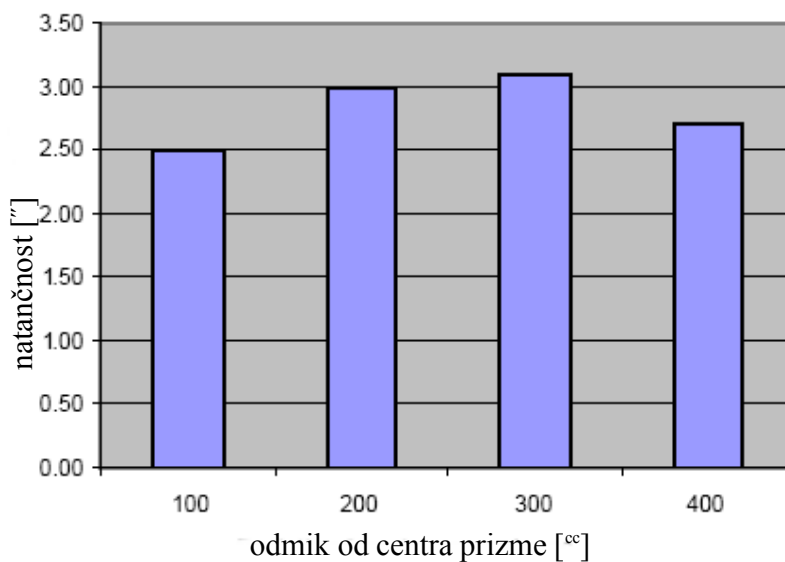
Aktivno območje ATR (ATR1 – Slika 13) je središčna tretjina vidnega polja daljnogleda. Po grobem ročnem viziranju tarče sledi fino viziranje tarče (ATR) popolnoma samodejno. Najprej sistem preveri ali se grobo navizirana tarča nahaja v vidnem polju daljnogleda. V kolikor sistem ATR v vidnem polju daljnogleda tarče ne zazna, požene proces iskanja. Tarčo poskuša odkriti z gibanjem daljnogleda v obliki spirale. Hitrost gibanja daljnogleda je nastavljena tako, da posamezne slike popolnoma prekrivajo celotno površino (Singh, 2002).

Zadnja generacija tahimetrov *Leica TPS1200* omogoča zmanjšanje vidnega polja sistema ATR na eno tretjino vidnega polja. Normalno vidno polje daljnogleda znaša  $1^{\circ}30'$ , možno pa ga je zmanjšati na  $30'$ . To je lahko uporabno pri uporabi več tarč, kjer jih lahko več naenkrat pade v vidno polje, npr. v predorih.



Slika 14: Algoritem poteka merjenja s sistemom ATR

Med montažo je geometrija senzorja CMOS kalibrirana in izmerjena, tako da so horizontalni in vertikalni piksli izmerjeni s pod-pikselsko natančnostjo. Tako je omogočena sekundna kotna natančnost merjenja horizontalnih in vertikalnih odmikov. Znotraj odmikov, manjših od  $50^{\text{cc}}$  ( $16''$ ), ustreza natančnost določitve odmikov natančnosti instrumenta za kotne meritve, to je okoli  $1''$ . Ko so odmiki velikosti do  $400^{\text{cc}}$  ( $130''$ ), znaša kotna natančnost določitve odmikov okoli  $2'' - 3''$ . Slika 15 prikazuje natančnosti ATR kotnih meritev v odvisnosti od velikosti kotnih odmikov nitnega križa od centra tarče (TPS1200+, 2007).



Slika 15: Prikaz odvisnosti določitve kotne natančnosti v odvisnosti od velikosti odmika

Pri uporabi sistema ATR odpade ostrenje daljnogleda in fino viziranje merjene točke. Tako se poveča hitrost merjenja. Dodatno pa je natančnost meritev konstantna in neodvisna od operaterja.

#### 4.2.2 Natančnost merjenja

V splošnem velja, da je natančnost samodejnega viziranja (ATR) in merjenja kotov enaka. Natančnost samodejnega viziranja je odvisna od izbrane metode meritev dolžine (Singh, 2002).

*Preglednica 3: Natančnost viziranja s sistemom ATR v odvisnosti od različnih metod merjenja dolžine*

| Metoda merjenja dolžine | Natančnost   |
|-------------------------|--------------|
| Standard                | 2 mm; 2 ppm  |
| Precise                 | 2 mm; 1 ppm  |
| Fast                    | 3 mm; 2 ppm  |
| Tracking                | 5 mm; 2 ppm  |
| Rapid tracking          | 10 mm; 2 ppm |

Dovoljeni odmiki ATR so večja pri hitrem načinu merjenja dolžine kot pri standardnem načinu. Zato bo nitni križ vedno zelo blizu centru tarče pri meritvi v standardnem načinu, medtem ko je lahko pri hitrem načinu nitni križ izven centra prizme tudi več kot  $2'$ .

Natančnost meritev z uporabo ATR lahko povečamo ob upoštevanju naslednjih pogojev (Singh, 2002):

- točno viziranje tarče;
- izogibanje uporabe 360 stopinjske prizme;
- prizma naj bo čista;
- meritve naj potekajo pri konstantnih pogojih svetlobe, priporočljivo je izogibanje temnejšim ozadjem, saj je tako izsleditev in viziranje tarče težje;
- izogibanje atmosferskim motnjam, vključno refrakciji.

V odvisnosti od izbranega načina meritev dolžine, ATR pričakuje določeno stabilnost prizme.

Med prvo fazo meritev ATR ugotavlja stabilnost prizme, ki mora biti sprejemljiva.

Preglednica 4: Sprejemljiva stabilnost prizme glede na metodo merjenja dolžine

| Metoda merjenja dolžine | Stabilnost |
|-------------------------|------------|
| Standard                | 2 mm       |
| Precise                 | 1 mm       |
| Fast                    | 3 mm       |
| Tracking                | 3 mm       |
| Rapid tracking          | 3 mm       |

#### 4.2.3 Kalibracija sistema ATR

Natančna kalibracija sistema za samodejno fino viziranje je zelo pomembna. Pogrešek samodejnega viziranja je sistematični pogrešek, ki je lahko izmerjen in kompenziran. Kalibracija ATR predstavlja postopek, ki definira os kamere CCD (pri novejših kamere CMOS) glede na optično os daljnogleda. Procedura določa kompenzacijo med tarčo, ki jo vidi oko operaterja glede na nitni križ daljnogleda in glede na to, kako je viziranje tarče določeno s kamero CCD sistema ATR. Ta kompenzacija je izvedena pri vsaki meritvi z uporabo samodejnega finega viziranja.

Kalibracija ATR naj bi bila izvedena (Singh, 2002):

- ob prejemu in prvi uporabi inštrumenta;
- pred katerokoli meritvijo povečane natančnosti;
- po dolgem in grobem transportu;
- po daljšem skladiščenju in neuporabi inštrumenta;
- pri delu pod ekstremnimi, težkimi delovnimi pogoji.

#### 4.2.4 Prikazane vrednosti

Ko je aktivirano samodejno fino viziranje in izmerimo samo dolžino do tarče (s pritiskom na gumb »*DIST*«), so kalibracijski odmiki prav tako upoštevani. Vendar pa se kotne vrednosti, ki jih vidimo na zaslonu instrumenta, nanašajo na središče tarče in ne na dejansko lego osi daljnogleda. Prav tako se ob pritisku na gumb »*REC*« te vrednosti shranijo. Ko se podatki shranijo, se ATR odmiki več ne upoštevajo in takrat se kotne vrednosti nanašajo na dejansko lego osi daljnogleda. Ob merjenju s pritiskom na gumb »*ALL*« se pri vrednostih merjenih kotov upoštevajo ATR odmiki in se popravljene vrednosti tudi shranijo v pomnilnik instrumenta. Ko pritisnemo gumb »*ALL*« se za trenutek vrednosti ATR odmikov tudi prikažejo. Potem pa se na zaslonu zopet prikažejo kotne vrednosti, ki se nanašajo na položaj dejanske lege osi daljnogleda (Močnik, 2007).

#### 4.2.5 Območje delovanja ATR

Po podatkih proizvajalca za elektronski tahimeter *Leica TPS1100* ob uporabi prizme *Leica GPR1*, znaša največja razdalja, do katere naj bi delovalo samodejno fino viziranje, ob običajnih atmosferskih pogojih, 1000 m. Za ostale prizme so razdalje prikazane v Preglednici 5.

*Preglednica 5: Maksimalne razdalje, do katerih deluje samodejno fino viziranje, glede na različne tipe prizem*

| Tip prizme                          | Maksimalna razdalja |
|-------------------------------------|---------------------|
| Prizma GPR1                         | 1000 m              |
| 360° prizma                         | 600 m               |
| Mini prizma                         | 500 m               |
| Reflektivna nalepka (60 mm x 60 mm) | 65 m                |

Pri naši izmeri je znašala največja razdalja okoli 440 m, za signalizacijo kontrolnih točk pa so bile uporabljene mini prizme.

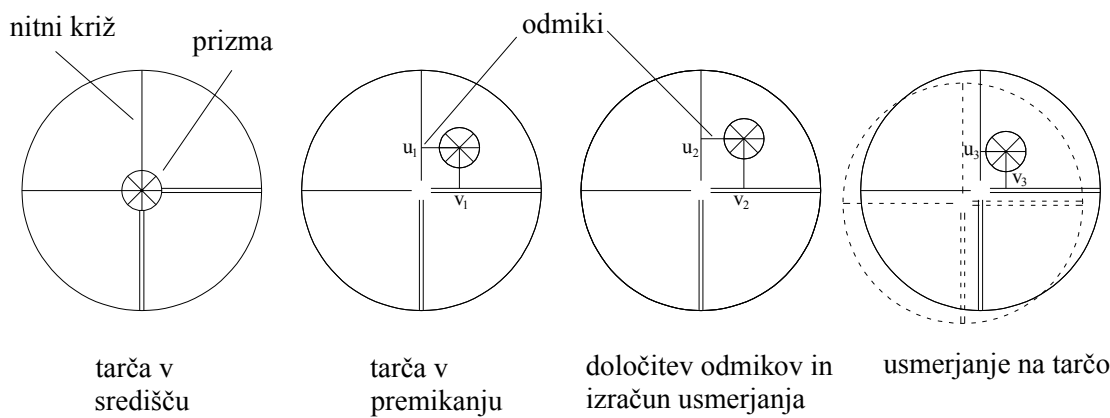
### 4.3 Sistem za sledenje tarči

Sistem za sledenje tarči predstavlja nadgradnjo sistema za fino viziranje tarče (angl. Lock, v nadaljevanju LOCK). Elektronskemu tahimetru, ki vsebuje ta sistem, omogoča, da sledi premikajoči se tarči.

Sistem LOCK je v splošnem uporaben pri dveh metodah meritev (Valh Mataija et al., 2008):

- dinamične meritve;
- *Stop and Go* metoda meritev.

Dinamične meritve predstavljajo niz kontinuiranih meritev do ciljnih točk z namenom določitve poti, ki jo opiše ciljna točka. *Stop and Go* metoda meritev pa omogoča, da operater, ki ima pri sebi kontrolno enoto za daljinsko vodenje instrumenta, izmero opravlja sam, vendar pa mora paziti, da ni ovire med elektronskim tahimetrom in tarčo.



Slika 16: Princip sistema za sledenje tarči

Problem nastopi, ko pride do kratkotrajnih prekinitev vidne povezave med elektronskim tahimetrom in tarčo. V tem primeru instrument uporabi funkcijo, ki predvidi oziroma ekstrapolira premike tarče, ki naj bi se zgodili glede na pot, ki jo je tarča opravila pred tem. Instrument lahko določi časovni trenutek, v katerem predvidi položaj tarče. Če se tarča pojavi v vidnem polju daljnogleda v času predvidenja, ji instrument ponovno samodejno sledi. V primeru, da se tarča ne pojavi v vidnem polju daljnogleda v času predvidenja, potem instrument sproži funkcijo PS. Pri nošenju tarče je pomembno tudi, da je tarča ves čas obrnjena proti instrumentu.

## 5 MERITVE IN PRIMERJAVA REZULTATOV PREDHODNE OBDELAVE PODATKOV

### 5.1 Izmera mreže

Metoda izmere v mikro trigonometrični mreži Krško je bila klasična terestrična izmera, ki zajema metodo triangulacije in metodo trilateracije. Horizontalni položaj kontrolnih točk je določen na osnovi kotnih in dolžinskih opazovanj. Z vključitvijo obeh tipov opazovanj povečamo število nadštevilnih opazovanj in zagotovimo večjo natančnost in zanesljivost položajev kontrolnih točk.

Za namen ugotavljanja stabilnosti pregrade NE Krško se izvedejo meritve kontrolnih točk z referenčnih točk. Meritve med referenčnimi točkami pa izvedemo z namenom ugotavljanja njihove položajne stabilnosti.

Merjene količine v mreži so tri: horizontalne smeri, poševne dolžine in zenitne razdalje. Metoda meritev horizontalnih smeri je girusna metoda. Poševne dolžine in zenitne razdalje smo merili istočasno s horizontalnimi smermi.

Poleg tega smo na vseh stojiščih merili suho in mokro temperaturo ter zračni tlak z namenom reduciranja dolžin za potrebe izravnave horizontalne mreže. Vse te količine smo na vsakem stojišču merili trikrat in za izračun uporabili sredino posameznih vrednosti.

Z referenčnih točk O2, O4 in O5 so bila opazovanja izvedena do vseh ostalih referenčnih točk in kontrolnih točk, z referenčne točke O1 so bila izvedena opazovanja prav tako do vseh kontrolnih točk in referenčnih točk, razen referenčne točke O3, z referenčne točke O3 pa so bila opazovanja izvedena samo do referenčnih točk O2, O4 in O5, do kontrolnih točk, pa zaradi večje oddaljenosti, niso bila izvedena.

Opazovanja z instrumentom *Leica Geosystems TC2003* smo začeli na referenčni točki O3, nadaljevali na referenčnih točkah O4, O5, O1 in O2, z instrumentom *Leica Geosystems TCRP1201 R300* pa smo začeli na O1, nadaljevali na O2, O3, O4 in O5.

Opazovanja z instrumentom *Leica Geosystems TC2003* so bila izvedena v treh girusih, z instrumentom *Leica Geosystems TCRP1201 R300* pa so bila izvedena v 16-ih girusih oziroma v istem času, potrebnim za opazovanje z instrumentom *Leica Geosystems TC2003* na enem stojišču v treh girusih.

### 5.1.1 Izmera mreže z instrumentom *Leica Geosystems TC2003*

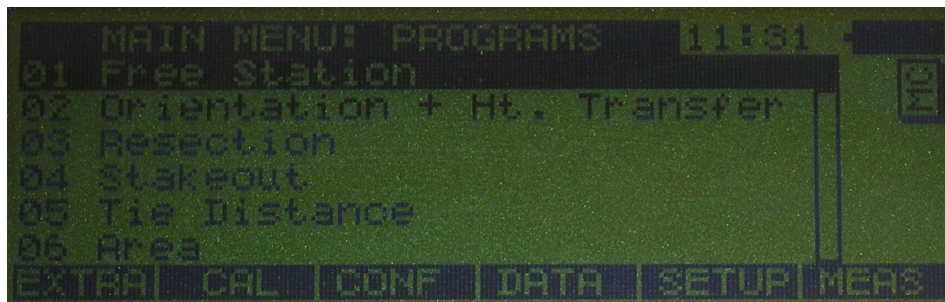
Z instrumentom *Leica Geosystems TC2003* smo izmerili tri giruse na vsaki referenčni točki. Instrument za shranjevanje podatkov uporablja notranji pomnilnik.



Slika 17: Elektronski tahimeter *Leica Geosystems TC2003*

Pred začetkom meritev je potrebno v instrument vnesti podatke o instrumentu ter podatke o meritvah. Ko je instrument vklopljen, v osnovnem meniju »PROGRAMS« najprej vnesemo podatke o stojišču. To storimo s pritiskom tipke F5 »SETUP«, kjer najprej nastavimo način delovanja, privzeti pomnilnik, datoteko, kamor se zapisujejo podatki. S pritiskom tipke F5

»STN« se nam odpre okno za vnašanje podatkov o stojišču, kot so višina instrumenta, koordinate stojišča, ipd. Ko vnesemo vse podatke o instrumentu, jih s funkcijsko tipko F3 »REC« potrdimo in shranimo.



Slika 18: Osnovni meni instrumenta Leica Geosystems TC2003

Sedaj moramo določiti nastavite o načinu meritev. Program za girusno metodo se imenuje program »SETS OF ANGLES«. Ko ga v osnovnem meniju izberemo, imamo na voljo več možnosti. S prvo lahko izmerimo prvo krožno lego prvega girusa, z drugo izmerimo drugo krožno lego prvega girusa in preostale giruse, tretja omogoča izračun sredin horizontalnih smeri, četrta izračun sredin zenithnih distanc, peta izračun dolžin, šesta pa končanje izvajanja programa »SETS OF ANGLES«. Najprej izberemo prvo opcijo »MEASURE FIRST SET«. Sedaj je potrebno vnesti podatke o številu girusov, številu smeri, krožni legi, oznaki opazovane točke ter višini reflektorja. Te nastavite potrdimo s tipko F5 »DONE«.

Sedaj, ko smo v načinu za izvajanje meritev, s tipko F1 »ALL« registriramo vsa opazovanja do posamezne točke. Za vsako naslednjo točko je potrebno pred prvo meritvijo podati ime opazovane točke, pri naslednjih meritvah pa bo instrument samodejno prepoznał in podajal ime točke. Po končanem opazovanju prve krožne lege prvega girusa vseh točk, pritisnemo tipko F5 »DONE« in nato s tipko »CONT« izberemo opcijo »MEASURE FURTHER SETS«, kjer izvedemo meritve druge krožne lege prvega girusa in preostalih girusov.

### 5.1.2 Izmera mreže z instrumentom *Leica Geosystems TCRP1201 R300*

Za razliko od instrumenta *Leica Geosystems TC2003*, kjer se podatki shranjujejo direktno v pomnilnik v datoteko, ki jo izberemo pred začetkom meritev, se pri instrumentu *Leica Geosystems TCRP1201 R300* podatki shranjujejo v posamezno delovišče. Prednost možnosti izbire delovišča se pokaže pri pogostejših izmerah na istem delovišču, gradbišču, saj imamo v delovišču lahko shranjene podatke o geodetskih točkah, in jih tako ni potrebno za vsako izmero ponovno vnašati v instrument. S tem instrumentom smo izmerili 16 girusov.



Slika 19: *Leica Geosystems TCRP1201 R300*

Ko je instrument vklopljen, najprej ustvarimo novo delovišče, kamor se bodo shranjevali podatki. Ustvarimo ga tako, da v začetnem meniju izberemo opcijo »MANAGEMENT« in nato opcijo »JOBS«, kjer pritisnemo tipko »NEW« in vpišemo ime delovišča. Izmero pričnemo tako, da v osnovnem meniju izberemo opcijo »PROGRAMS« in nato program »SETS OF ANGLES«. Tukaj s tipko F3 »SETUP« preidemo v okno za vnos podatkov o stojišču, kjer lahko določimo metodo določitve stojišča, metodo določitve koordinat stojišča, ime stojiščne točke, višino instrumenta, bazo koordinat delovišča in merilo prikaza. Ko vnesemo vse podatke, jih potrdimo s tipko F1 »CONT« in preidemo v meni, kjer so nanizani zaporedni koraki meritev. Najprej izberemo opcijo »SELECT POINTS« in izvedemo prvi polgirus ročno.

Na tem koraku ni potrebno tarče fino vizirati (nitni križ daljnogleda ni potrebno, da sovpada s centrom tarče), dovolj je, da se nahaja v območju daljnogleda. Tako se izognemo grobemu iskanju tarč (PS) in instrument tako potrebuje za vsako meritev samo fino navizirati tarčo (ATR). S prvim viziranjem v prvi krožni legi prvega girusa dosežemo to, da si instrument zapomni položaj tarče v prostoru in se glede na te podatke v naslednjih girusih avtomatsko zavrti proti tarči, jo fino navizira in opravi meritve. Instrument uporabi podatke o odmikih nitnega križa daljnogleda od centra tarče v prvem polgirusu za boljšo samodejno viziranje v naslednjih girusih.

Za vsako točko vnesemo ime točke, tip in višino reflektorja. S pritiskom na tipko F1 »*CONT*« potrdimo vnesene podatke za opazovano smer in nato v načinu »*SURVEY*« opravimo meritve s tipko F1 »*ALL*«, s katero registriramo podatke v pomnilniško kartico. Način meritve girusa lahko izberemo sami. Ko končamo z meritvami v prvi krožni legi, s tipko F5 »*DONE*« potrdimo, da smo končali z ročnim vnašanjem točk in meritvami.



Slika 20: Osnovni meni instrumenta Leica Geosystems TCRP1201 R300

Ko se zaključijo meritve v prvem girusu, se na zaslonu prikaže stran z zaporednim seznamom opravil programa »*SETS OF ANGLES*«. Sedaj izberemo opcijo »*MEASURE SETS*« in tako lahko nastavimo podatke za avtomatsko izvajanje meritev, kjer lahko med drugim izberemo časovni interval meritev. Sedaj instrument nadaljuje s samodejnimi meritvami v preostalih girusih.

V primeru, da med avtomatskim izvajanjem opazovanj pride do kakšne napake, bodisi ovira vzdolž vizure, bodisi kaj drugega, instrument prekine z izvajanjem opazovanj, lahko pa samo preskoči določen meritev. V tem primeru mora operater odpraviti napako in ponovno zagnati opazovanja.

## 5.2 Prenos podatkov

Po izvedenih meritvah je potrebno iz pomnilnika instrumenta na računalnik opraviti prenos podatkov. Prenos smo opravili s pomočjo računalniškega programa *LEICA GeoOffice Tools*. Cilj prenosa podatkov je pridobitev \*.raw datoteke, ki nam služi kot vhodna datoteka za obdelavo podatkov opazovanj po girusni metodi.

## 5.3 Obdelava podatkov in ocena natančnosti opazovanj

Obdelavo podatkov opazovanj smo izvedli v programskem paketu *Leica Geosystems Liscad*.

Opazovanja z instrumentom *Leica Geosystems TC2003* so bila na vsaki referenčni točki izvedena v treh girusih. Zato smo ta opazovanja obdelali v enem sklopu.

Opazovanja z instrumentom *Leica Geosystems TCRP1201 R300* pa so bila na vsaki referenčni točki izvedena v šestnajstih girusih. Kriterij števila girusov je bil čas meritev, ki je enak času, kot so bila opazovanja izvedena z instrumentom *Leica Geosystems TC2003*. Opazovanja pa so bila obdelana v večih sklopih. Prvi sklop je bila obdelava podatkov opazovanj za prve tri giruse, vsak nadaljnji sklop pa je vseboval en girus več. Torej je bilo vsega skupaj za *Leica Geosystems TCRP1201 R300* obdelanih 14 sklopov – od treh do 16-ih girusov. Želja je bila tudi analizirati, kako se spreminja natančnosti kotnih in dolžinskih opazovanj z večanjem števila girusov in seveda kako se spreminja rezultati izravnave in natančnosti določitve koordinat z večanjem števila girusov.

Natančnosti opazovanj horizontalnih smeri smo izračunali v programske paketu *Leica Geosystems Liscad*, dodatno pa smo izračunali natančnosti horizontalnih smeri po girusni metodi za vsak sklop posebej.

Natančnosti dolžinskih opazovanj in zenitnih razdalj smo prav tako izračunali v programske paketu *Leica Geosystems Liscad*, pred izravnavo pa je bilo potrebno dolžine reducirati.

Osnovna enota kotnih opazovanj ter natančnosti kotnih opazovanj, tako horizontalnih smeri kot zenitnih razdalj, so gradi, osnovna enota dolžinskih opazovanj in ocene natančnosti dolžinskih opazovanj pa so metri.

### 5.3.1 Uporaba programskega paketa *Leica Geosystems Liscad*

Vhodni podatek za programske paket *Leica Geosystems Liscad* je datoteka formata \*.raw. V programu najprej definiramo projekt, znotraj katerega se bo izvajala obdelava. Datoteka projekta za ta program je formata \*.see. Najprej je potrebno nastaviti vse parametre, tako da bo obdelava podatkov stekla pravilno. Ti parametri so: parametri kotnih opazovanj, parametri dolžinskih opazovanj, koordinatni parametri, natančnost izpisa in zaokroževanja. Poleg tega lahko nastavimo še parametre, ki se nanašajo na obliko približka zemeljske površine ter metapodatke, ki se nanašajo na izvajalca, naročnika, itd.

Za obdelavo podatkov je potrebno kreirati datoteko formata \*.fld, ki služi v tem programu kot vhodna datoteka za izračun sredin girusov horizontalnih smeri, zenitnih razdalj ter sredin poševno merjenih dolžin s pripadajočimi natančnostmi. Datoteko \*.fld kreiramo tako, da v meniju »*TASK*« izberemo modul »*FIELD TRANSFER*«. Tu je potrebno izbrati, kje se nahaja \*.raw datoteka in kam bomo shranili \*.fld datoteko.

Sedaj nam datoteka \*.fld služi kot vhodna datoteka za izračun sredin girusov. Primer urejene \*.fld datoteke podajamo v Prilogi 4.

Sredine girusov izračunamo z modulom »SETS SUMMARY« v meniju »RESOLVE«. Program nam rezultate poda v obliki poročila, ki ga lahko shranimo kot besedilno datoteko s končnico \*.txt. Primer poročila o izračun sredin girusov podajamo v Prilogi 5.

### 5.3.2 Obdelava kotnih opazovanj

V sklopu kotnih opazovanj ločeno obdelujemo opazovanja horizontalnih smeri in zenithnih razdalj.

#### 5.3.2.1 Horizontalne smeri

##### 5.3.2.1.1 Izračun sredin smeri, merjenih v dveh krožnih legah

Sredine smeri, merjenih v dveh krožnih legah, izračunamo po enačbi:

$$a_i = \frac{a_i^I + (a_i^{II} \pm 200 \text{gom})}{2} \quad (1)$$

kjer so:

$a_i$  ... horizontalna smer

$a_i^I$  ... odčitek horizontalne smeri v I. krožni legi

$a_i^{II}$  ... odčitek horizontalne smeri v II. krožni legi

### 5.3.2.1.2 Izračun sredin smeri iz večih girusov

Sredine smeri iz večih girusov pa izračunamo po enačbi:

$$\bar{a} = \frac{\sum_{i=1}^n a_i}{n} \quad (2)$$

kjer so

$\bar{a}$  ... aritmetična sredina smeri iz  $n$  girusov

$a_i$  ... sredine smeri iz posameznih girusov (od prvega do  $n$ -tega girusa)

$n$  ... število girusov

### 5.3.2.2 Zenitne razdalje

#### 5.3.2.2.1 Izračun sredin zenitnih razdalj, merjenih v dveh krožnih legah

Sredine zenitnih razdalj izračunamo po enačbi:

$$z_i = \frac{z_i^I - z_i^{II} + 400\text{gon}}{2} \quad (3)$$

kjer so:

$z$  ... zenitna razdalja

$z_i^I$  ... odčitek zenitne razdalje v I. krožni legi

$z_i^{II}$  ... odčitek zenitne razdalje v II. krožni legi

### 5.3.2.2 Izračun sredin zenithnih razdalj iz večih girusov

Sredine zenithnih razdalj iz večih girusov izračunamo po enačbi:

$$\bar{z} = \frac{\sum_{i=1}^n z_i}{n} \quad (4)$$

kjer so:

- $\bar{z}$  ... aritmetična sredina zenithnih razdalj iz  $n$  ponovitev  
 $z_i$  ... zenithne razdalje iz posameznih ponovitev (od prve do  $n$ -te ponovitve)  
 $n$  ... število ponovitev

### 5.3.3 Ocena natančnosti kotnih opazovanj

Oceno natančnosti za horizontalne smeri lahko izračunamo na dva načina. Prvič izračunamo iz natančnosti za horizontalne smeri iz standardnih deviacij za vsako smer posebej, kot nam izračuna program *Leica Geosystems Liscad*. Drugič pa oceno natančnosti izračunamo po girusni metodi z upoštevanjem pogreška začetne smeri. Ta ocena natančnosti je bolj korektna, saj pri izračunu upošteva pogrešek začetne smeri, izračunana pa je za vsako stojišče posebej.

Pri zenithnih razdaljah pa so ocene natančnosti izračunane s programom *Leica Geosystems Liscad* korektne, saj so zenithne razdalje med sabo neodvisne.

#### 5.3.3.1 Ocena natančnosti kotnih opazovanj s programom *Leica Geosystems Liscad*

Poleg izračuna sredin horizontalnih smeri, zenithnih razdalj in poševno merjenih dolžin, nam program izračuna tudi oceno natančnosti posameznih količin. Izračuna jo za vsako reducirano smer posebej.

### 5.3.3.1.1 Ocena natančnosti za horizontalne smeri

Oceno natančnosti za horizontalne smeri izračunamo po enačbi (Turk, 2007):

$$\sigma_a^2 = \frac{1}{n-1} \cdot \sum_{i=1}^n (a_i - \bar{a})^2 \quad (5)$$

$$\sigma_a = \sqrt{\sigma_a^2} \quad (6)$$

kjer so:

$\sigma_a$  ... standardna deviacija reducirane smeri proti točki

$\sigma_a^2$  ... varianca reducirane smeri proti točki

$a_i$  ... vrednost reducirane smeri proti točki

$\bar{a}$  ... vrednost aritmetične sredine reducirane smeri proti točki iz  $n$  girusov

$n$  ... število girusov

### 5.3.3.1.2 Ocena natančnosti za zenithne razdalje

Oceno natančnosti za zenithne razdalje izračunamo po enačbi:

$$\sigma_z^2 = \frac{1}{n-1} \cdot \sum_{i=1}^n (z_i - \bar{z})^2 \quad (7)$$

$$\sigma_z = \sqrt{\sigma_z^2} \quad (8)$$

kjer so:

$\sigma_z$  ... standardna deviacija zenithne razdalje proti točki

$\sigma_z^2$  ... varianca zenithne razdalje proti točki

$z_i$  ... vrednost zenithne razdalje proti točki

$\bar{z}$  ... vrednost aritmetične sredine zenithne razdalje proti točki

$n$  .... število ponovitev

### 5.3.3.2 Ocena natančnosti horizontalnih smeri po girusni metodi

Pri oceni natančnosti horizontalnih smeri po girusni metodi se natančnosti računajo iz izračunanih sredin iz dveh krožnih leg, medtem ko program *Leica Geosystems Liscad* računa natančnosti iz reduciranih smeri, tu pa ni zajet pogrešek začetne smeri.

Postopek izračuna ocene natančnosti je naslednji:

$$\sigma_a = \sqrt{\frac{[vv]}{N-u}} \quad (9)$$

kjer so:

- $\sigma_a$  ... natančnost smeri v enem girusu  
 $v$  ... najverjetnejši popravek opazovane smeri  
 $N$  ... število vseh smeri  
 $u$  ... število minimalno potrebnih smeri

Sedaj lahko izračunamo:

$$\sigma_{\bar{a}} = \frac{\sigma_a}{\sqrt{n}} \quad (10)$$

kjer je:

- $\sigma_{\bar{a}}$  ... natančnost smeri v  $n$  girusih

Določitev vsote kvadratov popravkov  $[vv]$  je problematična, saj je ne moremo določiti direktno, ker (Kogoj, 2004/2005):

- med sabo primerjamo reducirane smeri;
- reducirane smeri poleg pogreška smeri vsebujejo tudi pogrešek začetne smeri, ki se prenese na vse druge smeri.

Tvorimo razlike posameznih smeri od aritmetične sredine:

$$\Delta a_{ij} = \bar{a}_i - a_{ij} \quad (11)$$

kjer sta:

$a_{ij}$  ... reducirana  $i$ -ta smer v  $j$ -tem girusu

$\bar{a}_i$  ... aritmetična sredina za  $i$ -to smer, ki jo izračunamo po enačbi:

$$\bar{a}_i = \frac{\lfloor a_j \rfloor}{n} \quad (12)$$

kjer sta:

$i=1, \dots, s$ ;  $s$  ... število smeri

$j=1, \dots, n$ ;  $n$  ... število girusov

Sedaj izračunamo pogrešek začetne smeri za vsak posamezni girus:

$$\varepsilon_j = \frac{[\Delta a_i]_j}{s} \quad (13)$$

Pogrešek začetne smeri odštejemo od razlik posameznih smeri:

$$v_{ij} = \Delta a_{ij} - \varepsilon_j \quad (14)$$

Na ta način je eliminiran pogrešek začetne smeri.

Sedaj tvorimo  $[vv]_j$  za posamezen girus:

$$v_{ij}^2 = \Delta a_{ij}^2 - 2\Delta a_{ij} \cdot \varepsilon_j + \varepsilon_j^2 \quad (15)$$

in sestavimo  $N$  enačb za  $n$  girusov.

Seštejemo po vseh smereh in dobimo:

$$[vv]_j = [\Delta a^2]_j - \frac{1}{s} [\Delta a]^2_j \quad (16)$$

Nato seštejemo še po vseh girusih:

$$[vv]_j = \sum_{j=1}^n [\Delta a^2]_j - \frac{1}{s} \sum_{j=1}^n [\Delta a]^2_j \quad (17)$$

Število nadštevilnosti  $N - u$  izračunamo po enačbi:

$$N - u = (n - 1)(s - 1) \quad (18)$$

kjer je:

$$N = s \cdot n \quad \dots \quad \text{št. vseh meritev} \quad (19)$$

$$u = (s - 1) + n \quad \dots \quad \text{št. neodvisnih meritev} \quad (20)$$

Ko imamo izračunane vsote popravkov opazovanih smeri in število nadštevilnosti, lahko izračunamo standardno deviacijo opazovane smeri v enem girusu, po enačbi (Kogoj, 2004/2005):

$$\sigma_a = \sqrt{\frac{[vv]}{N-u}} = \sqrt{\frac{\sum_{j=1}^n [\Delta a^2]_j - \frac{1}{s} \sum_{j=1}^n [\Delta a]^2_j}{(n-1)(s-1)}} \quad (21)$$

Standardna deviacija opazovane smeri v  $n$  girusih je

$$\sigma_{\bar{a}} = \frac{\sigma_a}{\sqrt{n}} \quad (22)$$

Standardna deviacija reducirane smeri pa je:

$$\sigma_{aRED} = \sigma_a \cdot \sqrt{2} \quad (23)$$

### 5.3.4 Obdelava dolžinskih opazovanj

Dolžina, ki jo instrument izmeri, je poševna dolžina in je zaradi določenih atmosferskih pogojev ukrivljena. Pred izravnavo je dolžine potrebo reducirati na izbrano referenčno ploskev preko treh vrst redukcij, za potrebe izračuna ocene natančnosti izmerjenih dolžin pa upoštevamo poševno merjene dolžine. Redukcije dolžin bodo predstavljene v poglavju 6 *Izravnava in rezultati izravnave*.

### 5.3.5 Ocena natančnosti dolžinskih opazovanj

Tako kot natančnosti kotnih opazovanj, so bile tudi natančnosti dolžinskih opazovanj izračunane s programom *Leica Geosystems Liscad*. Izračun standardnih deviacij je sledeč (Drobne, Turk, 2002):

$$\sigma_D = \sqrt{\sigma_D^2} \quad (24)$$

in

$$\sigma_D^2 = \frac{1}{n-1} \cdot \sum_{i=1}^n (D_i - \bar{D})^2 \quad (25)$$

kjer so:

$\sigma_D$  ... standardna deviacija dolžine

$\sigma_D^2$  ... varianca dolžine

$D_i$  ... vrednost dolžine

$\bar{D}$  ... vrednost aritmetične sredine dolžin

$n$  ... število meritev dolžin

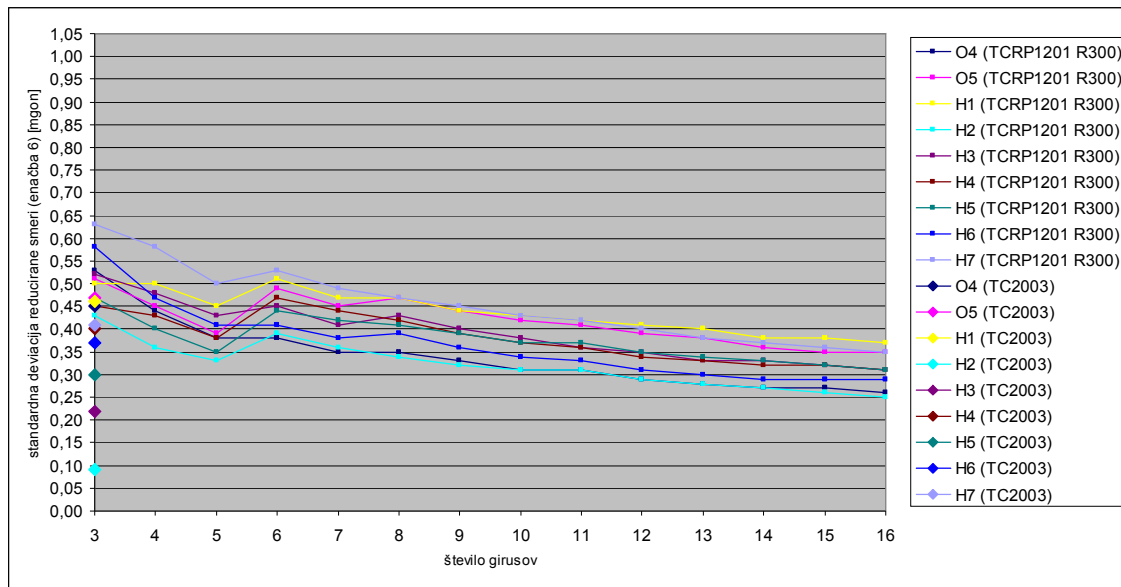
## 5.4 Primerjava in vrednotenje rezultatov predhodne obdelave podatkov

### 5.4.1 Primerjava natančnosti opazovanih količin, izračunanih s programom

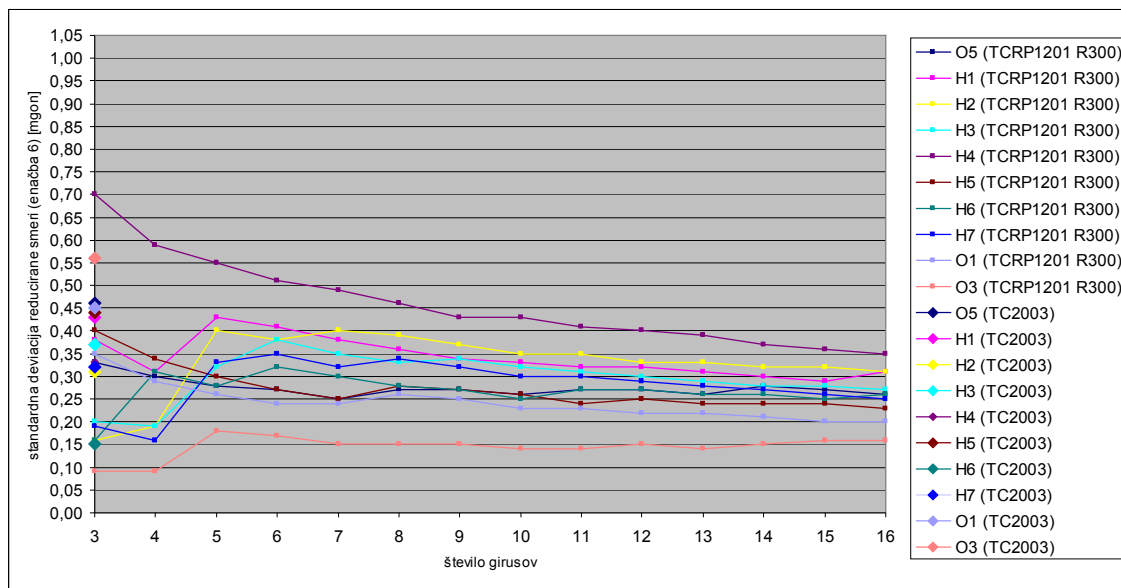
*Leica Geosystems Liscad*

#### 5.4.1.1 Primerjava natančnosti horizontalnih smeri

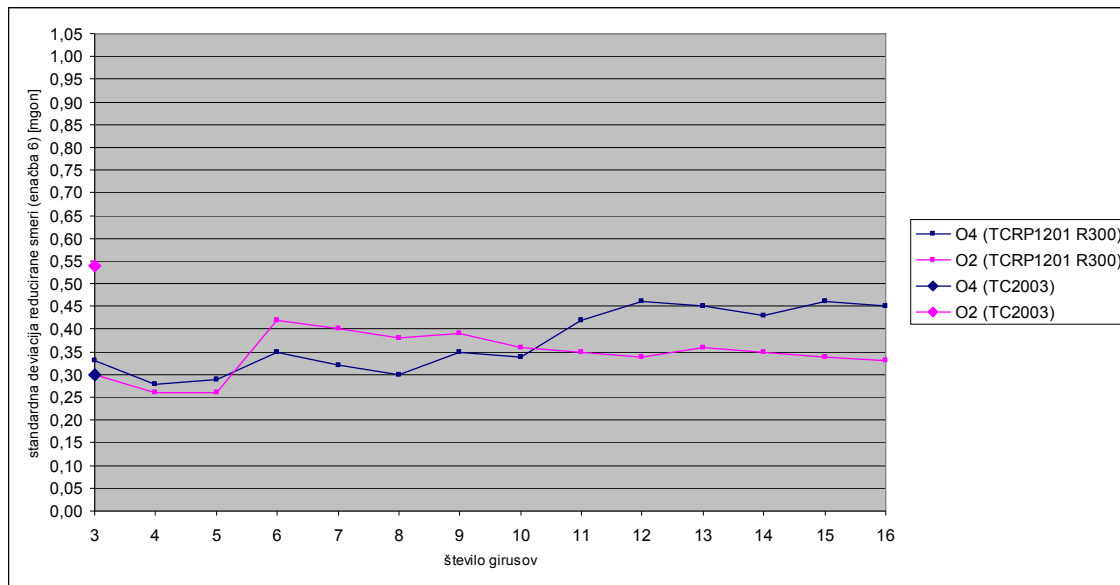
Program *Leica Geosystems Liscad* izračuna natančnosti iz sredin smeri merjenih horizontalnih smeri (enačba 6). Na tak način izračunana natančnost se izračuna za vse smeri na stojišču, razen za smer proti začetni točki, ker so vse smeri reducirane na ničelno smer. Pri izračunu pa ne upošteva pogreška začetne smeri, zato smo poleg teh natančnosti izračunali tudi natančnosti merjenih horizontalnih kotov po girusni metodi (enačba 21) – glej tudi poglavje 5.3.2.



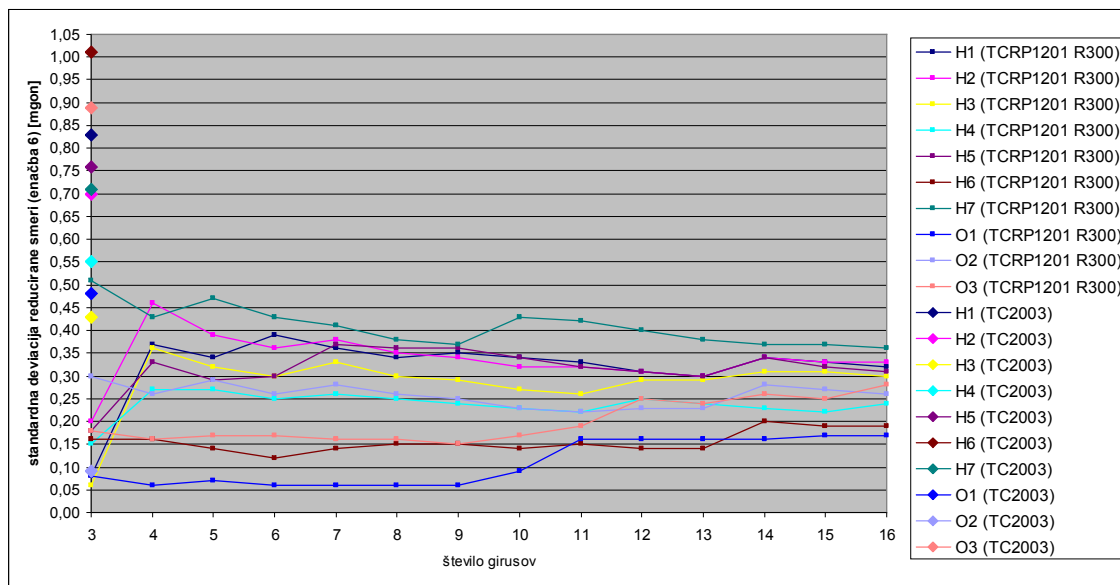
Grafikon 1: Primerjava natančnosti reduciranih horizontalnih smeri na stojišču O1 z instrumentom Leica Geosystems TCRP1201 R300 v 3-16 girusih in z instrumentom Leica Geosystems TC2003 v 3 girusih, izračunanih s programom Leica Geosystems Liscad



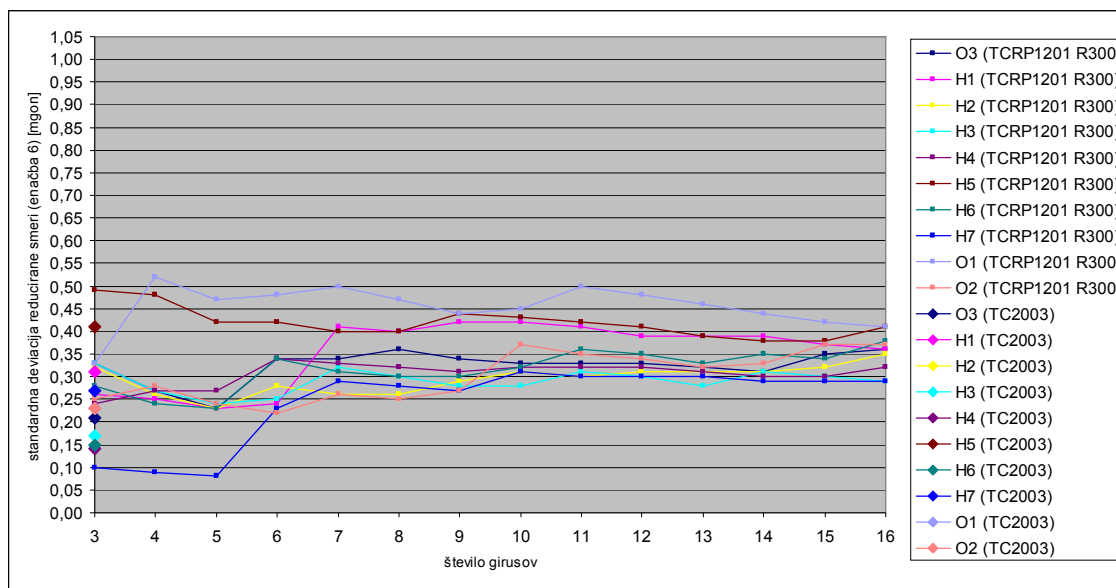
Grafikon 2: Primerjava natančnosti reduciranih horizontalnih smeri na stojišču O2 z instrumentom Leica Geosystems TCRP1201 R300 v 3-16 girusih in z instrumentom Leica Geosystems TC2003 v 3 girusih, izračunanih s programom Leica Geosystems Liscad



Grafikon 3: Primerjava natančnosti reduciranih horizontalnih smeri na stojišču O3 z instrumentom Leica Geosystems TCRP1201 R300 v 3-16 girusih in z instrumentom Leica Geosystems TC2003 v 3 girusih, izračunanih s programom Leica Geosystems Liscad



Grafikon 4: Primerjava natančnosti reduciranih horizontalnih smeri na stojišču O4 z instrumentom Leica Geosystems TCRP1201 R300 v 3-16 girusih in z instrumentom Leica Geosystems TC2003 v 3 girusih, izračunanih s programom Leica Geosystems Liscad



Grafikon 5: Primerjava natančnosti reduciranih horizontalnih smeri na stojišču O5 z instrumentom Leica Geosystems TCRP1201 R300 v 3-16 girusih in z instrumentom Leica Geosystems TC2003 v 3 girusih, izračunanih s programom Leica Geosystems Liscad

#### Vrednotenje rezultatov:

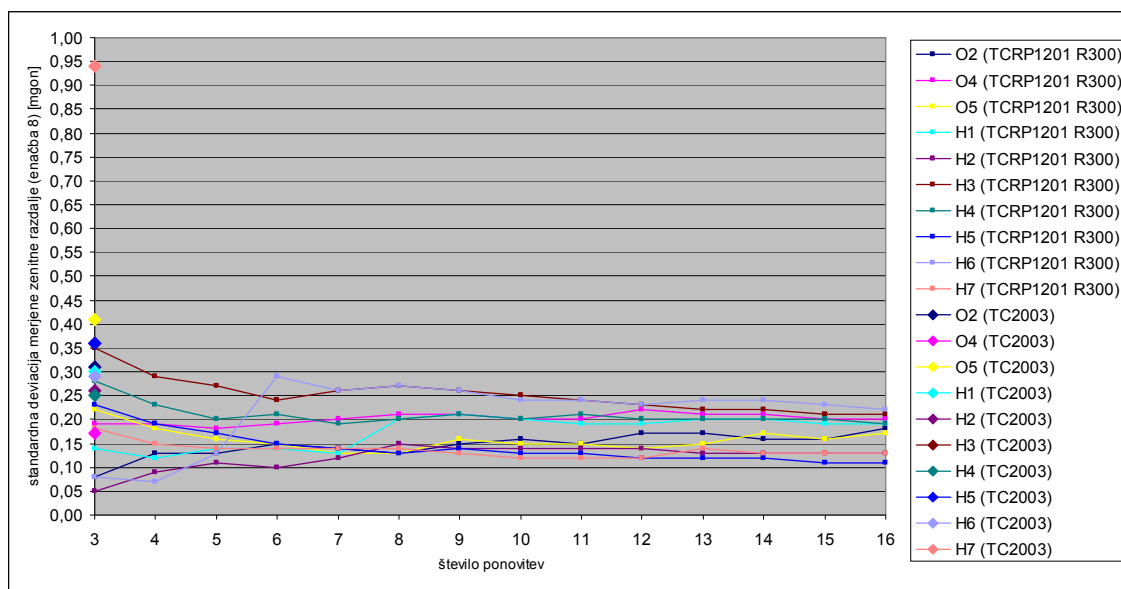
Iz grafikonov lahko vidimo, da so natančnosti opazovanih horizontalnih smeri dokaj nehomogene. Če primerjamo meritve obeh instrumentov, vidimo, da na stojišču O1 in O2 dosežemo večje natančnosti z instrumentom Leica Geosystems TC2003 na stojiščih O3, O4 in O5 pa dosežemo večje natančnosti z instrumentom Leica Geosystems TCRP1201 R300.

V splošnem smo pričakovali, da se bodo natančnosti opazovanih smeri (tudi zenitnih razdalj in dolžin) pri instrumentu Leica Geosystems TCRP1201 R300 z naraščanjem števila girusov povečevale. Kot lahko vidimo iz grafikonov, se natančnosti na vsakem stojišču različno spreminjajo z naraščanjem števila girusov. Še najbolj se natančnosti povečujejo na stojišču O1, čeprav lahko vidimo, da se pri 6-ih girusih natančnosti pri večini smereh zmanjšajo in nato zopet povečujejo. Na ostalih stojiščih pa je v večini primerov opaziti povečevanje natančnosti z naraščanjem števila girusov, vendar pa v dosti primerih pride do večjih

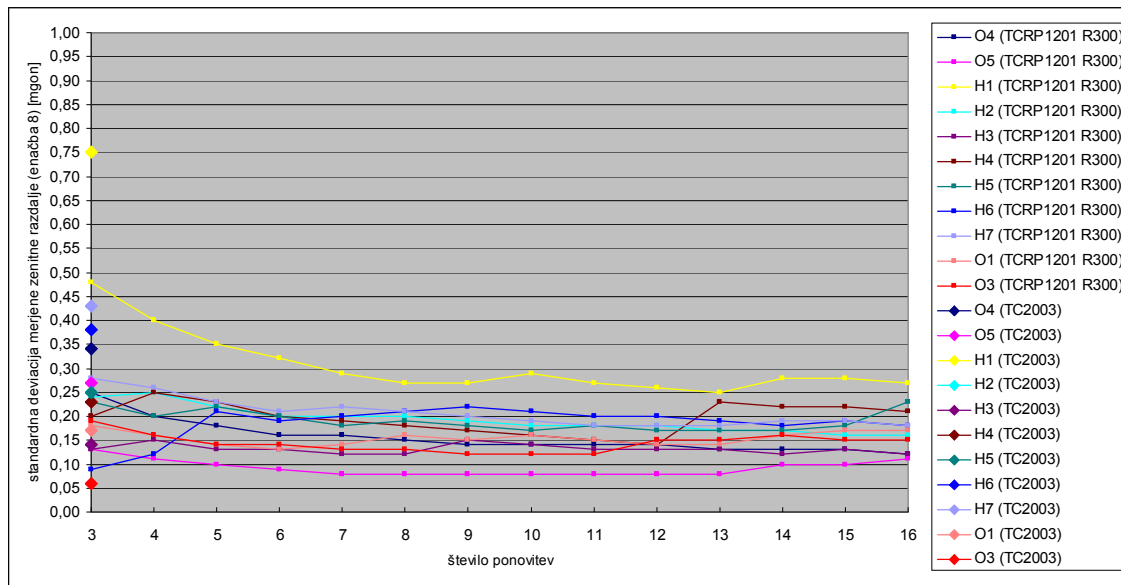
preskokov v vrednostih natančnosti. Zakaj pride do takih nenadnih sprememb, bomo poskušali ugotoviti s podrobnejšo analizo opazovanj, ki jo opisujemo v poglavju 5.5.1.

#### 5.4.1.2 Primerjava natančnosti zenithnih razdalj

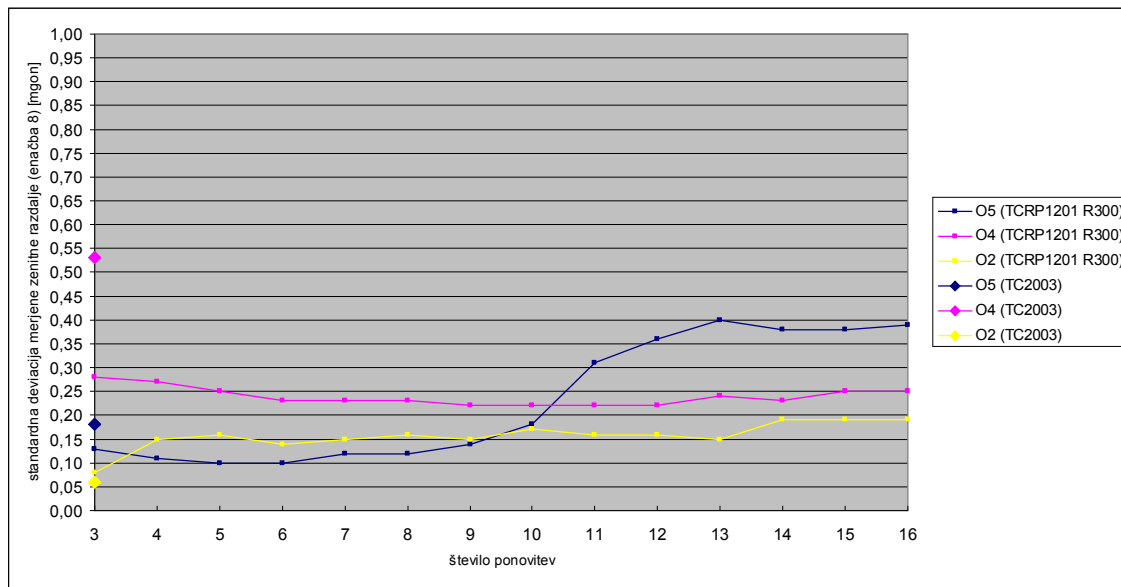
Program *Leica Geosystems Liscad* izračuna natančnosti merjenih zenithnih razdalj po enačbi 7 oziroma 8 . V Grafikonih od 6 do 10 prikazujemo standardne deviacije merjenih zenithnih razdalj v odvisnosti od števila ponovitev.



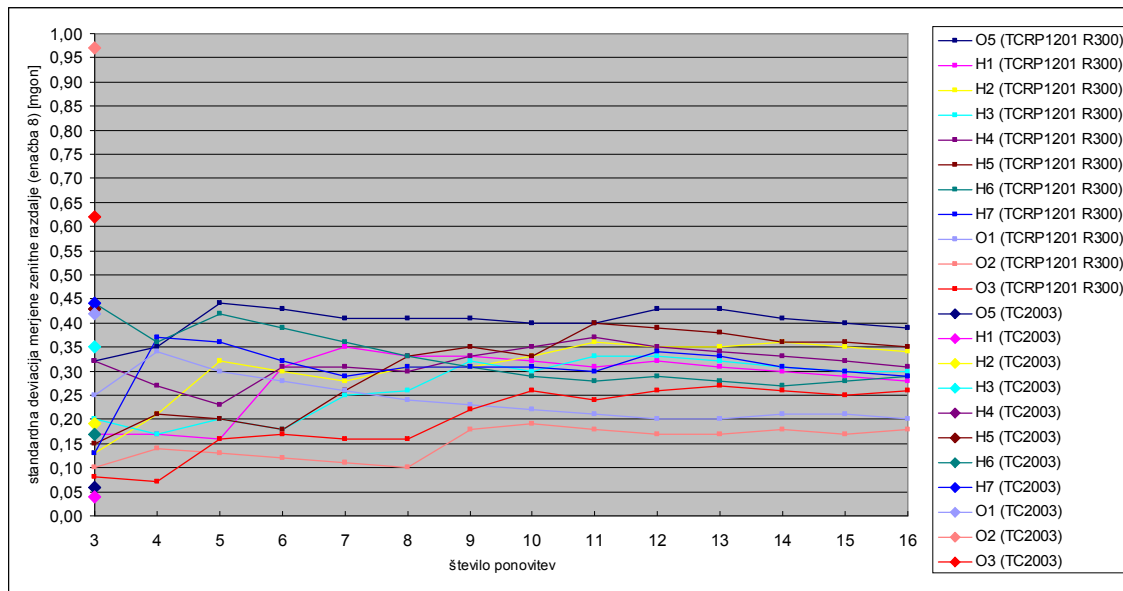
Grafikon 6: Primerjava natančnosti merjenih zenithnih razdalj na stojišču O1 z instrumentom Leica Geosystems TCRP1201 R300 v 3-16 ponovitvah in z instrumentom Leica Geosystems TC2003 v 3 ponovitvah



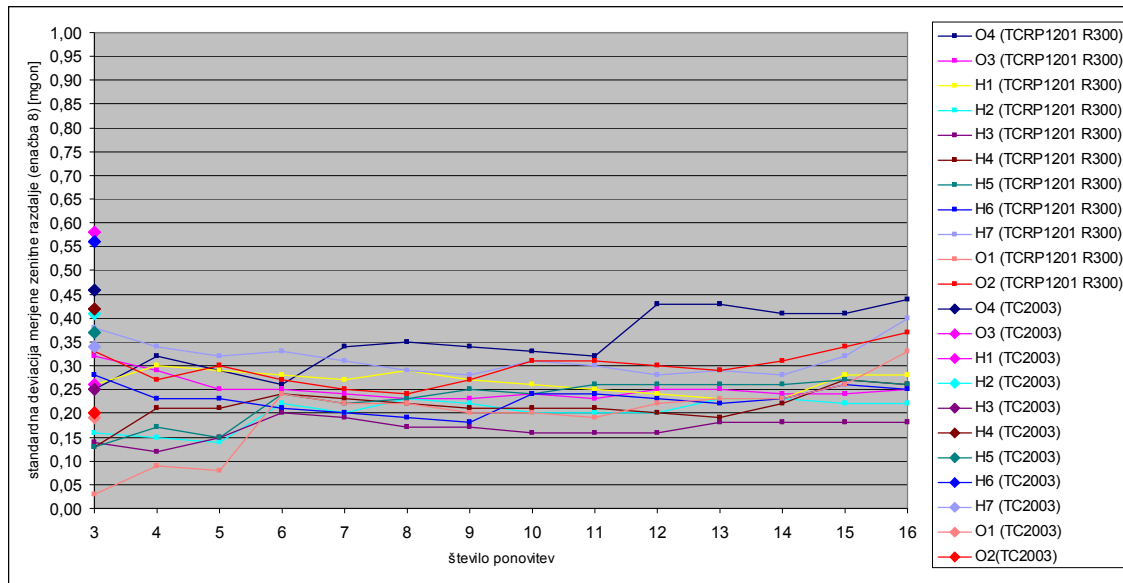
Grafikon 7: Primerjava natančnosti merjenih zenithnih razdalj na stojišču O2 z instrumentom Leica Geosystems TCRP1201 R300 v 3-16 ponovitvah in z instrumentom Leica Geosystems TC2003 v 3 ponovitvah



Grafikon 8: Primerjava natančnosti merjenih zenithnih razdalj na stojišču O3 z instrumentom Leica Geosystems TCRP1201 R300 v 3-16 ponovitvah in z instrumentom Leica Geosystems TC2003 v 3 ponovitvah



Grafikon 9: Primerjava natančnosti merjenih zenithnih razdalj na stojišču O4 z instrumentom Leica Geosystems TCRP1201 R300 v 3-16 ponovitvah in z instrumentom Leica Geosystems TC2003 v 3 ponovitvah



Grafikon 10: Primerjava natančnosti merjenih zenithnih razdalj na stojišču O5 z instrumentom Leica Geosystems TCRP1201 R300 v 3-16 ponovitvah in z instrumentom Leica Geosystems TC2003 v 3 ponovitvah

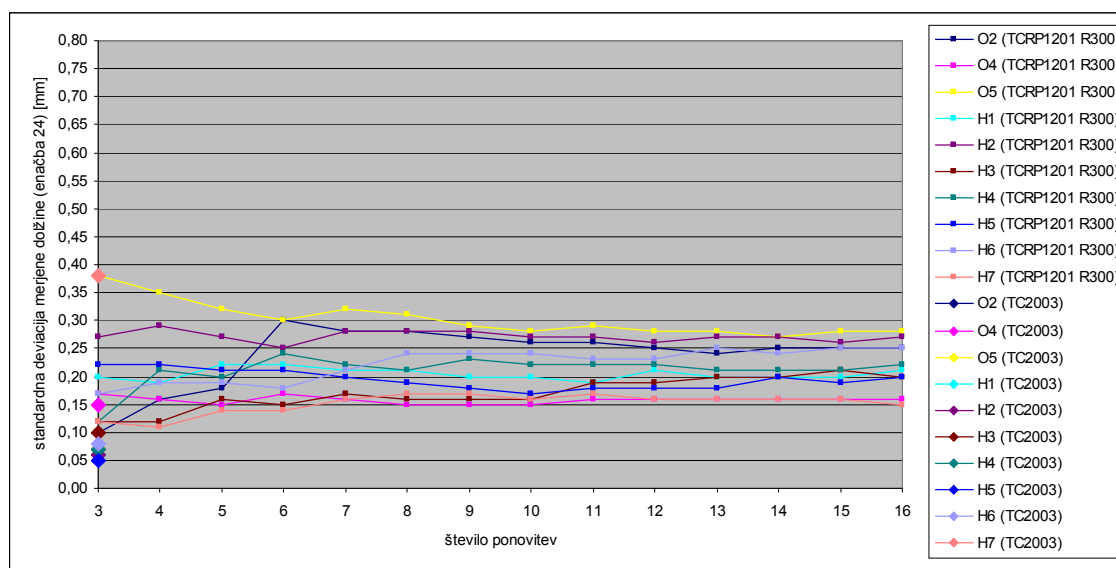
### **Vrednotenje rezultatov:**

Z instrumentom *Leica Geosystems TCRP1201 R300* dosežemo večje natančnosti merjenih zenithnih razdalj na stojiščih O2, O3 in O5, na stojiščih O1 in O4 pa so natančnosti podobne za oba instrumenta.

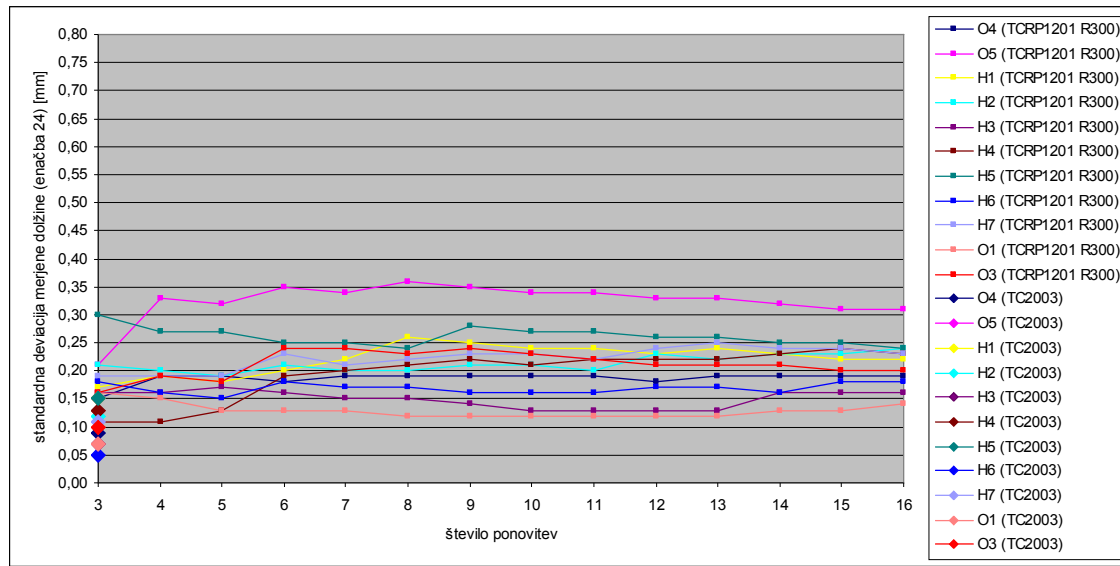
Tudi pri natančnostih merjenih zenithnih razdalj z instrumentom *Leica Geosystems TCRP1201 R300* je opaziti nenasledne spremembe vrednosti natančnosti pri večanju števila ponovitev. Vzrok bomo poskušali najti s podrobnejšo analizo merjenih zenithnih razdalj, opisano v poglavju 5.5.2. Natančnosti zenithnih razdalj se s povečevanjem števila ponovitev bistveno ne povečajo.

#### **5.4.1.3 Primerjava natančnosti dolžin**

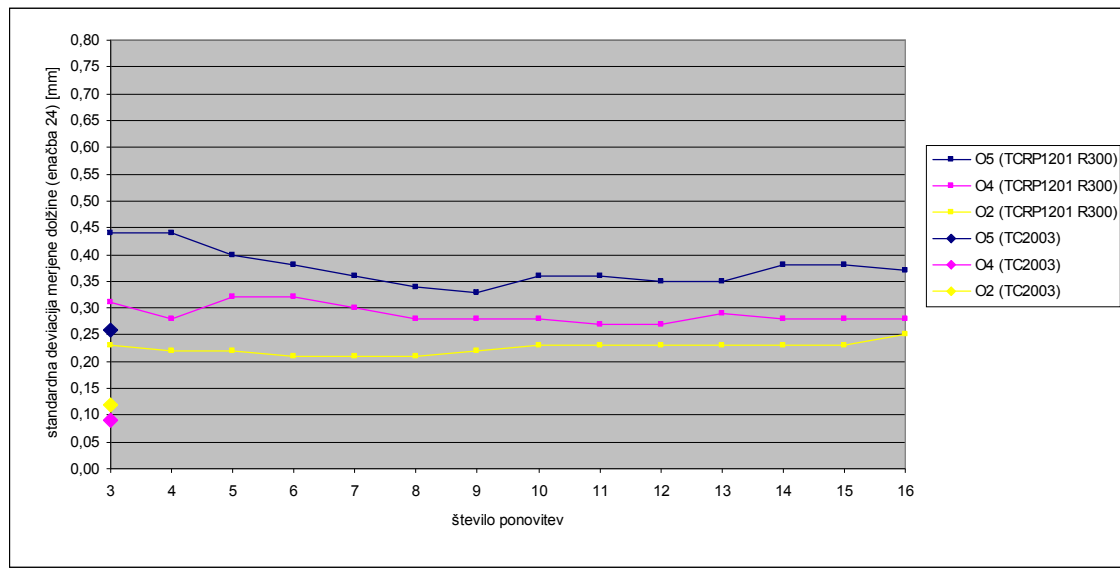
Program *Leica Geosystems Liscad* izračuna natančnosti merjenih dolžin po enačbi 24 oziroma 25, ki jih prikazujemo v Grafikonih od 11 do 15.



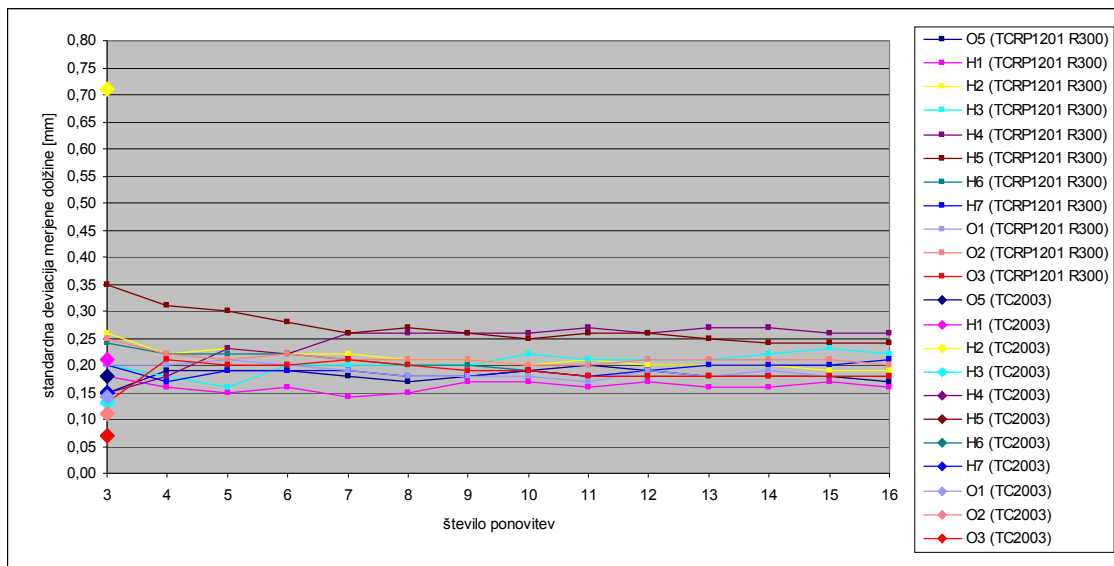
*Grafikon 11: Primerjava natančnosti merjenih dolžin na stojišču O1 z instrumentom Leica Geosystems TCRP1201 R300 v 3-16 ponovitvah in z instrumentom Leica Geosystems TC2003 v 3 ponovitvah*



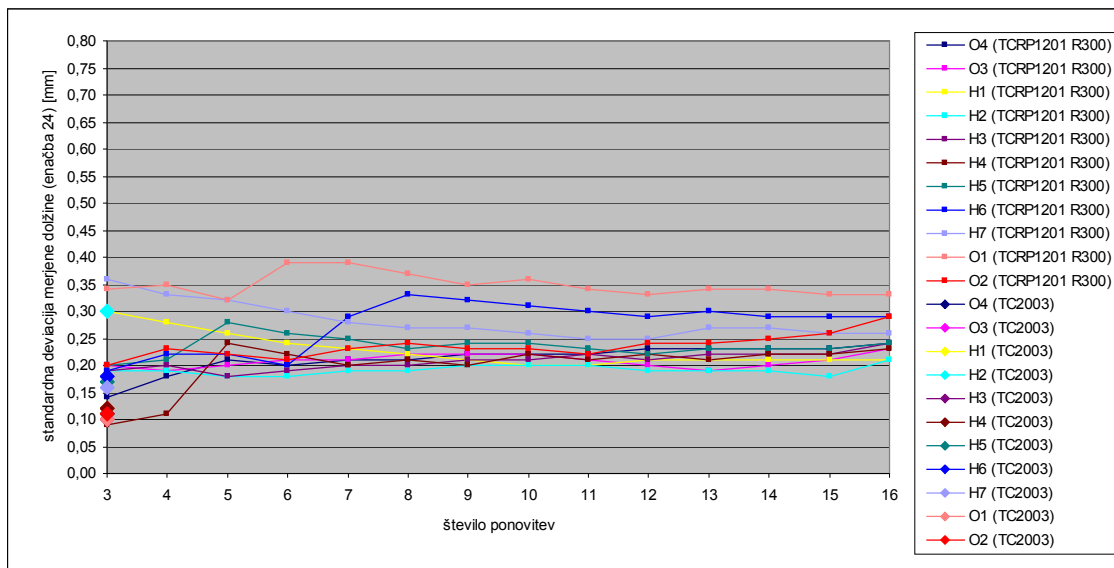
Grafikon 12: Primerjava natančnosti merjenih dolžin na stojišču O2 z instrumentom Leica Geosystems TCRP1201 R300 v 3-16 ponovitvah in z instrumentom Leica Geosystems TC2003 v 3 ponovitvah



Grafikon 13: Primerjava natančnosti merjenih dolžin na stojišču O3 z instrumentom Leica Geosystems TCRP1201 R300 v 3-16 ponovitvah in z instrumentom Leica Geosystems TC2003 v 3 ponovitvah



Grafikon 14: Primerjava natančnosti merjenih dolžin na stojišču O4 z instrumentom Leica Geosystems TCRP1201 R300 v 3-16 ponovitvah in z instrumentom Leica Geosystems TC2003 v 3 ponovitvah



Grafikon 15: Primerjava natančnosti merjenih dolžin na stojišču O5 z instrumentom Leica Geosystems TCRP1201 R300 v 3-16 ponovitvah in z instrumentom Leica Geosystems TC2003 v 3 ponovitvah

### **Vrednotenje rezultatov:**

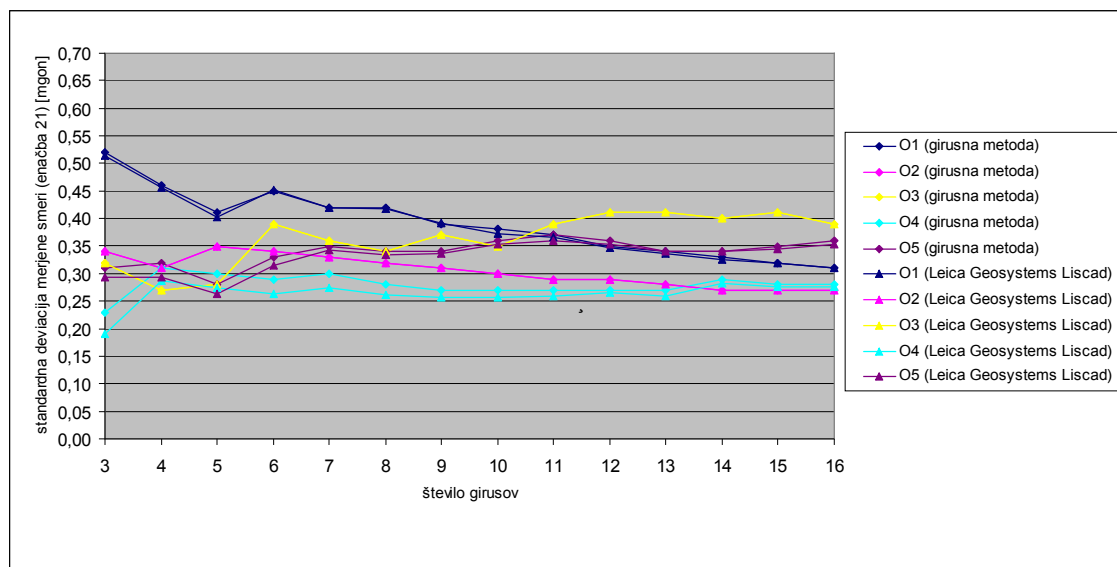
Na vseh stojiščih po pričakovanjih dosežemo večjo natančnost merjenih dolžin z instrumentom *Leica Geosystems TC2003*, saj ta instrument po podatkih proizvajalca omogoča večjo natančnosti meritev kot instrument *Leica Geosystems TCRP1201 R300*. Z večanjem števila ponovitev pri instrumentu *Leica Geosystems TCRP1201 R300* se natančnosti bistveno ne spreminja.

#### **5.4.2 Primerjava natančnosti merjenih horizontalnih smeri po girusni metodi**

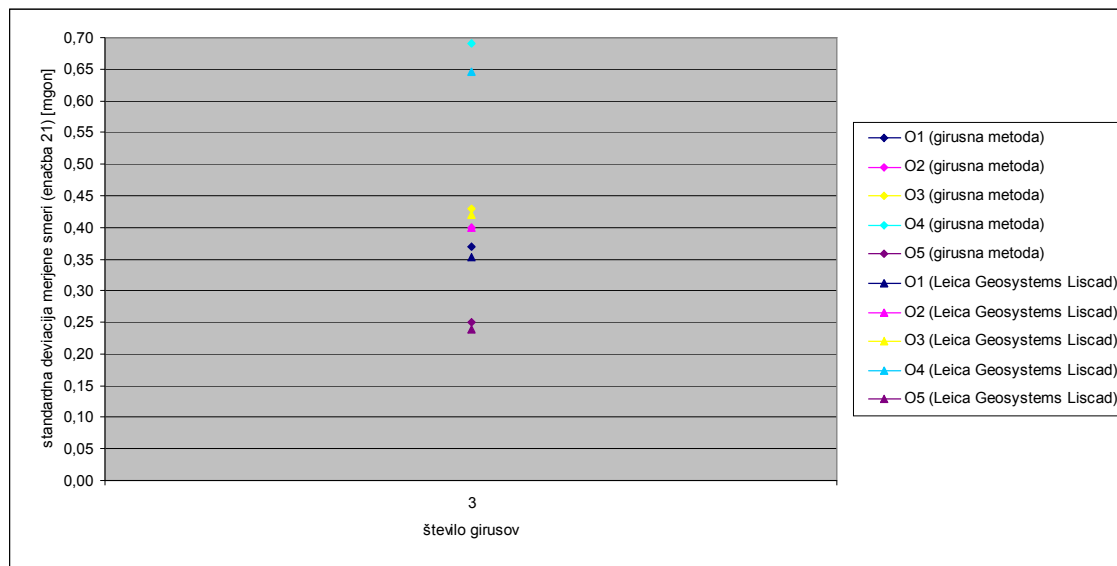
Program *Leica Geosystems Liscad* izračuna natančnost vsake opazovane smeri na določenem stojišču, vendar pa zaradi reducirane ničelne smeri ne upošteva pogreška začetne smeri. V tem primeru izračunamo oceno natančnosti po girusni metodi. S tem postopkom pridobimo natančnosti merjenih horizontalnih smeri za vse smeri na enem stojišču. Da lahko primerjamo natančnosti izračunane po girusni metodi, izračunamo natančnosti s programom *Leica Geosystems Liscad* za določeno stojišče z izračunom povprečne vrednosti vseh smeri na tem stojišču.

*Preglednica 6: Primerjava natančnosti izračunanih s programom Leica Geosystems Liscad (v preglednici LGL) in po girusni metodi (v preglednici GM) v [mgon]*

| število<br>girusov | STOJIŠČE |      |      |      |      |      |      |      |      |      |      |
|--------------------|----------|------|------|------|------|------|------|------|------|------|------|
|                    | O1       |      | O2   |      | O3   |      | O4   |      | O5   |      |      |
|                    | GM       | LGL  | GM   | LGL  | GM   | LGL  | GM   | LGL  | GM   | LGL  |      |
| TCRP1201 R300      | 3        | 0,52 | 0,51 | 0,34 | 0,30 | 0,32 | 0,32 | 0,23 | 0,19 | 0,31 | 0,29 |
|                    | 4        | 0,46 | 0,46 | 0,31 | 0,28 | 0,27 | 0,27 | 0,31 | 0,29 | 0,32 | 0,29 |
|                    | 5        | 0,41 | 0,40 | 0,35 | 0,33 | 0,28 | 0,28 | 0,30 | 0,28 | 0,28 | 0,26 |
|                    | 6        | 0,45 | 0,45 | 0,34 | 0,33 | 0,39 | 0,39 | 0,29 | 0,26 | 0,33 | 0,31 |
|                    | 7        | 0,42 | 0,42 | 0,33 | 0,31 | 0,36 | 0,36 | 0,30 | 0,28 | 0,35 | 0,34 |
|                    | 8        | 0,42 | 0,42 | 0,32 | 0,31 | 0,34 | 0,34 | 0,28 | 0,26 | 0,34 | 0,33 |
|                    | 9        | 0,39 | 0,39 | 0,31 | 0,30 | 0,37 | 0,37 | 0,27 | 0,26 | 0,34 | 0,34 |
|                    | 10       | 0,38 | 0,37 | 0,30 | 0,29 | 0,35 | 0,35 | 0,27 | 0,26 | 0,36 | 0,35 |
|                    | 11       | 0,37 | 0,37 | 0,29 | 0,28 | 0,39 | 0,39 | 0,27 | 0,26 | 0,37 | 0,36 |
|                    | 12       | 0,35 | 0,35 | 0,29 | 0,28 | 0,41 | 0,40 | 0,27 | 0,27 | 0,36 | 0,35 |
|                    | 13       | 0,34 | 0,34 | 0,28 | 0,27 | 0,41 | 0,41 | 0,27 | 0,26 | 0,34 | 0,34 |
|                    | 14       | 0,33 | 0,32 | 0,27 | 0,27 | 0,40 | 0,39 | 0,29 | 0,28 | 0,34 | 0,34 |
|                    | 15       | 0,32 | 0,32 | 0,27 | 0,26 | 0,41 | 0,40 | 0,28 | 0,28 | 0,35 | 0,34 |
|                    | 16       | 0,31 | 0,31 | 0,27 | 0,26 | 0,39 | 0,39 | 0,28 | 0,28 | 0,36 | 0,35 |
| TC2003             | 3        | 0,37 | 0,35 | 0,40 | 0,38 | 0,43 | 0,42 | 0,69 | 0,65 | 0,25 | 0,24 |



Grafikon 16: Primerjava natančnosti horizontalnih smeri merjenih z instrumentom Leica Geosystems TCRP1201 R300



Grafikon 17: Primerjava natančnosti horizontalnih smeri merjenih z instrumentom Leica Geosystems TC2003

### **Vrednotenje rezultatov:**

Glede na uporabljeni instrumenta, pri enakih pogojih meritev, smo pričakovali, da bomo dobili večje natančnosti merjenih horizontalnih smeri z instrumentom *Leica Geosystems TC2003*, vendar pa kot je razvidno iz Preglednice 6 in Grafikonov 16 in 17, dobimo v povprečju večje natančnosti z instrumentom *Leica Geosystems TCRP1201*.

Natančnosti izračunane po girusnih metodi in natančnosti, kot nam jih izračuna program *Leica Geosystems Liscad*, so zelo primerljive. Največja razlika med določenima vrednostima natančnosti znaša  $0,4^{\circ}$ . Pričakovali smo, da bomo dobil boljše rezultate po girusni metodi, ter da se bodo natančnosti pri instrumentu *Leica Geosystems TCRP1201 R300* povečevale z večanjem števila girusov, vendar lahko vidimo, da ni tako. Predvsem na stojišču O3 se le-te z večanjem števila girusov manjšajo. Vendar pa je potrebno omeniti, da so bile s tega stojišča opazovane samo tri referenčne točke in tako tri horizontalne smeri. Zaključimo lahko, da so natančnosti, ki nam jih izračuna program *Leica Geosystems Liscad*, korektne.

## ***5.5 Analiza izračunanih natančnosti***

Z analizo natančnosti opazovanj smo poskušali ugotoviti, zakaj pride do večjih razlik natančnosti merjenih horizontalnih smeri in zenithnih razdalj s povečevanjem števila girusov.

### **5.5.1 Analiza natančnosti horizontalnih smeri**

Ena izmed možnih cenilk merjenih horizontalnih smeri je kolimacijski pogrešek. Merjene horizontalne smeri so obremenjene s kolimacijskim pogreškom, ki nastane kot posledica nepravokotnosti osi  $y$  in  $x$  instrumenta. Lastnosti kolimacijskega pogreška so:

- pogrešek je enak za pozitivne in negativne vertikalne kote,
- pogrešek je najmanjši pri horizontalni vizuri,

- pogrešek narašča z naraščanjem vertikalnega kota,
- pogrešek eliminiramo z merjenjem v obeh krožnih legah.

Kolimacijski pogrešek  $c$  izračunamo kot:

$$2c = a_{II} - a_I \pm 200 \text{ gon} \quad (26)$$

kjer so:

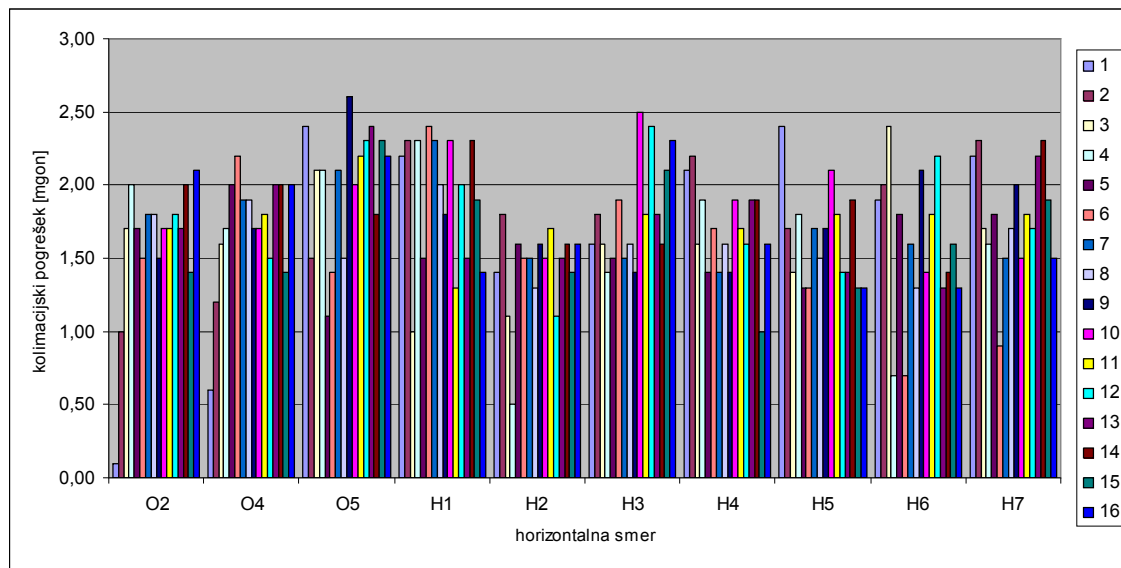
$a_{II}$  ... horizontalna smer izmerjena v drugi krožni legi [v gon]

$a_I$  ... horizontalna smer izmerjena v prvi krožni legi [v gon]

Analizo smo opravili za meritve, pri katerih je prišlo do večje spremembe natančnosti določene smeri pri dodanem girusu. Za vsa opazovanja smo izračunali kolimacijske pogreške in smo nato za določeno stojišče za izbrano število girusov izračunali standardne deviacije kolimacijskih pogreškov. Na ta način smo poskušali ugotoviti ali se pri dodajanju girusov natančnost določene smeri zmanjša zaradi morebitnega prevelikega kolimacijskega pogreška.

### **Rezultati:**

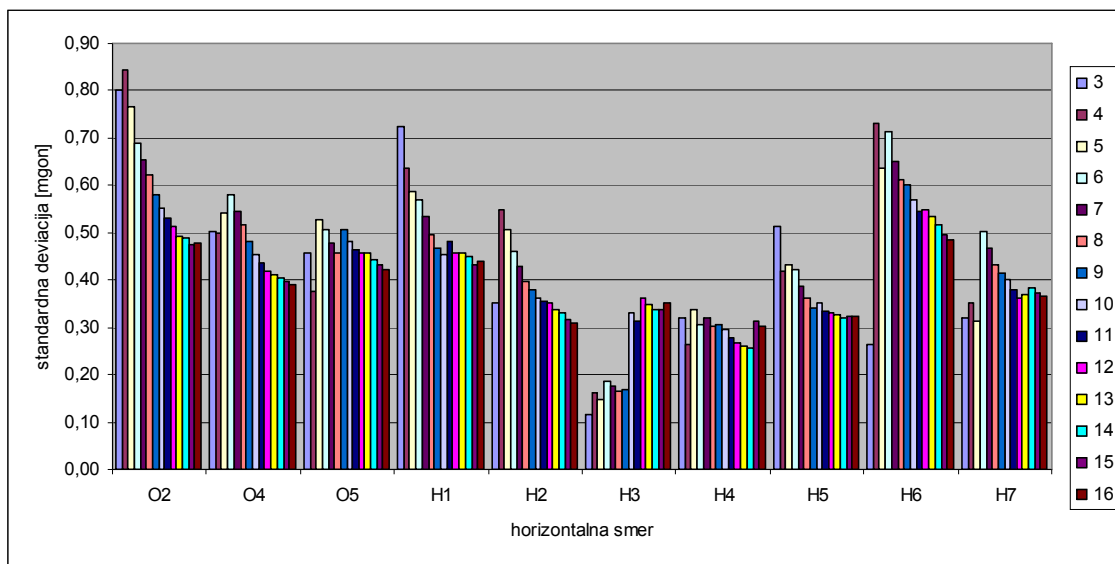
Iz Grafikona 1 je razvidno, da se z naraščanjem števila girusov natančnost horizontalnih smeri veča, pri šestih girusih se zmanjša, nato pa se do šestnajstih girusov ponovno veča. Primer analize z dvojnim kolimacijskim pogreškom (izračunanim po enačbi 26) prikazujemo v Grafikonu 18.



Grafikon 18: Kolimacijski pogrešek, izračunan za stojišče O1

Na podlagi izračunanega kolimacijskega pogreška ne moremo sklepati o »pogrešenih« smereh v šestem girusu. Če bi bila v šestem girusu katerakoli smer »pogrešena«, bi kolimacijski pogrešek v tem girusu dosegel maksimum. Kot pa lahko vidimo iz Grafikona 18, se kolimacijski pogrešek z naraščanjem števila girusov spreminja nehomogeno in ne podaja nikakršnih informacij o morebitnih »pogrešenih« smereh v tem girusu.

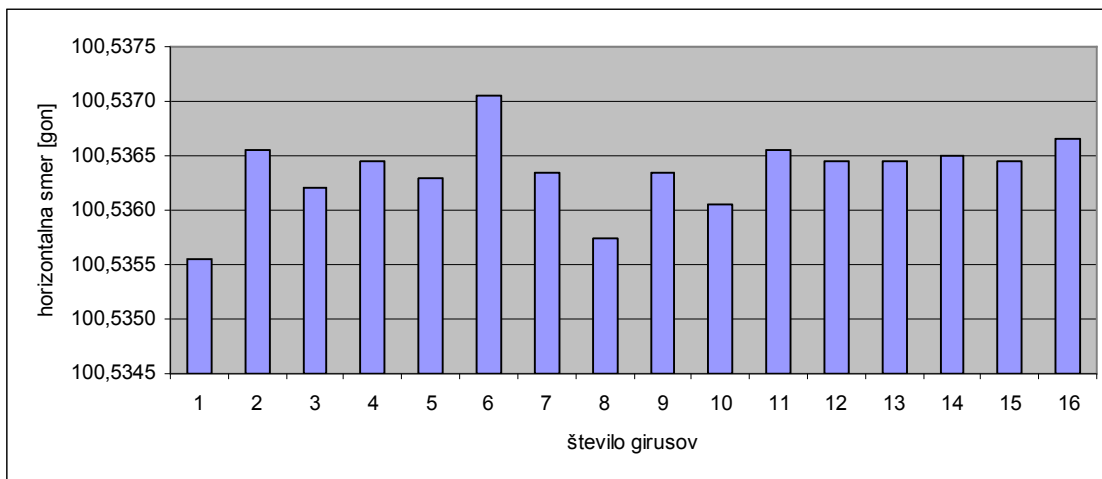
Ker nam kolimacijski pogreški niso podali rezultatov o morebitni prisotnosti »pogrešenih« horizontalni smeri, smo dodatno izračunali standardne deviacije kolimacijskih pogreškov. Te so prikazane v Grafikonu 19.



Grafikon 19: Standardne deviacije kolimacijskih pogreškov za stojišče O1

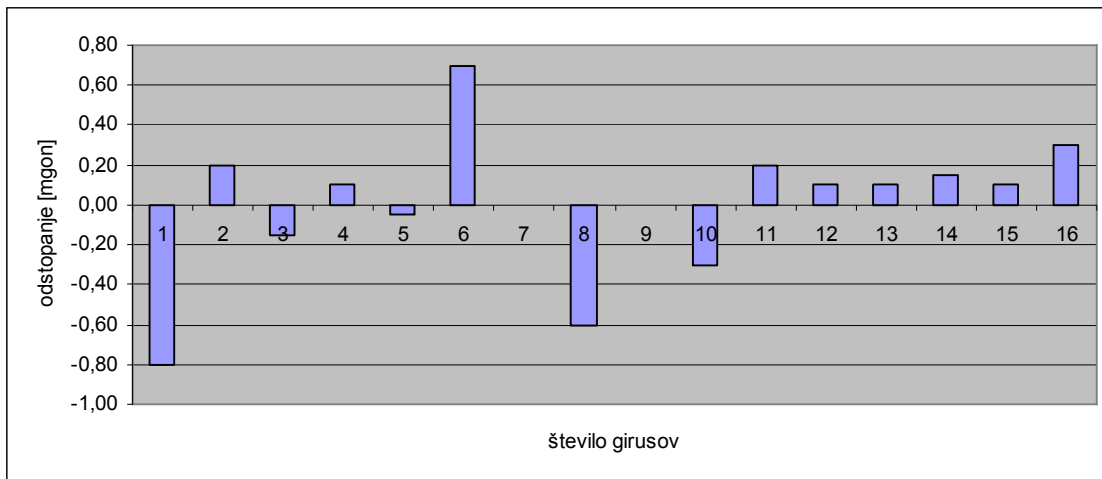
Tudi na podlagi standardnih deviacij kolimacijskih pogreškov ne moremo sklepati o prisotnosti »pogrešenih« horizontalnih smereh pri šestih girusih. Vidimo pa lahko, da se standardna deviacija z večanjem števila girusov v večini primerov enakomerno zmanjšuje. Na podlagi tega lahko sklepamo, da dobimo z večanjem števila girusov na stojišču O1 večje natančnosti horizontalne smeri (kar je razvidno tudi iz Grafikona 1).

Ker z izračunom kolimacijskih pogreškov in njim pripadajočim natančnostim nismo dobili rezultatov, ki bi kazali vzrok v zmanjšani natančnosti merjenih horizontalnih smeri, smo se lotili analize samih meritev. Tu smo iskali vzrok za vsako posamezno smer na določenem stojišču. Analizirali smo podatke meritev za 16 girusov in ugotavljali, kako se srednje vrednosti horizontalnih smeri spremenijo z večanjem števila girusov.



Grafikon 20: Srednje vrednosti horizontalne smeri iz stojišča O1 proti točki O5 v odvisnosti števila girusov

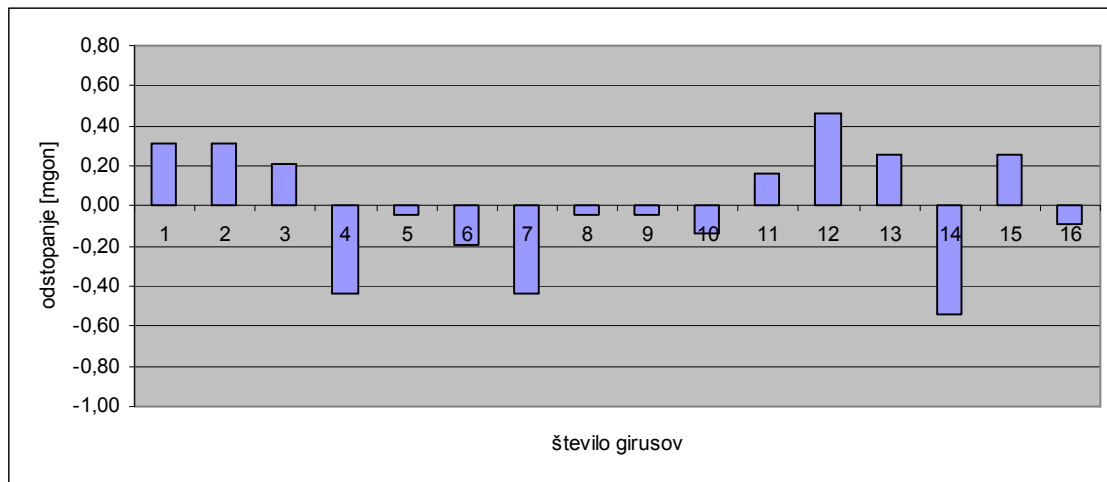
Iz Grafikona 20 lahko vidimo, da se srednja vrednost horizontalne smeri proti točki O5 v šestem girusu nekoliko razlikuje glede na srednjo vrednost horizontalne smeri v ostalih girusih. Zato smo dodatno izračunali odstopanja srednje vrednosti horizontalnih smeri v določenem številu girusov od srednje vrednosti horizontalnih smeri v vseh girusih.



Grafikon 21: Odstopanja srednje vrednosti horizontalnih smeri na stojišču O1 proti točki O5

Iz Grafikona 21 pa lahko vidimo, da je vzrok v zmanjšanju natančnosti v sami vrednosti horizontalne smeri. Odstopanje srednje vrednosti horizontalne smeri iz stojišča O1 proti točki O5 je največje pri šestih girusih. Vidimo lahko, da je odstopanje dokaj veliko tudi pri osmih girusih. Če pogledamo Grafikon 1, lahko vidimo, da se tudi pri osmih girusih natančnost zmanjša. Torej lahko na osnovi odstopanj posamezne srednje vrednosti horizontalne smeri od skupne srednje vrednosti horizontalne smeri sklepamo o natančnosti merjenih horizontalnih smeri.

Prikaz odstopanj stojišča O1 smo izbrali, ker se na tem stojišču pri šestih girusih zmanjšajo natančnosti za vse horizontalne smeri. Tudi z analizo ostalih smeri smo prišli do rezultatov, ki kažejo na večje odstopanje pri šestih girusih. Vzemimo sedaj horizontalno smeri, pri kateri se natančnost horizontalne smeri spremeni za največ. To je pri horizontalni smeri, merjeni na stojišču O4 proti točki H3 (največje sprememba natančnosti znaša  $3,0^{\circ\text{C}}$ ) pri prehodu iz tretjega v četrti girus (glej Grafikon 4).



Grafikon 22: Odstopanja srednje vrednosti horizontalnih smeri na stojišču O4 proti točki H3

Glede na največjo spremembo natančnosti merjene horizontalne smeri med dvema zaporednima girusoma, ki je na stojišču O4 proti točki H3 in znaša  $3,0^{\circ\text{C}}$  in glede na dolžino med tem dve točkama, ki je 341,744 m, dobimo natančnost določitve položaja točke H3 velikosti 1,79 mm, kar pa je znotraj območja natančnosti ATR-a (2 mm).

### 5.5.2 Analiza natančnosti merjenih zenithnih razdalj

Kot cenilko merjenih zenithnih razdalj lahko uporabimo indeksni pogrešek. Vzrok za indeksni pogrešek je, da mesto čitanja na vertikalnem krogu ni na pravem mestu. Za indeksni pogrešek velja, da ima konstantno vrednost ne glede na naklon in orientacijo vizure. Eliminiramo ga z merjenjem v obeh krožnih legah.

Indeksni pogrešek  $i$  izračunamo po enačbi:

$$i = \frac{z^I + z^{II} - 400\text{gon}}{2} \quad (27)$$

kjer so:

$z^I$  ... odčitek zenithne razdalje v prvi krožni legi [v gon]

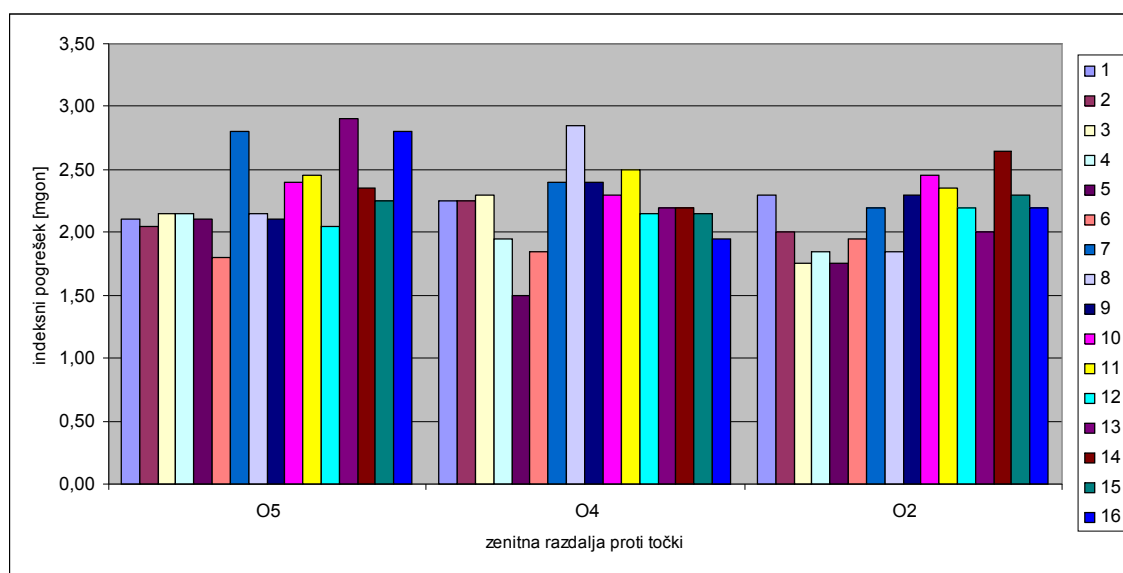
$z^{II}$  ... odčitek zenithne razdalje v drugi krožni legi [v gon]

Tudi pri zenithnih razdaljah smo opravili analizo za natančnosti zenithnih razdalj, pri katerih se je natančnost pri dodani ponovitvi dosti zmanjšala.

#### Rezultati:

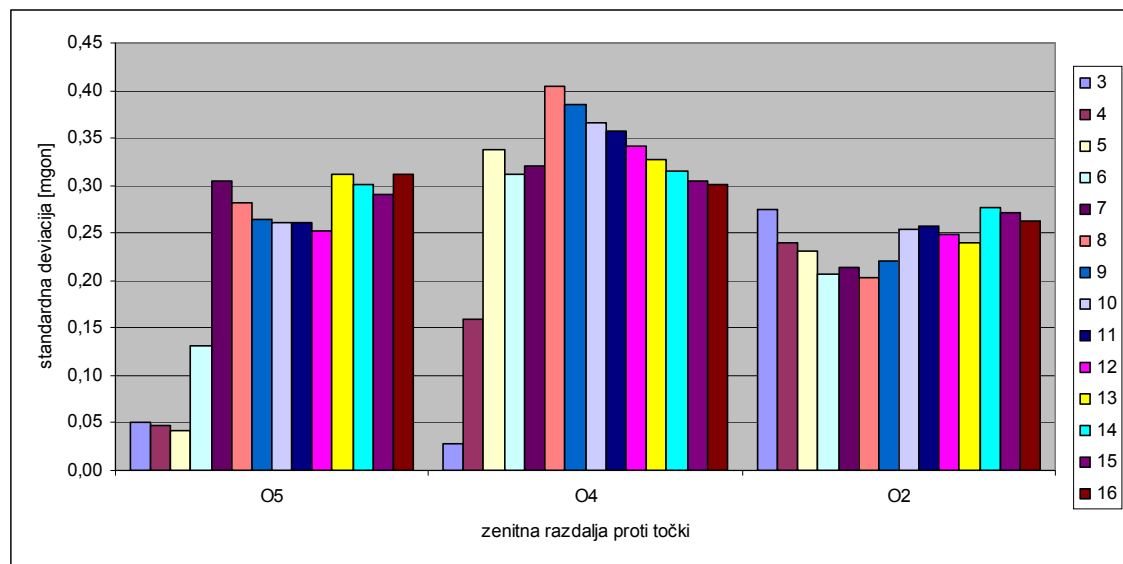
Analize zenithnih razdalj smo se lotili podobno kot analize horizontalnih smeri, le da smo pri zenithnih razdaljah poskušali odkriti manjše natančnosti z večanjem števila ponovitev na osnovi indeksnega pogreška.

Izmed vseh merjenih zenithnih razdalj, kot je razvidno iz Grafikona 8, dobimo na stojišču O3 za merjeno zenithno razdaljo proti točki O5 najbolj neenakomerno in nehomogeno spremenjanje natančnosti z večanjem števila ponovitev, celo nasprotno, se natančnost z večanjem števila ponovitev manjša. V Grafikonu 23 je prikazano spreminjače vrednosti indeksnega pogreška v odvisnosti od večanja števila ponovitev.



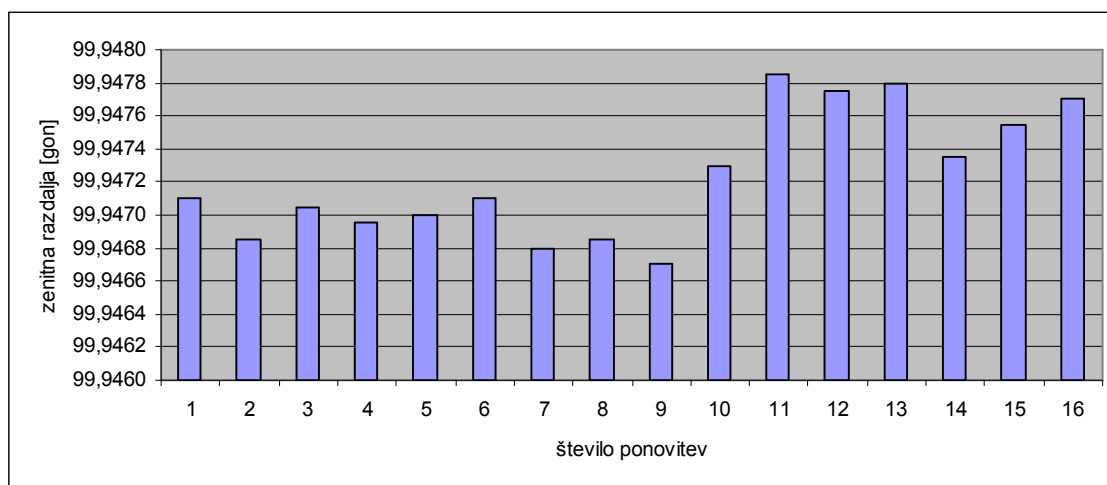
Grafikon 23 : Indeksni pogrešek izračunan za stojišče O3

Indeksni pogrešek se z večanjem števila ponovitev spreminja neenakomerno in ni pokazatelj manjših natančnosti pri večjem številu ponovitev.



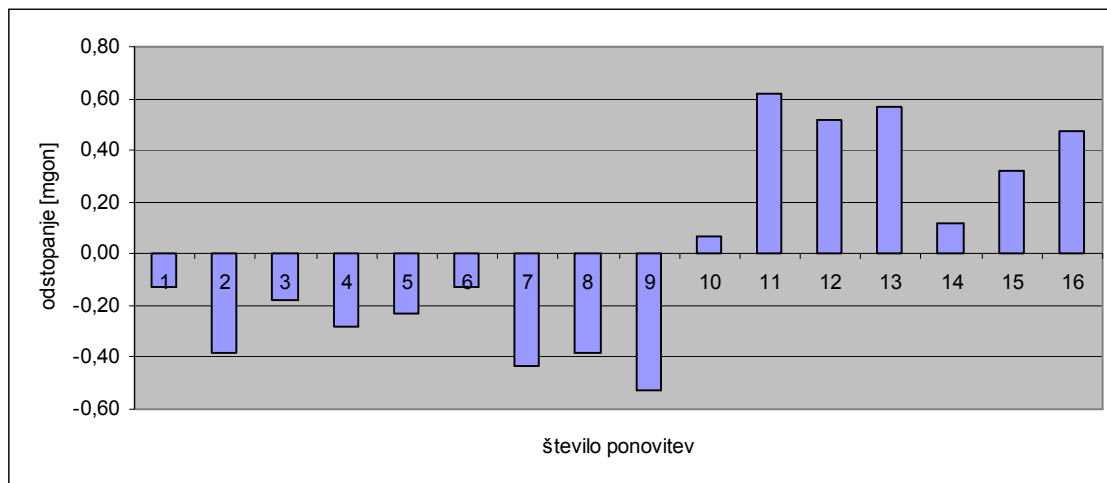
Grafikon 24: Standardne deviacije indeksnih pogreškov za stojišče O3

Standardne deviacije indeksnega pogreška za smer O5 na stojišču O3 nakazujejo na poslabšanje meritev pri večjem številu ponovitev, vendar pa na osnovi tega ne moremo sklepati o manjših natančnostih, saj se pri ostalih dveh smereh spreminja drugače kot se spreminja natančnosti merjenih zenithnih razdalj. Zato smo dalje primerjali spreminjanje vrednosti merjenih zenithnih razdalj z večanjem števila ponovitev. Analizirali smo podatke meritev za 16 ponovitev in ugotavliali, kako se srednje vrednosti zenithnih razdalj spreminja z večanjem števila ponovitev.



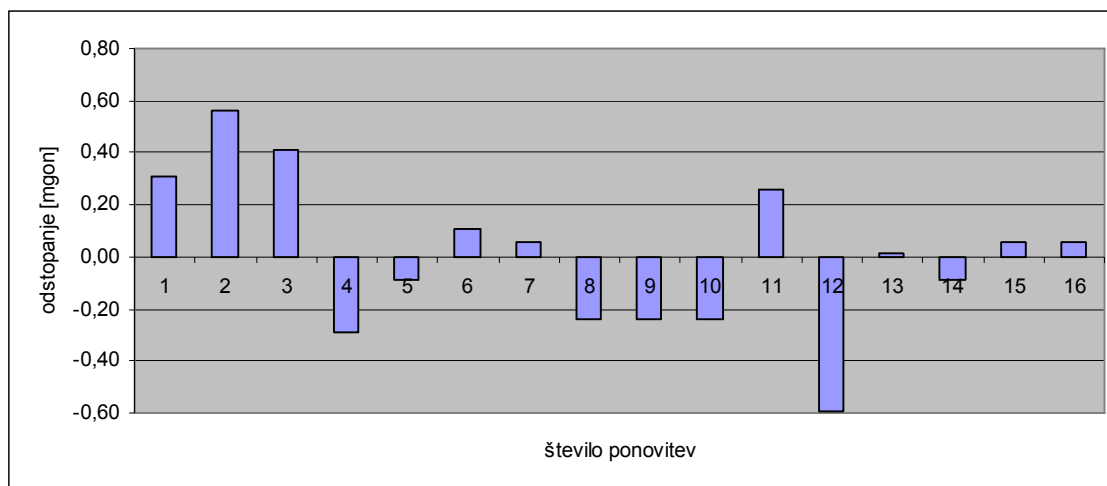
Grafikon 25: Zenitne razdalje iz stojišča O3 proti točki O5 v odvisnosti števila ponovitev

Tudi pri zenithnih razdaljah je iz samih vrednosti meritev razvidno, da vrednosti zenithne razdalje v številu ponovitev, pri kateri dobimo manjše natančnosti, nekoliko odstopajo glede na druge vrednosti zenithnih razdalj. Zato smo izračunali še odstopanja posameznih vrednosti zenithnih razdalj v določenem številu ponovitev od srednje vrednosti zenithne razdalje v vseh ponovitvah. Odstopanja zenithnih razdalj prikazujemo v Grafikonu 26. Vidimo lahko, da se odstopanja z večanjem števila ponovitev do devete ponovitve povečujejo in spremenijo predznak, pri enajsti ponovitvi se odstopanje močno poveča, kar lahko vidimo tudi pri spremembah natančnosti (Grafikon 8). Torej povečana odstopanja in njihova sprememba predznaka se odraža na večji spremembah natančnosti merjenih zenithnih razdalj.



Grafikon 26: Odstopanja zenitnih razdalj na stojišču O3 proti točki O5

Sedaj poglejmo še največjo spremembo natančnosti pri povečanju števila ponovitev. Ta je na stojišču O4 pri merjeni zenitni razdalji proti točki H7 (največja sprememba natančnosti znaša  $2,6^{\circ}$ ), pri prehodu iz treh v štiri ponovitve.



Grafikon 27: Odstopanja zenitnih razdalj na stojišču O4 proti točki H7

Iz Grafikona 27 lahko vidimo, da je pri štirih ponovitvah odstopanje večje kot pri nadaljnjih ponovitvah, zato je tu sprememba natančnosti merjene zenitne razdalje nekoliko večja. Tudi

pri dvanajstih ponovitvah je odstopanje nekoliko večje, kar se pozna tudi pri nekoliko zmanjšani natančnosti (Grafikon 9).

Če pogledamo največjo spremembo natančnosti merjene zenitne razdalje pri povečanju števila ponovitev, ki znaša  $2,6^{\circ\circ}$ , pri meritvi iz stojišča O3 proti točki O5, pri dolžini 315,177 m, dobimo natančnost določitve položaja točke O5 1,43 mm, kar pa je znotraj območja natančnosti ATR-a (2 mm).

## 6 IZRAVNAVA IN PRIMERJAVA REZULTATOV IZRAVNAVE

Izravnava izvedemo v primeru, ko imamo opazovanih več količin, kot jih nujno potrebujemo za izračun določenega problema. V našem primeru uporabimo posredni način izravnave. Izravnava mreže se izvede kot izravnava proste mreže, kar pomeni, da ni nobene dane točke, pri izravnavi pa potrebujemo približne koordinate vseh novih točk mreže. Pri izravnavi poleg reduciranih smeri uporabimo reducirane dolžine.

### 6.1 *Redukcije dolžin*

Dolžina, ki jo izmeri instrument, je obremenjena z različnimi vplivi in jo je potrebno za izravnavo reducirati. Ker ponavadi točke, med katerimi merimo dolžine, niso na isti višini, je izmerjena dolžina poševna ter zaradi meteoroloških vplivov tudi ukrivljena. Za računanje na skupni površini, jo je potrebno reducirati na ničelno nivojsko ploskev. Redukcijo izvedemo s tremi vrstami popravkov (Kogoj, 2005):

- meteorološki popravki,
- geometrični popravki,
- projekcijski popravki.

#### 6.1.1 Meteorološki popravki

##### 6.1.1.1 Prvi popravek hitrosti

S prvim popravkom hitrosti preračunamo dolžino, ki se nanaša na dejanske pogoje v atmosferi v času meritev. Torej pomeni pretvorbo vrednosti merjene dolžine iz referenčnih v dejanske pogoje atmosfere. To dosežemo preko izračuna dejanskega lomnega količnika (Kogoj, 2005).

Lomni količnik je količina, ki vpliva na hitrost širjenja valovanja in zato posredno na modulacijsko valovno dolžino. Lomni količnik valovanja je odvisen od valovne dolžine valovanja in od meteoroloških pogojev atmosfere.

Pri elektronski merjen dolžini  $D_a$  ima modulirana valovna dolžina  $\lambda$  nominalno vrednost:

$$\lambda_M = \frac{c_0}{n_0 \cdot f_M} \quad (28)$$

Ta se nanaša na referenčni lomni količnik  $n_0$ , in s tem na točno določeno hitrost razširjanja elektromagnetnega valovanja:

$$n_0 = \frac{c_0}{\lambda_M \cdot f_M} \quad (29)$$

Dolžina  $D_a$ , ki jo prikaže instrument, se nanaša na referenčni lomni količnik  $n_0$ , ki je različen za različne tipe instrumenta.

Med merjenjem v dejanski atmosferi pa vlada dejanski lomni količnik  $n_D$ , ki se v splošnem razlikuje od referenčnega in se izračuna na osnovi izmerjenih meteoroloških parametrov ( $t, p, e$  ).

Izračunamo pa ga po enačbi:

$$n_D = 1 + \frac{n_G - 1}{1 + \alpha \cdot t} \cdot \frac{p}{1013.25} - \frac{4.1 \cdot 10^{-6}}{1 + \alpha \cdot t} \cdot e, \quad (30)$$

kjer so:

$n_G$  ... grupni lomni količnik

$p$  ... zračni tlak [mbar]

---

|          |     |                              |
|----------|-----|------------------------------|
| t        | ... | temperatura [°C]             |
| e        | ... | delni tlak vodne pare        |
| $\alpha$ | ... | razteznosti koeficient zraka |

Grupni lomni količnik je po Cauchyju opisan z interpolacijsko enačbo:

$$(n_G - 1) \cdot 10^6 = A + 3 \frac{B}{\lambda^2} + 5 \frac{C}{\lambda^4} \quad (31)$$

Vrednosti A , B in C so empirično določene in sicer znašajo po Edlenu 1966:

$$A = 287,583$$

$$B = 1,6134$$

$$C = 0,0144$$

Delni tlak vodne pare pa izračunamo po enačbi:

$$e = E_m - (t_s - t_m) \cdot \frac{K}{755} \cdot p \quad (32)$$

kjer so:

|       |     |   |
|-------|-----|---|
| $t_s$ | ... | temperatura suhega termometra [°C]      |
| $t_m$ | ... | temperatura mokrega termometra [°C]     |
| e     | ... | zračni tlak [torr]                      |
| $E_m$ | ... | tlak nasičene pare za mokro temperaturo |
| K     | ... | empirično določena konstanta            |

Za  $E_m$  pa velja empirično po Magnus-Tetensu enačba:

$$E_m = 10^{\left( \frac{\alpha \cdot t_m}{\beta + t_m} + \gamma \right)} \quad (33)$$

Preglednica 7: Vrednosti konstant za izračun  $E_m$  in e v torrih

| Mokri termometer                      | $K$  | $\alpha$ | $\beta$ | $\gamma$ |
|---------------------------------------|------|----------|---------|----------|
| Pod vodo ( $t_m > 0^\circ\text{C}$ )  | 0,50 | 7,5      | 237,5   | 0,66077  |
| Pod ledom ( $t_m < 0^\circ\text{C}$ ) | 0,43 | 9,5      | 265,5   | 0,66077  |

Optična pot je za referenčne in dejanske pogoje enaka. Velja:

$$D' = \frac{n_0}{n_D} * D_a \quad (34)$$

Relativna sprememba dolžine se preoblikuje z atmosfersko korekcijo  $k_n$ :

$$D' = D_a + k_n \quad (35)$$

Iz tega sledi da je  $k_n$ :

$$k_n = D' - D_a = D_a \cdot \left( \frac{n_0 - n_D}{n_D} \right) \quad (36)$$

Predpostavimo, da je  $n_D \approx 1$ , in tako sledi:

$$k_n = D_a \cdot (n_0 - n_D) \quad (37)$$

$k_n$  imenujemo prvi popravek hitrosti. Relativna vrednost prvega popravka ozziroma ppm popravek hitrosti pa zapišemo kot:

$$k_{nr} = n_0 - n_D \quad (38)$$

Ta popravek lahko izračunamo na osnovi merjenih količin, ali pa ga odčitamo iz nomogramov prvega popravka hitrosti.

Z upoštevanjem prvega popravka hitrosti, bo popravljena vrednost dolžine:

$$D' = D_a (1 + k_{nr}) = D_a \cdot k_m \quad (39)$$

pri čemer je  $k_m$  multiplikacijska konstanta prvega popravka hitrosti, ki ga izračunamo kot:

$$k_m = 1 + k_{nr} = \frac{n_o}{n_D} \quad (40)$$

Ker pri elektrooptičnih razdaljemerih doseže vpliv drugega popravka hitrosti vrednost 1ppm šele pri dolžinah daljši od 65 km, ga v praksi v večini primerov zanemarimo. Tudi v našem primeru ga nismo upoštevali, saj so bile najdaljše dolžine velikosti nekaj čez 400 m.

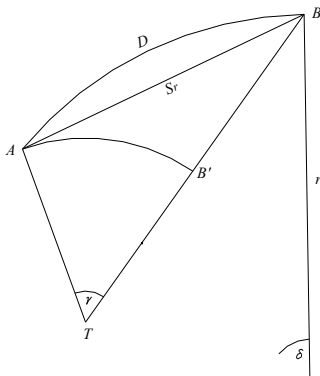
### 6.1.2 Geometrični popravki

Geometrične popravke obravnavamo na dva načina. Prvič preko merjenih zenitnih razdalj ter podatkih o elipsoidnih višinah. Tedaj geometrični popravki pomenijo razliko med prostorsko krivuljo  $D$ , definirano z refrakcijsko krivuljo na sferni lok na referenčni ploskvi. Popravki pomenijo upoštevanje ukrivljenosti refrakcijske krivulje, horizontalnih in vertikalnih ekscentritet razdaljemera in reflektorja (Kogoj, 2005).

Drugič preko približnih vrednosti oz. zenitnih razdalj. Tedaj pomenijo geometrični popravki razliko med prostorsko krivuljo  $D$  definirano z refrakcijsko krivuljo na premo poševno dolžino na nivoju točk. Popravki pomenijo upoštevanje ukrivljenosti refrakcijske krivulje ter horizontalnih in vertikalnih ekscentritet razdaljemera in reflektorja (Kogoj, 2005).

### 6.1.2.1 Popravek zaradi ukrivljenosti merskega žarka

Ta popravek pomeni razliko med dolžino refrakcijske krivulje in pripadajoče tetine. Dolžina, ki jo merimo zaradi refrakcije, predstavlja dolžino prostorske krivulje, ki jo aproksimiramo z delom krožnega loka v vertikalni ravnini. Krožni lok z radijem  $r$  je s svojo konkavno stranjo obrnjen proti površini Zemlje.



Slika 21: Razlika med refrakcijsko krivuljo in pripadajočo tetivo

Merjeno dolžino  $D$  je potrebno zato reducirati na prostorsko tetivo  $S_r$ . Z izbranim radijem ukrivljenosti žarka  $r$  velja:

$$S_r = 2r \cdot \sin\left(\frac{D}{2 \cdot r}\right) \quad (41)$$

Enačbo razvijemo v Taylorjevo vrsto in z omejitvijo do člena 3. reda in z znanim koeficientom refrakcije sledi refrakcija zaradi ukrivljenosti žarka:

$$k_r = S_r - D = -k^2 \cdot \frac{D^3}{24R^2} \quad (42)$$

Tako sedaj z upoštevanjem popravka  $k_r$  izračunamo dolžino prostorske tetine  $S_r$  po enačbi:

$$S_r = D - k^2 \frac{D^3}{24R^3} \quad (43)$$

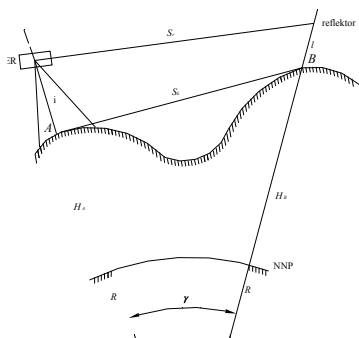
### 6.1.2.2 Redukcije zaradi horizontalne ekscentricitete razdaljemera in reflektorja

Horizontalni ekscentriciteti razdaljemera in reflektora predstavljata tako imenovani adicijski konstanti razdaljemera in reflektora, ki jo merjeni dolžini enostavno prištejemo.

### 6.1.2.3 Izračun poševne dolžine med točkama na terenu (dolžina kamen - kamen)

To redukcijo upoštevamo zato, ker imata instrument in reflektor vsak svojo višino – višina instrumenta  $i$  ni enaka višini signala  $l$ .

V nadaljevanju podamo izračun dolžine kamen – kamen za primer, ko je podana višinska razlika med točkama, saj smo jih v našem primeru računali na ta način.



Slika 22: Redukcija kamen-kamen z višinskimi razlikami

V tem primeru je popravek dolžine sledeč:

$$\Delta S = \frac{(i - l) \cdot (H_B - H_A)}{S_r} - \frac{(i - l)^2}{2S_r} - \frac{(i + l)}{2R} S_r \quad (44)$$

Dolžina kamen-kamen pa je:

$$Sk = S_r + \Delta S \quad (45)$$

### 6.1.3 Projekcijski popravki

Projekcijske popravke upoštevamo ob prehodu s prostorske poševne dolžine na nivoju točk na sferni lok  $S$  v nivoju referenčnega horizonta ter nato v izbrano projekcijsko ravnino.

Geometrične redukcije lahko razdelimo na dve skupini (Kogoj, 2005):

- razlike med dolžinami tetiv v odvisnosti od naklona in višine
- razlike med dolžino na referenčni ploskvi in v projekcijski ravnini

#### 6.1.3.1 Horizontiranje in redukcija na ničelni nivo

Za izračun iz prostorske tetine  $S_k$  na tetivo  $S_0$  v nivoju horizonta morajo biti znane ali višine točk ( $H_A, H_B$ ) ali višina točke  $H_A$  in merjena zenitna razdalja  $z_A$ .

V nadaljevanju podamo izračun dolžine  $S_0$  za primer, ko so znane nadmorske višine točk, saj smo jih v našem primeru računali na ta način.

Enačba za velikost tetine je sledeča (direktna rešitev):

$$S_0 = R \sqrt{\frac{S_k^2 - (H_A - H_B)^2}{(R + H_A) \cdot (R + H_B)}} \quad (46)$$

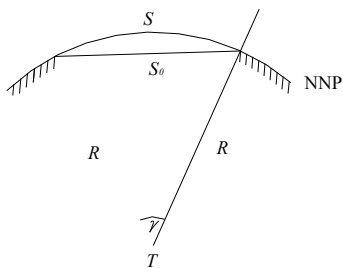
Oziroma po preoblikovanju:

$$S_0 = \sqrt{\frac{S_k^2 - (H_A - H_B)^2}{\left(1 + \frac{H_A}{R}\right) \cdot \left(1 + \frac{H_B}{R}\right)}} \quad (47)$$

### 6.1.3.2 Izračun dolžine loka na referenčni ploskvi in redukcija na Gauß-Krügerjevo projekcijsko ravnino

Prehod s tetive  $S_0$  na lok  $S$  na referenčni ploskvi je podan z enačbo:

$$S = 2R \cdot \arcsin \frac{S_0}{2R} \quad (48)$$



Slika 23: Prehod s tetive na pripadajoči krožni lok

Ker dolžin nismo reducirali na Gauß-Krügerjevo projekcijsko ravnino, v nadaljevanju ne podajamo te redukcije.

## 6.2 Izravnava opazovanj

Izravnavo smo izvedli s programom *RamWin* za instrument *Leica Geosystems TC2003* za 3 giruse, za instrument *Leica Geosystems TCRP1201 R300* pa za 3-16 girusov.

Ob upoštevanju pogoja

$$\Phi = \mathbf{v}^T \mathbf{P} \mathbf{v} \Rightarrow \min \quad (49)$$

lahko zapišemo enačbe popravkov posredne izravnave kot:

$$\mathbf{v} + \mathbf{B}\Delta = \mathbf{f} \quad (50)$$

Pri posredni izravnavi je število enačb popravkov enak številu vseh opazovanj. V našem primeru je 92 različnih opazovanj (46 opazovanih dolžin in 46 opazovanih horizontalnih smeri), zato tvorimo 92 enačb posredne izravnave. V enačbe popravkov so vključena opazovanja in neznanke.

Neznanke predstavljajo koordinate vseh točk, zato jih je v našem primeru 24. Ker smo opazovanja izvedi iz 5-ih referenčnih točk, pomeni da imamo dodatno 5 orientacijskih neznank. Torej je skupno število neznank 29.

Enačbe posredne izravnave potrebujemo za nastavitev matrike  $\mathbf{B}$ . Matrika  $\mathbf{B}$  vsebuje parcialne odvode vseh enačb po vseh neznankah. Tako je v našem primeru matrika  $\mathbf{B}$  dimenzije  $94 \times 29$ .

$$\mathbf{B} = \begin{bmatrix} \frac{\partial F_1}{\partial y_{o1}} & \frac{\partial F_1}{\partial x_{o1}} & \frac{\partial F_1}{\partial y_{o2}} & \dots & \frac{\partial F_1}{\partial x_{H7}} \\ \dots & \dots & \dots & \dots & \dots \\ \dots & \dots & \dots & \dots & \dots \\ \frac{\partial F_{93}}{\partial y_{o1}} & \dots & \frac{\partial F_{93}}{\partial x_{H7}} & \dots & \dots \\ \frac{\partial F_{94}}{\partial y_{o1}} & \dots & \frac{\partial F_{94}}{\partial x_{H7}} & \dots & \dots \end{bmatrix} \quad (51)$$

Postopek posredne izravnave je:

$$\mathbf{Q} = \frac{1}{\sigma_0^2} \Sigma_{\mathbf{u}} \quad (52)$$

$$\mathbf{P} = \mathbf{Q}^{-1} \quad (53)$$

$$\mathbf{N} = \mathbf{B}^T \mathbf{P} \mathbf{B} \quad (54)$$

$$\Delta = (\mathbf{N} + \mathbf{H} \mathbf{H}^T)^{-1} \mathbf{B}^T \mathbf{P} \mathbf{f} \quad (55)$$

$$\mathbf{v} = (\mathbf{I} - \mathbf{B}(\mathbf{N} + \mathbf{H}\mathbf{H}^T)^{-1}\mathbf{B}^T\mathbf{P})\mathbf{f} \quad (56)$$

$$\hat{\mathbf{I}} = \mathbf{I} + \mathbf{v} \quad (57)$$

$$\hat{\mathbf{X}} = \mathbf{X} + \Delta \quad (58)$$

kjer so:

- $\Phi$  ... utežna funkcija
- $\mathbf{Q}$  ... matrika kofaktorjev
- $\sigma_0$  ... referenčna varianca a-posteriori
- $\Sigma_{ll}$  ... variančno – kovariančna matrika
- $\mathbf{P}$  ... matrika uteži
- $\mathbf{N}$  ... matrika koeficientov normalnih enačb
- $\Delta$  ... vektor neznank
- $\mathbf{H}$  ... matrika notranjih vezi
- $\mathbf{f}$  ... vektor odstopanj
- $\mathbf{v}$  ... vektor popravkov opazovanj
- $\hat{\mathbf{I}}$  ... vektor izravnanih opazovanj
- $\hat{\mathbf{X}}$  ... vektor izravnanih koordinat novih točk
- $\mathbf{X}$  ... vektor približnih vrednosti koordinat novih točk

Ker izravnavamo prosto mrežo, mora sistem enačb popravkov  $\mathbf{v} + \mathbf{B}\Delta = \mathbf{f}$  izpolniti tudi naslednji pogoj:

$$\mathbf{H}^T \Delta = 0 \quad (59)$$

Po izravnavi izračunamo referenčno varianco a-posteriori kot:

$$\sigma_0^2 = \frac{\mathbf{v}^T \mathbf{P} \mathbf{v}}{n - n_0} \quad (60)$$

kjer so:

$n$  ... število vseh opazovanj

$n_0$  ... minimalno število opazovanj, potrebnih za enolično rešitev problema

Vhodna datoteka za program *RamWin* je tekstovna datoteka formata\*.pod. V njej je potrebno nastaviti tip opazovanj (kotna opazovanja, dolžinska opazovanja, kombinirana opazovanja), kotnim in dolžinskim opazovanjem pa je potrebno dodati uteži. Za kotna opazovanja smo nastavili uteži na vrednost 1 za dolžinska opazovanja pa smo uteži izračunali obratno sorazmerno glede na vrednost dolžine in pomnožili s 100.

Izhodna datoteka je tekstovna datoteka formata \*.rez. Ta vsebuje rezultate izravnave in pripadajoče natančnosti. Primer vhodne datoteke podajamo v Prilogi 13, primer izhodne datoteke pa podajamo v Prilogi 14.

### 6.3 Rezultati izravnave opazovanj

Preglednica 8: Izravnane koordinate novih točk

| število<br>girusov | TOČKA |           |           |           |          |          |          |          |          |
|--------------------|-------|-----------|-----------|-----------|----------|----------|----------|----------|----------|
|                    | O1    |           | O2        |           | O3       |          | O4       |          |          |
|                    | Y [m] | X [m]     | Y [m]     | X [m]     | Y [m]    | X [m]    | Y [m]    | X [m]    |          |
| TCRP1201<br>R300   | 3     | 1178,0566 | 1095,4340 | 1081,6834 | 886,2244 | 847,6505 | 904,0712 | 999,9934 | 999,9909 |
|                    | 4     | 1178,0566 | 1095,4340 | 1081,6834 | 886,2243 | 847,6505 | 904,0712 | 999,9935 | 999,9909 |
|                    | 5     | 1178,0566 | 1095,4340 | 1081,6834 | 886,2243 | 847,6505 | 904,0712 | 999,9935 | 999,9909 |
|                    | 6     | 1178,0565 | 1095,4340 | 1081,6834 | 886,2243 | 847,6505 | 904,0712 | 999,9935 | 999,9908 |
|                    | 7     | 1178,0565 | 1095,4340 | 1081,6834 | 886,2243 | 847,6505 | 904,0713 | 999,9936 | 999,9908 |
|                    | 8     | 1178,0565 | 1095,4340 | 1081,6834 | 886,2243 | 847,6505 | 904,0713 | 999,9936 | 999,9908 |
|                    | 9     | 1178,0566 | 1095,4340 | 1081,6834 | 886,2243 | 847,6505 | 904,0713 | 999,9936 | 999,9908 |
|                    | 10    | 1178,0566 | 1095,4340 | 1081,6834 | 886,2243 | 847,6505 | 904,0713 | 999,9936 | 999,9908 |
|                    | 11    | 1178,0566 | 1095,4340 | 1081,6834 | 886,2243 | 847,6505 | 904,0713 | 999,9936 | 999,9908 |
|                    | 12    | 1178,0566 | 1095,4340 | 1081,6834 | 886,2243 | 847,6505 | 904,0714 | 999,9936 | 999,9908 |
|                    | 13    | 1178,0566 | 1095,4340 | 1081,6834 | 886,2243 | 847,6505 | 904,0713 | 999,9936 | 999,9908 |
|                    | 14    | 1178,0566 | 1095,4339 | 1081,6834 | 886,2243 | 847,6505 | 904,0713 | 999,9936 | 999,9908 |
|                    | 15    | 1178,0566 | 1095,4339 | 1081,6834 | 886,2243 | 847,6505 | 904,0713 | 999,9936 | 999,9908 |
|                    | 16    | 1178,0564 | 1095,4342 | 1081,6834 | 886,2248 | 847,6509 | 904,0717 | 999,9938 | 999,9911 |
| TC2003             | 3     | 1178,0564 | 1095,4342 | 1081,6834 | 886,2249 | 847,6509 | 904,0716 | 999,9936 | 999,9912 |

|                  |                    | TOČKA              |           |           |           |           |           |           |           |
|------------------|--------------------|--------------------|-----------|-----------|-----------|-----------|-----------|-----------|-----------|
|                  | število<br>girusov | O5                 |           | H1        |           | H2        |           | H3        |           |
|                  |                    | Y [m]              | X [m]     | Y [m]     | X [m]     | Y [m]     | X [m]     | Y [m]     | X [m]     |
| TCRP1201<br>R300 | 3                  | 955,6242           | 1200,1773 | 1098,5400 | 1315,0551 | 1116,5406 | 1314,5921 | 1134,5280 | 1314,1280 |
|                  | 4                  | 955,6242           | 1200,1773 | 1098,5400 | 1315,0551 | 1116,5404 | 1314,5922 | 1134,5281 | 1314,1279 |
|                  | 5                  | 955,6242           | 1200,1773 | 1098,5399 | 1315,0552 | 1116,5405 | 1314,5921 | 1134,5281 | 1314,1279 |
|                  | 6                  | 955,6242           | 1200,1773 | 1098,5398 | 1315,0552 | 1116,5405 | 1314,5921 | 1134,5281 | 1314,1279 |
|                  | 7                  | 955,6242           | 1200,1773 | 1098,5399 | 1315,0551 | 1116,5405 | 1314,5922 | 1134,5281 | 1314,1279 |
|                  | 8                  | 955,6243           | 1200,1773 | 1098,5398 | 1315,0552 | 1116,5405 | 1314,5921 | 1134,5281 | 1314,1279 |
|                  | 9                  | 955,6243           | 1200,1773 | 1098,5398 | 1315,0552 | 1116,5405 | 1314,5921 | 1134,5281 | 1314,1279 |
|                  | 10                 | 955,6243           | 1200,1772 | 1098,5398 | 1315,0552 | 1116,5405 | 1314,5922 | 1134,5281 | 1314,1279 |
|                  | 11                 | 955,6243           | 1200,1772 | 1098,5397 | 1315,0552 | 1116,5405 | 1314,5922 | 1134,5281 | 1314,1279 |
|                  | 12                 | 955,6243           | 1200,1772 | 1098,5397 | 1315,0552 | 1116,5405 | 1314,5922 | 1134,5281 | 1314,1279 |
|                  | 13                 | 955,6243           | 1200,1772 | 1098,5397 | 1315,0552 | 1116,5405 | 1314,5922 | 1134,5281 | 1314,1279 |
|                  | 14                 | 955,6243           | 1200,1772 | 1098,5397 | 1315,0552 | 1116,5405 | 1314,5922 | 1134,5281 | 1314,1279 |
|                  | 15                 | 955,6243           | 1200,1772 | 1098,5397 | 1315,0553 | 1116,5405 | 1314,5922 | 1134,5281 | 1314,1279 |
|                  | 16                 | 955,6246           | 1200,1773 | 1098,5395 | 1315,0550 | 1116,5405 | 1314,5920 | 1134,5280 | 1314,1277 |
| TC2003           | 3                  | 955,6247           | 1200,1774 | 1098,5398 | 1315,0550 | 1116,5404 | 1314,5921 | 1134,5279 | 1314,1278 |
| TCRP1201<br>R300 |                    | TOČKA              |           |           |           |           |           |           |           |
|                  |                    | število<br>girusov | H4        |           | H5        |           | H6        |           | H7        |
|                  |                    |                    | Y [m]     | X [m]     | Y [m]     | X [m]     | Y [m]     | X [m]     | Y [m]     |
|                  | 3                  | 1152,4944          | 1313,6388 | 1170,5490 | 1313,1388 | 1188,5131 | 1312,7158 | 1205,1246 | 1312,2879 |
|                  | 4                  | 1152,4944          | 1313,6388 | 1170,5491 | 1313,1388 | 1188,5131 | 1312,7158 | 1205,1246 | 1312,2878 |
|                  | 5                  | 1152,4943          | 1313,6388 | 1170,5490 | 1313,1388 | 1188,5132 | 1312,7158 | 1205,1246 | 1312,2878 |
|                  | 6                  | 1152,4944          | 1313,6388 | 1170,5491 | 1313,1388 | 1188,5132 | 1312,7158 | 1205,1246 | 1312,2878 |
|                  | 7                  | 1152,4943          | 1313,6388 | 1170,5491 | 1313,1388 | 1188,5131 | 1312,7158 | 1205,1247 | 1312,2878 |
|                  | 8                  | 1152,4943          | 1313,6388 | 1170,5491 | 1313,1389 | 1188,5130 | 1312,7158 | 1205,1247 | 1312,2878 |
|                  | 9                  | 1152,4943          | 1313,6388 | 1170,5490 | 1313,1389 | 1188,5131 | 1312,7158 | 1205,1247 | 1312,2878 |
|                  | 10                 | 1152,4943          | 1313,6388 | 1170,5490 | 1313,1389 | 1188,5131 | 1312,7158 | 1205,1247 | 1312,2878 |
|                  | 11                 | 1152,4943          | 1313,6388 | 1170,5490 | 1313,1389 | 1188,5131 | 1312,7158 | 1205,1247 | 1312,2878 |
|                  | 12                 | 1152,4943          | 1313,6388 | 1170,5490 | 1313,1389 | 1188,5131 | 1312,7158 | 1205,1247 | 1312,2878 |
|                  | 13                 | 1152,4943          | 1313,6388 | 1170,5490 | 1313,1389 | 1188,5131 | 1312,7157 | 1205,1247 | 1312,2878 |
|                  | 14                 | 1152,4943          | 1313,6388 | 1170,5490 | 1313,1389 | 1188,5131 | 1312,7158 | 1205,1247 | 1312,2877 |
|                  | 15                 | 1152,4943          | 1313,6388 | 1170,5490 | 1313,1389 | 1188,5131 | 1312,7158 | 1205,1247 | 1312,2877 |
|                  | 16                 | 1152,4943          | 1313,6386 | 1170,5489 | 1313,1387 | 1188,5129 | 1312,7155 | 1205,1245 | 1312,2875 |
| TC2003           | 3                  | 1152,4942          | 1313,6387 | 1170,5492 | 1313,1385 | 1188,5128 | 1312,7155 | 1205,1245 | 1312,2874 |

*Preglednica 9: Značilne vrednosti natančnosti izravnanih koordinat in elipse pogreškov za točke O1, O2, O3, O4 in O5*

|                  | število<br>girusov | M <sub>y</sub> [m] | M <sub>x</sub> [m] | M <sub>p</sub> [m] | a [m]  | b [m]  | θ [°] |
|------------------|--------------------|--------------------|--------------------|--------------------|--------|--------|-------|
| TCRP1201<br>R300 | 3                  | 0,0001             | 0,0001             | 0,0001             | 0,0001 | 0,0001 | 82    |
|                  | 4                  | 0,0001             | 0,0001             | 0,0001             | 0,0001 | 0,0001 | 67    |
|                  | 5                  | 0,0001             | 0,0001             | 0,0001             | 0,0001 | 0,0001 | 80    |
|                  | ...                |                    |                    |                    |        |        |       |
|                  | 14                 | 0,0001             | 0,0001             | 0,0001             | 0,0001 | 0,0001 | 82    |
|                  | 15                 | 0,0001             | 0,0001             | 0,0001             | 0,0001 | 0,0001 | 82    |
|                  | 16                 | 0,0001             | 0,0001             | 0,0001             | 0,0001 | 0,0001 | 82    |
| TC2003           | 3                  | 0,0001             | 0,0001             | 0,0001             | 0,0001 | 0,0001 | 63    |

*Preglednica 10: Značilne vrednosti natančnosti izravnanih koordinat in elipse pogreškov za točke H1, H2, H3, H4, H5, H6 in H7*

|                  | število<br>girusov | M <sub>y</sub> [m] | M <sub>x</sub> [m] | M <sub>p</sub> [m] | a [m]  | b [m]  | θ [°] |
|------------------|--------------------|--------------------|--------------------|--------------------|--------|--------|-------|
| TCRP1201<br>R300 | 3                  | 0,0002             | 0,0002             | 0,0003             | 0,0002 | 0,0001 | 113   |
|                  | 4                  | 0,0002             | 0,0002             | 0,0003             | 0,0002 | 0,0001 | 113   |
|                  | 5                  | 0,0002             | 0,0002             | 0,0003             | 0,0002 | 0,0001 | 113   |
|                  | ...                |                    |                    |                    |        |        |       |
|                  | 14                 | 0,0002             | 0,0002             | 0,0003             | 0,0002 | 0,0001 | 113   |
|                  | 15                 | 0,0002             | 0,0002             | 0,0003             | 0,0002 | 0,0001 | 113   |
|                  | 16                 | 0,0002             | 0,0001             | 0,0002             | 0,0002 | 0,0001 | 113   |
| TC2003           | 3                  | 0,0003             | 0,0002             | 0,0003             | 0,0003 | 0,0002 | 113   |

*Preglednica 11: A-posteriori ocena natančnosti*

|               | število girusov | smeri [mgon] | dolžine [mm] |
|---------------|-----------------|--------------|--------------|
| TCRP1201 R300 | 3               | 0,66         | 0,2          |
|               | 4               | 0,60         | 0,2          |
|               | 5               | 0,50         | 0,2          |
|               | 6               | 0,49         | 0,2          |
|               | 7               | 0,48         | 0,2          |
|               | 8               | 0,48         | 0,2          |
|               | 9               | 0,48         | 0,2          |
|               | 10              | 0,48         | 0,2          |
|               | 11              | 0,49         | 0,2          |
|               | 12              | 0,51         | 0,2          |
|               | 13              | 0,52         | 0,2          |
|               | 14              | 0,51         | 0,2          |
|               | 15              | 0,51         | 0,2          |
|               | 16              | 0,49         | 0,2          |
| TC2003        | 3               | 3,20         | 0,2          |

### **Vrednotenje rezultatov:**

Izravnane koordinate, ki jih izračunamo na podlagi opazovanj z instrumentom *Leica Geosystems TC2003* in z instrumentom *Leica Geosystems TCRP1201 R300*, se razlikujejo med sabo za največ nekaj desetink milimetrov. Če medsebojno primerjamo vse giruse razen šestnajstega, se razlike znašajo med vrednostmi koordinat desetink ali dve, pri šestnajstem girusu pa je razlika nekoliko večja, največ pet desetnik milimetra, vendar pa je ta razlika za tovrstno izmero in glede na natančnost, ki jo zagotavlja ATR, še vedno dovolj majhna. Torej lahko trdimo, da so bila opazovanja z uporabo sistema ATR zelo dobro opravljena.

Če pogledamo natančnosti izravnanih koordinat, lahko vidimo, da se s povečevanjem števila girusov natančnosti bistveno ne spreminja. Sicer pa je opaziti, da so tako natančnosti izravnanih koordinat, kot vrednosti elips pogreškov homogene in enake za referenčne točke O1, O2, O3, O4 in O5. Za kontrolne točke pa se te vrednosti v primerjavi z vrednostmi pri referenčnih točkah nekoliko večje.

Mera za natančnost izravnanih opazovanj predstavlja referenčna standardna deviacija a-posteriori. Kot lahko vidimo, je ta za instrument *Leica Geosystems TC2003*, za horizontalne smeri bistveno večja, kot za instrument *Leica Geosystems TCRP1201 R300*, kar dodatno potrdi, da so bile natančnosti smeri, dosežene z instrumentom *Leica Geosystems TCRP1201 R300*, bistveno večje. Vidimo lahko, da se referenčna standardna deviacija a-posteriori za instrument *Leica Geosystems TCRP1201 R300* do desetega girusa zmanjšuje, naprej pa se povečuje. To pomeni, da večje število od desetih girusov ne prinese bistveno boljših rezultatov izmere. Pri dolžinah pa referenčna standardna deviacija a-posteriori kaže na zelo podobne natančnosti merjenih dolžin, ki so za oba instrumenta primerljive.

## 7 ZAKLJUČEK

V okviru diplomske naloge smo ugotavljali primernost uporabe avtomatskega viziranja tarče (ATR) na mreži večjih razsežnosti. Možnosti avtomatskega iskanja tarče (PS) in avtomatskega sledenja tarče (LOCK) nismo preizkušali, saj nas je zanimala zmožnost samodejnih meritev elektronskega tahimetra in natančnost opravljenih meritev ter rezultatov izravnave.

Izmero z uporabo ATR smo izvedli z instrumentom *Leica Geosystems TCRP1201 R300*, klasično izmero pa z instrumentom *Leica Geosystems TC2003*. Slednji, po osnovnih karakteristikah sodeč, omogoča večjo natančnost merjenih kotov ( $0,5''$ ). Podatek o natančnosti merjenih kotov za instrument *Leica Geosystems TCRP1201 R300* je  $1''$ . Podobno je pri merjenju dolžin: tehnični podatek za instrument *Leica Geosystems TC2003* je 1 mm; 1 ppm, za instrument *Leica Geosystems TCRP1201 R300* pa 2 mm; 2 ppm. Tako smo pričakovali, da bomo dobili boljše rezultate z instrumentom *Leica Geosystems TC2003*. Z instrumentom *Leica Geosystems TC2003* smo meritve izvedli v treh girusih, z instrumentom *Leica Geosystems TCRP1201 R300* pa smo meritve izvedli v šestnajstih girusih. Pri slednjem smo podatke obdelovali za tri do šestnajstih girusov. Pričakovali smo, da bomo z večanjem števila girusov dobili večje natančnosti merjenih količin in tudi natančnejše rezultate izravnave.

Kakovost meritev lahko ugotovimo z izračunanimi natančnostmi posameznih opazovanj. Primerjali smo natančnosti merjenih horizontalnih kotov, zenitnih razdalj in dolžin. Na osnovi primerjave natančnosti horizontalnih smeri, ki nam jih izračuna program *Leica Geosystems Liscad*, ne moremo z gotovostjo trditi, kateri instrument omogoča boljše meritve horizontalnih smeri, saj na nekaterih stojiščih dobimo večje natančnosti z enim, na drugih pa z drugim instrumentom. V splošnem lahko trdimo, da z instrumentom *Leica Geosystems TCRP1201 R300* dobimo bolj homogene natančnosti, v večini primerov pa so te tudi večje kot natančnosti dobljene z instrumentom *Leica Geosystems TC2003*. Dodatno smo izračunali natančnosti merjenih horizontalnih smeri po girusni metodi. Te so za oba instrumenta popolnoma primerljive z natančnostmi, izračunanimi s program *Leica Geosystems Liscad*. Natančnosti, izračunane po girusni metodi, se nanašajo na celotno stojišče za vse smeri, na

osnovi teh pa lahko trdimo, da so natančnosti merjenih horizontalnih smeri, dosežene z instrumentom *Leica Geosystems TCRP1201 R300*, večje.

Prav tako dobimo v večini primerov večje natančnosti merjenih zenitnih razdalj z instrumentom *Leica Geosystems TCRP1201 R300*, vendar pa se pri tem instrumentu z naraščanjem števila ponovitev v večini primerov ne povečujejo, nasprotno se spreminjajo dokaj nehomogeno, v nekaterih primerih pa se z večanjem števila ponovitev celo zmanjšajo.

Analiza natančnosti merjenih horizontalnih smeri in zenitnih razdalj nam je pokazala, da ima na natančnost merjenih količin vpliv vsaka posamezna meritve. Zato bi lahko meritev, pri kateri se izkaže odstopanje te meritve za nekoliko večje, izpustili iz obdelave opazovanj in tudi iz izravnave opazovanj. Vendar pa največja sprememba natančnosti med dvema zaporednima girusoma, pri horizontalnih smereh in zenitnih razdaljah, glede na merjeno dolžino, še vedno omogoča določitev položaja nove točke z natančnostjo, ki je znotraj vrednosti, ki jo omogoča merjenje z uporabo ATR-a (ta znaša 2 mm).

Pri dolžinah pa dosežemo večje natančnosti z instrumentom *Leica Geosystems TC2003*, kar je pričakovano, saj omogoča večje natančnosti meritev. Pri instrumentu *Leica Geosystems TCRP1201 R300* se natančnosti z večanjem števila ponovitev bistveno ne povečujejo, spreminjajo pa se dokaj homogeno.

Glede na to, da instrument *Leica Geosystems TC2003* omogoča bolj natančne meritve kotov, večje natančnosti pa dosežemo z instrumentom *Leica Geosystems TCRP1201 R300*, lahko zaključimo, da lahko avtomatsko viziranje tarče (ATR) popolnoma nadomesti delo operaterja. Z avtomatskim viziranjem se izognemo pogrešku viziranja. Ta je pri klasičnih opazovanjih z operaterjem prisoten, saj se pri dolgotrajnih meritvah človeško oko utruji in tako ne zagotavlja več popolne koncentracije, to pa lahko privede do manj natančnejšega viziranja. Pri dolžinah se bolje odnese instrument *Leica Geosystems TC2003*, saj omogoča bolj natančne meritve, te pa so od operaterja načeloma neodvisne. Popolna kombinacija instrumenta bi bila taka, ki bi omogočala avtomatsko viziranje tarče in natančnosti merjenja dolžin, kot jih omogoča instrument *Leica Geosystems TC2003* (ta »predlog« je v praksi že realiziran, saj je *Leica* ponudila tržišču instrument *Leica Geosystems TCRP1201 R1000+*, ki

ima vgrajen elektronski razdaljemer s tehničnim podatkom 1 mm; 1,5 ppm). Avtomatsko viziranje se namreč izkaže kot hitrejši način meritev, kar dodatno zmanjšuje stroške izmere. Glede na klasičen način opazovanj lahko izberemo tudi več girusov, ki jih instrument izmeri v krajšem času kot operater. Glede na dobljene natančnosti bi bilo pri naši izmeri optimalno število girusov deset, saj se od tu naprej natančnosti ne izboljšajo toliko, da bi bilo smotrno opraviti več girusov, v nekaterih primerih pa se v nadalnjih girusih natančnosti celo zmanjšajo, zato bi jih lahko iz obdelave podatkov izpustili.

Rezultati izravnave nam kažejo nekoliko večjo spremembo pri šestnajstih girusih, vendar so razlike reda velikost par desetink milimetra, kar je še vseeno dovolj natančno za tovrstno izmero.

Avtomatsko viziranje tarče se v mreži večjih razsežnosti izkaže kot zanesljivo in omogoča pridobitev večjih natančnosti meritev kot viziranje z operaterjem. Glede na to, da se je instrument z avtomatskim viziranjem tarče izkazal za boljšo izbiro tudi v mreži manjših razsežnosti (Miculinič, 2007), lahko zaključimo, da je instrument z avtomatskim viziranjem v smislu ekonomičnosti, časa izvajanja meritev in natančnosti meritev vsekakor boljša izbira pri meritvah, kjer so zahtevane velike natančnosti meritev.

## VIRI

Bayoud, F. A., 2006. Leica's pinpoint EDM technology with modified signal processing and novel optomechanical features. V: Smith, J.R. XXIII International FIG Congress. Munich, 8-13 October 2006. Heerbrugg, Leica geosystems AG: 16 str.

Grossberg, S., Hawkins, H., Waxman, A. 1995. Introduction: 1995 special issue automatic target recognition. Neural Networks vol. 8, No 7/8: p.1002.

Kogoj, D. 2005. Merjenje dolžin z elektronskimi razdaljemeri. Ljubljana, Univerza v Ljubljani, Fakulteta za gradbeništvo in geodezijo, Oddelek za geodezijo: 159 str.

Kogoj, D. 2004/2005. Zapiski iz predavanj iz predmeta Geodezija II. Ljubljana, Univerza v Ljubljani, Fakulteta za gradbeništvo in geodezijo, Oddelek za geodezijo: 77 str.

Leica TCA1800 / TCA2003 / TC2003 High- performance total station robust precise and universally useful, 2004. Heerbrugg, Switzerland, Leica geosystems AG: 8 str.

Leica TPS1200 User manual, version 2.0, english, 2004. Heerbrugg, Switzerland, Leica geosystems AG.

Leica TPS1200+ A telescope with new opto-mechanical design, 2007. Heerbrugg, Switzerland, Leica geosystems AG.

Mataija Valh, M., Marjetič, A., Kogoj, D., 2008. Avtomatski elektronski tahimetri ali kam vodi razvoj TPS sistemov. Geodetski vestnik, 52/3: 488-499

Miculinič, A. 2007. Primerjava natančnosti meritev, izvedenih klasično in z avtomatskim viziranjem ter analiza rezultatov izravnav. Diplomska naloga. Ljubljana, Univerza v Ljubljani, Fakulteta za gradbeništvo in geodezijo, Oddelek za geodezijo: 81 str.

Močnik, R. 2007. Samodejno viziranje tarč – ATR. Seminarska naloga – podiplomski študij. Ljubljana, Univerza v Ljubljani, Fakulteta za gradbeništvo in geodezijo, Oddelek za geodezijo: 81 str.

Savšek-Safić, S., Kogoj, D., Marjetič, A., Jakljič, S., Stegenšek, B. 2007. 49. izmera NE Krško - Geodetska izmera horizontalnih premikov geodetskih točk. Ljubljana, Univerza v Ljubljani, Fakulteta za gradbeništvo in geodezijo, Oddelek za geodezijo: 19 str.

Singh, R., Artman, D., Brinton, D., Brown, L. 2002. Compensators, Stability check, and Automatic target recognition. Oregon, Oregon department of transportation: 8 str.

Stopar, B. 2006/2007. Zapiski iz predavanj iz predmeta Izravnalni račun III. Ljubljana, Univerza v Ljubljani, Fakulteta za gradbeništvo in geodezijo, Oddelek za geodezijo: 44 str

**Internetni viri:**

Geoservis:

<http://www.geoservis.si>

Leica Geosystems:

<http://www.leica-geosystems.co>

## PRILOGE

## PRILOGA 1: KOPIJA POROČILA O KONTROLI INSTRUMENTA

### LEICA GEOSYSTEMS TCRP1201 R300



Geoservis, d.o.o.  
Litija cesta 45  
1000 Ljubljana

Številka 08173 / 2008  
Stran 1 od 1

tel.: +386 (0)1 586 38 30  
fax: +386 (0)1 586 38 40  
internet: www.geoservis.si  
e-pošta: info@geoservis.si

### POROČILO O PREIZKUSU INSTRUMENTA

|                     |  |
|---------------------|--|
| Naročnik            | UNIVERZA V LJUBLJANI<br>FAKULTETA ZA GRADBENIŠTVO IN GEODEZIJO<br>Jamova 2<br>1000 Ljubljana   |
| Lastnik (imetnik)   | UNIVERZA V LJUBLJANI<br>FAKULTETA ZA GRADBENIŠTVO IN GEODEZIJO<br>Jamova 2<br>1000 Ljubljana   |
| Merilo / instrument | tahimeter  |
| Tip                 | TCRP1201R300   |
| Serijska številka   | 216821   |
| Proizvajalec        | Leica Geosystems AG  |
| Datum kontrole      | 04. 07. 2008   |
| Naslednja kontrola  | 04. 07. 2009<br>Datum naslednje kontrole je podan kot priporočilo. Dejanske intervale kontrole določa uporabnik upoštevaje vrsto, pogostost in pogoje uporabe.   |
| Specifikacija       | Preizkušani instrument ustreza specifikacijam, kot so navedene v originalnih uporabiških navodilih, ki ste jih prejeli ob dobavi.<br>(vezni dokument: DN.: 8517)   |
| Ugotovitev          | Potrjujemo, da je bil naveden instrument preizkušen in ustreza navedenim specifikacijam.<br>Pri preizkusu uporabljena oprema je sledljiva do mednarodnega standarda oziroma je bil preizkus opravljen v skladu s prepozanimi metodami. |

Izvedel:

Andrey Bilban

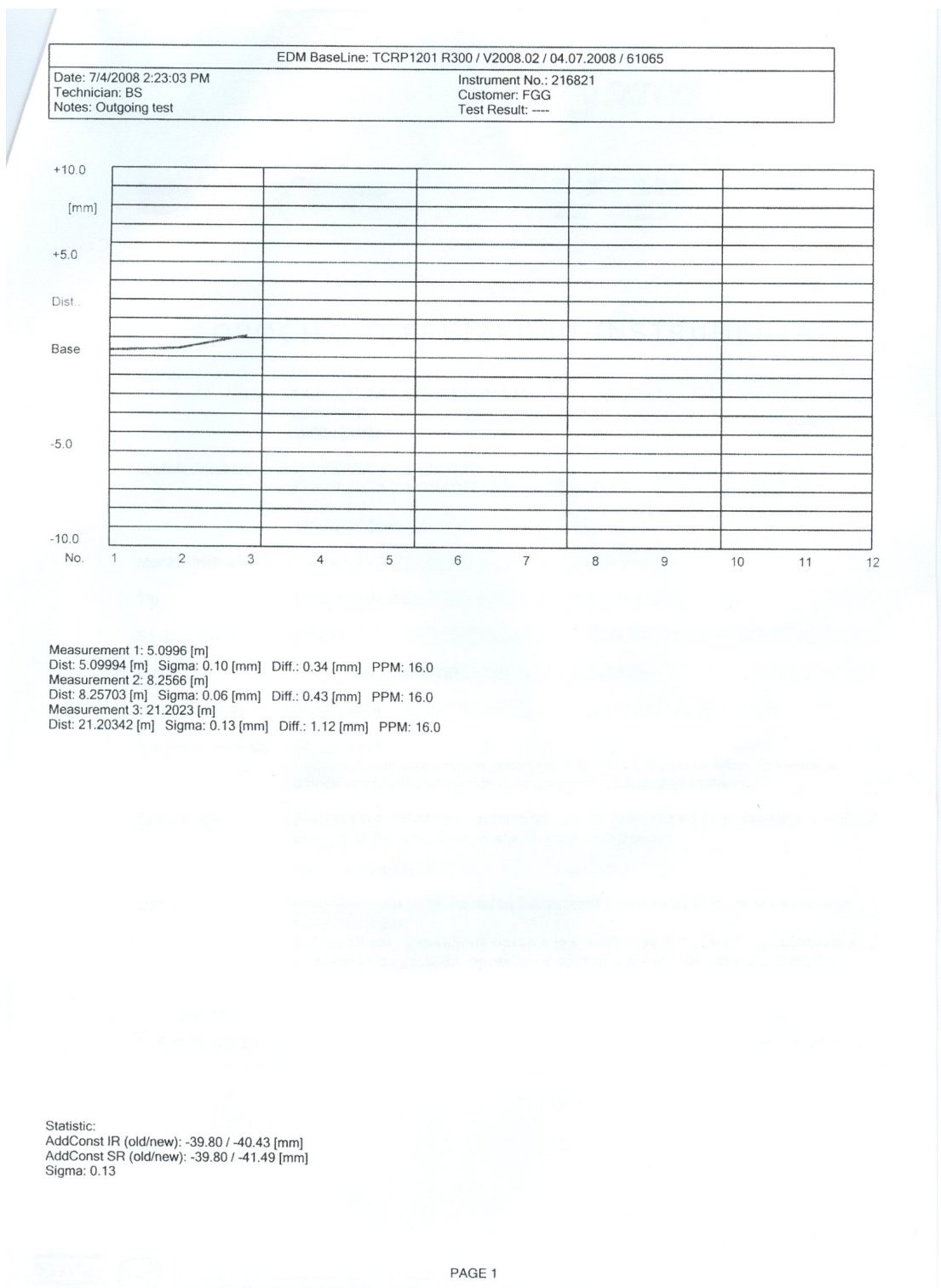
Datum izdaje:

04. 07. 2008



IBAN: SI56 0203 3001 5489 545 SWIFT: LJBASISX Banka: Nova Ljubljanska banka d.d., Ljubljana  
IBAN: SI56 2900 0005 5420 031 SWIFT: BACKS122 Banka: UniCredit Banka Slovenija d.d., Ljubljana

Št. reg. vložka: 1/22124/00  
Okrožno sodišče v Ljubljani  
Osnovni kapital: 29.210,00 EUR  
ID DDV: SI61771945  
Matična številka: 5742994



## PRILOGA 2: KOPIJA POROČILA O KONTROLI INSTRUMENTA

### LEICA GEOSYSTEMS TC2003



#### POROČILO O PREIZKUSU INSTRUMENTA

|                     |  |
|---------------------|--|
| Naročnik            | UNIVERZA V LJUBLJANI<br>FAKULTETA ZA GRADBENIŠTVO IN GEODEZIJO<br>Jamova 2<br>1000 Ljubljana   |
| Lastnik (imetnik)   | UNIVERZA V LJUBLJANI<br>FAKULTETA ZA GRADBENIŠTVO IN GEODEZIJO<br>Jamova 2<br>1000 Ljubljana   |
| Merilo / instrument | tahimeter  |
| Tip                 | TC2003   |
| Serijska številka   | 438260   |
| Proizvajalec        | Leica Geosystems AG  |
| Datum kontrole      | 29. 05. 2008   |
| Naslednja kontrola  | 29. 05. 2009<br>Datum naslednje kontrole je podan kot priporočilo. Dejanske intervale kontrole določa uporabnik upoštevaje vrsto, pogostnost in pogoje uporabe.  |
| Specifikacija       | Preizkušani instrument ustreza specifikacijam, kot so navedene v originalnih uporabniških navodilih, ki ste jih prejeli ob dobavi.<br>(vezni dokument: DN.: 8361)  |
| Ugotovitev          | Potrjujemo, da je bil naveden instrument preizkušen in ustreza navedenim specifikacijam.<br>Pri preizkusu uporabljena oprema je slediljiva do mednarodnega standarda oziroma je bil preizkus opravljen v skladu s prepoznanimi metodami. |

Izvedel:

Andrej Bilban

Datum izdaje:

29. 05. 2008

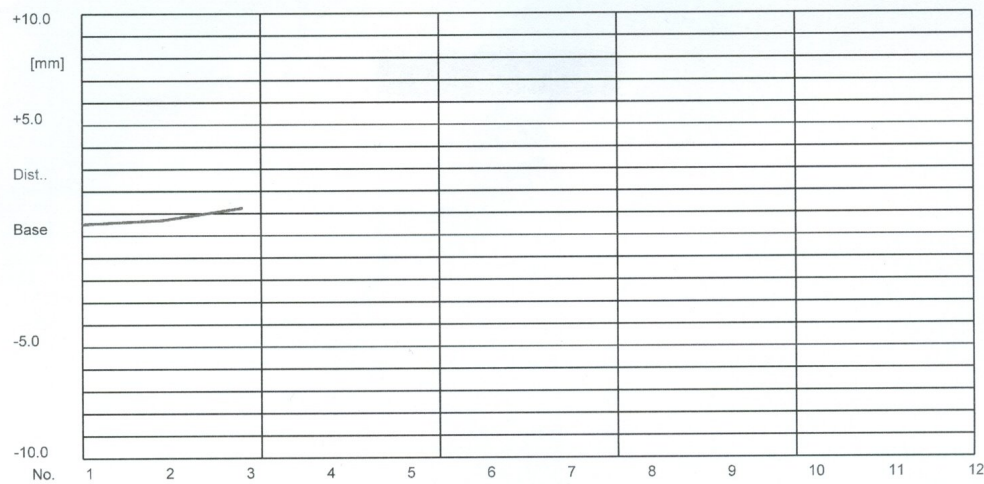


IBAN: SI56 0203 3001 5489 545 SWIFT: LJBASI2X Banka: Nova Ljubljanska banka d.d., Ljubljana  
IBAN: SI56 2900 0005 5420 031 SWIFT: BACXS122 Banka: UniCredit Banka Slovenija d.d., Ljubljana

08154 AD Limiti FCCT TC.2003 438260.doc str.1/1

Št. reg. vložka: 1/22124/00  
Okrožno sodišče v Ljubljani  
Osnovni kapital: 29.210,00 EUR  
ID DDV: S161771945  
Matična številka: 5742994

| EDM BaseLine: TC2003L / V2008.02 / 29.05.2008 / 61065 |                        |                |               |
|---|------------------------|----------------|---------------|
| Date: 5/29/2008 1:51:43 PM                            | Instrument No.: 438260 | Technician: BS | Customer: FGG |
| Notes: Outgoing test                                  | Test Result: ----      |                |               |



Measurement 1: 5.0996 [m]  
Dist: 5.10012 [m] Sigma: 0.07 [mm] Diff.: 0.52 [mm] PPM: 16.0  
Measurement 2: 8.2566 [m]  
Dist: 8.25729 [m] Sigma: 0.05 [mm] Diff.: 0.69 [mm] PPM: 16.0  
Measurement 3: 21.2023 [m]  
Dist: 21.20354 [m] Sigma: 0.12 [mm] Diff.: 1.24 [mm] PPM: 16.0

*stone under*  
Statistic:  
AddConst IR (old/new): -127.40 / -128.22 [mm]  
Sigma: 0.12

## **PRILOGA 3: IZSEK IZ DATOEKE \*.raw**

**PRILOGA 4: PRIMER DATOTEKE \*.fld ZA STOJIŠČE O1 ZA  
MERJENIH 3 GIRUSOV Z INSTRUMENTOM LEICA GEOSYSTEMS  
TCRP1201 R300**

```
1      10      Leica   TPS-1100      Series 01.raw
2      11      27      May       2008
3      51      GR
4      53      M
5      21      XY
6      ;
7      101     O1      0.240  0
8      160     9       6       0
9      111     O2      127.1398    101.1608    230.3762    0
10     111     O4      168.3336    101.3344    202.0723    0
11     111     O5      227.6742    100.9461    245.8868    0
12     111     H1      277.5417    99.8913    233.5537    0
13     111     H2      282.2363    99.8829    227.6093    0
14     111     H3      287.1493    99.8813    222.9648    0
15     111     H4      292.2329    99.8777    219.6779    0
16     111     H5      297.4623    99.879     217.8147    0
17     111     H6      302.7183    99.8801    217.5139    0
18     111     H7      307.5622    99.8821    218.5172    0
19     111     H7      107.5644    300.121     218.5175    0
20     111     H6      102.7202    300.1224   217.5143    0
21     111     H5      97.4647     300.1232   217.8151    0
22     111     H4      92.235     300.1244   219.6781    0
23     111     H3      87.1509     300.1208   222.9647    0
24     111     H2      82.2377     300.1205   227.6087    0
25     111     H1      77.5439     300.1118   233.5536    0
26     111     O5      27.6766     299.0577   245.8865    0
27     111     O4      368.3342    298.6694   202.0718    0
28     111     O2      327.1399    298.8428   230.3762    0
330    ;
29     111     O2      127.1384    101.1607   230.3761    0
30     111     O4      168.3333    101.3349   202.0722    0
31     111     O5      227.6747    100.9459   245.8863    0
32     111     H1      277.5413    99.8918   233.5532    0
33     111     H2      282.2356    99.8826   227.6088    0
34     111     H3      287.149     99.882     222.9647    0
35     111     H4      292.2327    99.8783   219.6777    0
36     111     H5      297.4624    99.8797   217.8148    0
37     111     H6      302.718     99.8799   217.5139    0
38     111     H7      307.5622    99.8815   218.5175    0
39     111     H7      107.5645    300.1211   218.5175    0
40     111     H6      102.72     300.1224   217.5139    0
41     111     H5      97.4641     300.123     217.815     0
42     111     H4      92.2349     300.1241   219.678     0
43     111     H3      87.1508     300.1209   222.965     0
44     111     H2      82.2374     300.12     227.6092    0
45     111     H1      77.5436     300.1118   233.5538    0
46     111     O5      27.6762     299.0576   245.887     0
47     111     O4      368.3345    298.6692   202.0722    0
48     111     O2      327.1394    298.8424   230.3764    0
330    ;
49     111     O2      127.1377    101.1606   230.3763    0
50     111     O4      168.3327    101.3343   202.0722    0
51     111     O5      227.6737    100.946     245.8868    0
```

|     |     |    |          |          |          |   |
|-----|-----|----|----------|----------|----------|---|
| 52  | 111 | H1 | 277.542  | 99.8913  | 233.5534 | 0 |
| 53  | 111 | H2 | 282.236  | 99.8828  | 227.6086 | 0 |
| 54  | 111 | H3 | 287.149  | 99.882   | 222.9648 | 0 |
| 55  | 111 | H4 | 292.2326 | 99.8785  | 219.678  | 0 |
| 56  | 111 | H5 | 297.4624 | 99.8794  | 217.815  | 0 |
| 57  | 111 | H6 | 302.7179 | 99.8799  | 217.5139 | 0 |
| 58  | 111 | H7 | 307.5623 | 99.8814  | 218.5175 | 0 |
| 59  | 111 | H7 | 107.564  | 300.1208 | 218.5176 | 0 |
| 60  | 111 | H6 | 102.7203 | 300.1225 | 217.5142 | 0 |
| 61  | 111 | H5 | 97.4638  | 300.123  | 217.8154 | 0 |
| 62  | 111 | H4 | 92.2342  | 300.1242 | 219.6779 | 0 |
| 63  | 111 | H3 | 87.1506  | 300.1201 | 222.965  | 0 |
| 64  | 111 | H2 | 82.2371  | 300.1203 | 227.6087 | 0 |
| 65  | 111 | H1 | 77.543   | 300.1118 | 233.5536 | 0 |
| 66  | 111 | O5 | 27.6758  | 299.0569 | 245.8875 | 0 |
| 67  | 111 | O4 | 368.3343 | 298.6692 | 202.0723 | 0 |
| 68  | 111 | O2 | 327.1394 | 298.8425 | 230.3763 | 0 |
| 249 | 161 |    |          |          |          |   |
| 331 | 101 | O2 | 0.236 0  |          |          |   |
| 332 | 160 | 10 | 6 0      |          |          |   |
| 333 | 111 | O4 | 37.0317  | 100.0193 | 140.0568 | 0 |
| 334 | 111 | O5 | 52.3688  | 99.8999  | 338.3151 | 0 |
| 335 | 111 | H1 | 79.1783  | 99.3204  | 429.1651 | 0 |
| 336 | 111 | H2 | 81.8463  | 99.3194  | 429.7877 | 0 |
| 337 | 111 | H3 | 84.4993  | 99.3222  | 431.1582 | 0 |
| 338 | 111 | H4 | 87.1283  | 99.3245  | 433.2438 | 0 |
| 339 | 111 | H5 | 89.7419  | 99.3302  | 436.0685 | 0 |
| 340 | 111 | H6 | 92.3023  | 99.3356  | 439.6701 | 0 |
| 341 | 111 | H7 | 94.6302  | 99.343   | 443.5877 | 0 |
| 342 | 111 | O1 | 104.159  | 98.8447  | 230.377  | 0 |
| 343 | 111 | O3 | 381.5217 | 99.9285  | 234.7114 | 0 |
| 344 | 111 | O3 | 181.524  | 300.0738 | 234.7116 | 0 |
| 345 | 111 | O1 | 304.1598 | 301.158  | 230.3771 | 0 |
| 346 | 111 | H7 | 294.631  | 300.6596 | 443.5879 | 0 |
| 347 | 111 | H6 | 292.3036 | 300.6665 | 439.6706 | 0 |
| 348 | 111 | H5 | 289.7431 | 300.6729 | 436.0686 | 0 |
| 349 | 111 | H4 | 287.13   | 300.6782 | 433.244  | 0 |
| 350 | 111 | H3 | 284.5009 | 300.6803 | 431.1581 | 0 |
| 351 | 111 | H2 | 281.8477 | 300.6836 | 429.7874 | 0 |
| 352 | 111 | H1 | 279.1792 | 300.6822 | 429.1654 | 0 |
| 353 | 111 | O5 | 252.3711 | 300.1023 | 338.3149 | 0 |
| 354 | 111 | O4 | 237.0338 | 299.9838 | 140.0569 | 0 |
| 355 | ;   |    |          |          |          |   |
| 356 | 111 | O4 | 37.0315  | 100.0188 | 140.0566 | 0 |
| 357 | 111 | O5 | 52.3695  | 99.9007  | 338.3148 | 0 |
| 358 | 111 | H1 | 79.1785  | 99.3222  | 429.1653 | 0 |
| 359 | 111 | H2 | 81.8459  | 99.3199  | 429.787  | 0 |
| 360 | 111 | H3 | 84.4996  | 99.3225  | 431.158  | 0 |
| 361 | 111 | H4 | 87.13    | 99.325   | 433.2439 | 0 |
| 362 | 111 | H5 | 89.7428  | 99.3304  | 436.0686 | 0 |
| 363 | 111 | H6 | 92.3013  | 99.336   | 439.6702 | 0 |
| 364 | 111 | H7 | 94.6299  | 99.3423  | 443.5879 | 0 |
| 365 | 111 | O1 | 104.1581 | 98.8445  | 230.377  | 0 |
| 366 | 111 | O3 | 381.5216 | 99.9284  | 234.7111 | 0 |
| 367 | 111 | O3 | 181.5238 | 300.0744 | 234.7112 | 0 |
| 368 | 111 | O1 | 304.1596 | 301.1575 | 230.377  | 0 |
| 369 | 111 | H7 | 294.6314 | 300.66   | 443.5875 | 0 |
| 370 | 111 | H6 | 292.3034 | 300.6672 | 439.6704 | 0 |
| 371 | 111 | H5 | 289.743  | 300.6723 | 436.0687 | 0 |
| 372 | 111 | H4 | 287.1305 | 300.678  | 433.244  | 0 |
| 373 | 111 | H3 | 284.5008 | 300.6807 | 431.1579 | 0 |
| 374 | 111 | H2 | 281.8474 | 300.6834 | 429.7874 | 0 |
| 375 | 111 | H1 | 279.1797 | 300.6821 | 429.1652 | 0 |
| 376 | 111 | O5 | 252.3711 | 300.1026 | 338.3148 | 0 |

|     |     |    |          |          |          |   |
|-----|-----|----|----------|----------|----------|---|
| 377 | 111 | O4 | 237.0334 | 299.9841 | 140.0565 | 0 |
| 378 | ;   |    |          |          |          |   |
| 379 | 111 | O4 | 37.0322  | 100.0186 | 140.0569 | 0 |
| 380 | 111 | O5 | 52.3695  | 99.9002  | 338.3153 | 0 |
| 381 | 111 | H1 | 79.1783  | 99.3217  | 429.1655 | 0 |
| 382 | 111 | H2 | 81.8461  | 99.3196  | 429.7873 | 0 |
| 383 | 111 | H3 | 84.4999  | 99.3226  | 431.1577 | 0 |
| 384 | 111 | H4 | 87.1296  | 99.3248  | 433.2438 | 0 |
| 385 | 111 | H5 | 89.742   | 99.3311  | 436.0678 | 0 |
| 386 | 111 | H6 | 92.3017  | 99.3361  | 439.6701 | 0 |
| 387 | 111 | H7 | 94.6298  | 99.3426  | 443.5874 | 0 |
| 388 | 111 | O1 | 104.1577 | 98.8447  | 230.3767 | 0 |
| 389 | 111 | O3 | 381.5222 | 99.9287  | 234.7113 | 0 |
| 390 | 111 | O3 | 181.5239 | 300.0741 | 234.7113 | 0 |
| 391 | 111 | O1 | 304.1598 | 301.1573 | 230.3767 | 0 |
| 392 | 111 | H7 | 294.6316 | 300.66   | 443.5876 | 0 |
| 393 | 111 | H6 | 292.3038 | 300.667  | 439.6702 | 0 |
| 394 | 111 | H5 | 289.7431 | 300.673  | 436.0685 | 0 |
| 395 | 111 | H4 | 287.1304 | 300.6785 | 433.2441 | 0 |
| 396 | 111 | H3 | 284.5008 | 300.6803 | 431.158  | 0 |
| 397 | 111 | H2 | 281.8474 | 300.684  | 429.7873 | 0 |
| 398 | 111 | H1 | 279.1793 | 300.6827 | 429.165  | 0 |
| 399 | 111 | O5 | 252.3714 | 300.1025 | 338.3153 | 0 |
| 400 | 111 | O4 | 237.0334 | 299.984  | 140.0568 | 0 |
| 700 | 161 |    |          |          |          |   |
| 701 | 101 | O3 | 0.237 0  |          |          |   |
| 702 | 160 | 2  | 6 0      |          |          |   |
| 703 | 111 | O5 | 188.5303 | 99.9492  | 315.1776 | 0 |
| 704 | 111 | O4 | 230.497  | 100.1135 | 180.0244 | 0 |
| 705 | 111 | O2 | 271.1158 | 100.0781 | 234.7105 | 0 |
| 706 | 111 | O2 | 71.1172  | 299.9265 | 234.7109 | 0 |
| 707 | 111 | O4 | 30.499   | 299.891  | 180.0239 | 0 |
| 708 | 111 | O5 | 388.5313 | 300.055  | 315.1764 | 0 |
| 330 | ;   |    |          |          |          |   |
| 709 | 111 | O5 | 188.5296 | 99.9489  | 315.1772 | 0 |
| 710 | 111 | O4 | 230.4968 | 100.1132 | 180.0239 | 0 |
| 711 | 111 | O2 | 271.1151 | 100.0777 | 234.7109 | 0 |
| 712 | 111 | O2 | 71.1169  | 299.9263 | 234.7109 | 0 |
| 713 | 111 | O4 | 30.4979  | 299.8913 | 180.024  | 0 |
| 714 | 111 | O5 | 388.5316 | 300.0552 | 315.1772 | 0 |
| 330 | ;   |    |          |          |          |   |
| 715 | 111 | O5 | 188.5302 | 99.9492  | 315.1778 | 0 |
| 716 | 111 | O4 | 230.4965 | 100.1138 | 180.0234 | 0 |
| 717 | 111 | O2 | 271.1154 | 100.0774 | 234.7103 | 0 |
| 718 | 111 | O2 | 71.1171  | 299.9261 | 234.7108 | 0 |
| 719 | 111 | O4 | 30.4989  | 299.8908 | 180.0236 | 0 |
| 720 | 111 | O5 | 388.5321 | 300.0551 | 315.1773 | 0 |
| 799 | 161 |    |          |          |          |   |
| 7   | 101 | O4 | 0.238 0  |          |          |   |
| 8   | 160 | 10 | 6 0      |          |          |   |

## PRILOGA 5: PRIMER POROČILA SETS SUMMARY ZA STOJIŠČE O1 ZA MERJENIH 3 GIRUSOV Z INSTRUMENTOM LEICA GEOSYSTEMS **TCRP1201 R300**

28. May 2008

---

| At O3                             |          |          |            |            |          |
|-----------------------------------|----------|----------|------------|------------|----------|
| To O5 (Backsight reduced to zero) |          |          |            |            |          |
| Horizontal                        |          | Vertical | Face Diff. | Residual   |          |
| 0,00000                           |          | 99,94710 | -0,00420   | 0,00010    |          |
| 0,00000                           |          | 99,94685 | -0,00410   | -0,00015   |          |
| 0,00000                           |          | 99,94705 | -0,00430   | 0,00005    |          |
| Mean of Sets.                     |          |          |            |            |          |
| Horizontal                        |          | Vertical | SD. Vert.  | Range      |          |
| 0,00000                           |          | 99,94700 | 0,00013    | 0,00025    |          |
|                                   | SD Dist. | Range    |            |            |          |
| 315,17725                         | 0,00044  | 0,00140  |            |            |          |
| To O4                             |          |          |            |            |          |
| Horizontal                        | Split    | Residual | Vertical   | Face Diff. | Residual |
| 41,96720                          | 0,00100  | 0,00037  | 100,11125  | -0,00450   | 0,00002  |
| 41,96675                          | -0,00090 | -0,00008 | 100,11095  | -0,00450   | -0,00028 |
| 41,96655                          | 0,00050  | -0,00028 | 100,11150  | -0,00460   | 0,00027  |
| Mean of Sets.                     |          |          |            |            |          |
| Horizontal                        | SD Dir.  | Range    | Vertical   | SD. Vert.  | Range    |
| 41,96683                          | 0,00033  | 0,00065  | 100,11123  | 0,00028    | 0,00055  |
|                                   | SD Dist. | Range    |            |            |          |
| 180,02387                         | 0,00031  | 0,00100  |            |            |          |
| To O2                             |          |          |            |            |          |
| Horizontal                        | Split    | Residual | Vertical   | Face Diff. | Residual |
| 82,58570                          | 0,00040  | 0,00030  | 100,07580  | -0,00460   | 0,00008  |
| 82,58540                          | -0,00020 | -0,00000 | 100,07570  | -0,00400   | -0,00002 |
| 82,58510                          | -0,00020 | -0,00030 | 100,07565  | -0,00350   | -0,00007 |
| Mean of Sets.                     |          |          |            |            |          |
| Horizontal                        | SD Dir.  | Range    | Vertical   | SD. Vert.  | Range    |
| 82,58540                          | 0,00030  | 0,00060  | 100,07572  | 0,00008    | 0,00015  |
|                                   | SD Dist. | Range    |            |            |          |
| 234,71072                         | 0,00023  | 0,00060  |            |            |          |

---

## PRILOGA 6: PRIMERJAVA OPAZOVANIH HORIZONTALNIH SMERI

| stojisko | vizura | ŠTEVILO GIRUSOV |           |           |           |           |           |           |           |           |           |           |           |           |           | TC2003    |
|----------|--------|-----------------|-----------|-----------|-----------|-----------|-----------|-----------|-----------|-----------|-----------|-----------|-----------|-----------|-----------|-----------|
|          |        | 16              | 15        | 14        | 13        | 12        | 11        | 10        | 9         | 8         | 7         | 6         | 5         | 4         | 3         |           |
| O1       | O2     | 0,00000         | 0,00000   | 0,00000   | 0,00000   | 0,00000   | 0,00000   | 0,00000   | 0,00000   | 0,00000   | 0,00000   | 0,00000   | 0,00000   | 0,00000   | 0,00000   | 0,00000   |
|          | O4     | 41,19473        | 41,19473  | 41,19475  | 41,19475  | 41,19474  | 41,19473  | 41,19470  | 41,19469  | 41,19469  | 41,19474  | 41,19472  | 41,19466  | 41,19469  | 41,19467  | 41,19592  |
|          | O5     | 100,53635       | 100,53633 | 100,53632 | 100,53631 | 100,53630 | 100,53629 | 100,53626 | 100,53627 | 100,53627 | 100,53635 | 100,53635 | 100,53621 | 100,53619 | 100,53610 | 100,53993 |
|          | H1     | 150,40372       | 150,40372 | 150,40374 | 150,40375 | 150,40373 | 150,40375 | 150,40372 | 150,40376 | 150,40376 | 150,40383 | 150,40381 | 150,40368 | 150,40362 | 150,40348 | 150,40452 |
|          | H2     | 155,09769       | 155,09768 | 155,09769 | 155,09769 | 155,09769 | 155,09768 | 155,09765 | 155,09764 | 155,09767 | 155,09769 | 155,09767 | 155,09757 | 155,09762 | 155,09758 | 155,09825 |
|          | H3     | 160,01102       | 160,01101 | 160,01100 | 160,01098 | 160,01099 | 160,01099 | 160,01097 | 160,01096 | 160,01096 | 160,01104 | 160,01102 | 160,01092 | 160,01095 | 160,01083 | 160,01126 |
|          | H4     | 165,09486       | 165,09485 | 165,09487 | 165,09486 | 165,09486 | 165,09485 | 165,09483 | 165,09483 | 165,09483 | 165,09486 | 165,09482 | 165,09469 | 165,09472 | 165,09462 | 165,09502 |
| O2       | H5     | 170,32443       | 170,32442 | 170,32443 | 170,32442 | 170,32441 | 170,32440 | 170,32437 | 170,32437 | 170,32439 | 170,32444 | 170,32444 | 170,32427 | 170,32424 | 170,32418 | 170,32410 |
|          | H6     | 175,58009       | 175,58007 | 175,58009 | 175,58008 | 175,58008 | 175,58007 | 175,58007 | 175,58007 | 175,58006 | 175,58012 | 175,58005 | 175,58002 | 175,58002 | 175,57969 |           |
|          | H7     | 180,42443       | 180,42443 | 180,42444 | 180,42443 | 180,42443 | 180,42440 | 180,42442 | 180,42444 | 180,42449 | 180,42444 | 180,42433 | 180,42430 | 180,42417 | 180,42415 |           |
|          | O4     | 0,00000         | 0,00000   | 0,00000   | 0,00000   | 0,00000   | 0,00000   | 0,00000   | 0,00000   | 0,00000   | 0,00000   | 0,00000   | 0,00000   | 0,00000   | 0,00000   |           |
|          | O5     | 15,33751        | 15,33752  | 15,33748  | 15,33748  | 15,33751  | 15,33748  | 15,33747  | 15,33744  | 15,33739  | 15,33742  | 15,33746  | 15,33750  | 15,33757  | 15,33744  |           |
|          | H1     | 42,14592        | 42,14589  | 42,14589  | 42,14590  | 42,14590  | 42,14594  | 42,14595  | 42,14597  | 42,14600  | 42,14598  | 42,14601  | 42,14606  | 42,14622  | 42,14562  |           |
|          | H2     | 44,81391        | 44,81390  | 44,81392  | 44,81391  | 44,81388  | 44,81388  | 44,81384  | 44,81383  | 44,81381  | 44,81377  | 44,81385  | 44,81390  | 44,81406  | 44,81413  | 44,81409  |
| O3       | H3     | 47,46732        | 47,46732  | 47,46730  | 47,46728  | 47,46730  | 47,46730  | 47,46731  | 47,46736  | 47,46735  | 47,46737  | 47,46748  | 47,46760  | 47,46755  | 47,46714  |           |
|          | H4     | 50,09694        | 50,09694  | 50,09694  | 50,09693  | 50,09692  | 50,09695  | 50,09694  | 50,09697  | 50,09699  | 50,09701  | 50,09707  | 50,09713  | 50,09721  | 50,09713  | 50,09707  |
|          | H5     | 52,70994        | 52,70994  | 52,70992  | 52,70991  | 52,70992  | 52,70995  | 52,70994  | 52,70995  | 52,70998  | 52,70992  | 52,70992  | 52,70995  | 52,70998  | 52,71005  |           |
|          | H6     | 55,26979        | 55,26977  | 55,26976  | 55,26975  | 55,26975  | 55,26978  | 55,26974  | 55,26974  | 55,26976  | 55,26974  | 55,26976  | 55,26984  | 55,27002  | 55,26942  |           |
|          | H7     | 57,59784        | 57,59783  | 57,59783  | 57,59783  | 57,59782  | 57,59780  | 57,59778  | 57,59779  | 57,59780  | 57,59774  | 57,59775  | 57,59783  | 57,59796  | 57,59811  |           |
|          | O1     | 67,12627        | 67,12627  | 67,12628  | 67,12629  | 67,12628  | 67,12630  | 67,12631  | 67,12631  | 67,12631  | 67,12626  | 67,12629  | 67,12632  | 67,12635  | 67,12633  | 67,12686  |
|          | O3     | 344,49009       | 344,49008 | 344,49006 | 344,49007 | 344,49007 | 344,49009 | 344,49010 | 344,49011 | 344,49011 | 344,49011 | 344,49011 | 344,49010 | 344,49010 | 344,49190 |           |
| O4       | O5     | 0,00000         | 0,00000   | 0,00000   | 0,00000   | 0,00000   | 0,00000   | 0,00000   | 0,00000   | 0,00000   | 0,00000   | 0,00000   | 0,00000   | 0,00000   | 0,00000   |           |
|          | O4     | 41,96690        | 41,96691  | 41,96686  | 41,96685  | 41,96688  | 41,96681  | 41,96673  | 41,96670  | 41,96663  | 41,96664  | 41,96663  | 41,96673  | 41,96680  | 41,96683  | 41,96787  |
|          | O2     | 82,58518        | 82,58518  | 82,58517  | 82,58517  | 82,58518  | 82,58518  | 82,58516  | 82,58514  | 82,58514  | 82,58509  | 82,58511  | 82,58510  | 82,58530  | 82,58540  | 82,58730  |
|          | O5     | 0,00000         | 0,00000   | 0,00000   | 0,00000   | 0,00000   | 0,00000   | 0,00000   | 0,00000   | 0,00000   | 0,00000   | 0,00000   | 0,00000   | 0,00000   | 0,00000   |           |
|          | H1     | 33,18396        | 33,18395  | 33,18395  | 33,18400  | 33,18400  | 33,18400  | 33,18398  | 33,18402  | 33,18406  | 33,18409  | 33,18410  | 33,18420  | 33,18425  | 33,18443  | 33,18390  |
|          | H2     | 36,47188        | 36,47190  | 36,47191  | 36,47196  | 36,47197  | 36,47195  | 36,47193  | 36,47193  | 36,47191  | 36,47193  | 36,47191  | 36,47200  | 36,47203  | 36,47225  | 36,47106  |
|          | H3     | 39,64569        | 39,64570  | 39,64568  | 39,64572  | 39,64570  | 39,64570  | 39,64566  | 39,64564  | 39,64565  | 39,64565  | 39,64572  | 39,64576  | 39,64579  | 39,64457  | 39,64473  |
| O5       | H4     | 42,69647        | 42,69650  | 42,69650  | 42,69651  | 42,69651  | 42,69648  | 42,69648  | 42,69648  | 42,69649  | 42,69647  | 42,69649  | 42,69654  | 42,69657  | 42,69651  | 42,69601  |
|          | H5     | 45,63531        | 45,63531  | 45,63531  | 45,63536  | 45,63536  | 45,63535  | 45,63533  | 45,63534  | 45,63538  | 45,63541  | 45,63551  | 45,63555  | 45,63550  | 45,63518  |           |
|          | H6     | 48,42218        | 48,42219  | 48,42223  | 48,42222  | 48,42222  | 48,42220  | 48,42220  | 48,42224  | 48,42224  | 48,42227  | 48,42227  | 48,42227  | 48,42232  | 48,42158  |           |
|          | H7     | 50,88432        | 50,88432  | 50,88430  | 50,88430  | 50,88430  | 50,88429  | 50,88427  | 50,88419  | 50,88422  | 50,88424  | 50,88422  | 50,88424  | 50,88411  | 50,88417  | 50,88420  |
|          | O1     | 82,56177        | 82,56178  | 82,56178  | 82,56178  | 82,56178  | 82,56177  | 82,56172  | 82,56171  | 82,56169  | 82,56169  | 82,56170  | 82,56169  | 82,56167  | 82,56167  | 82,56223  |
|          | O2     | 174,24140       | 174,24140 | 174,24141 | 174,24145 | 174,24144 | 174,24141 | 174,24141 | 174,24141 | 174,24142 | 174,24144 | 174,24144 | 174,24148 | 174,24156 | 174,24160 | 174,24232 |
|          | O3     | 278,11300       | 278,11304 | 278,11303 | 278,11307 | 278,11308 | 278,11303 | 278,11299 | 278,11297 | 278,11295 | 278,11296 | 278,11294 | 278,11293 | 278,11290 | 278,11365 |           |
| O6       | O4     | 0,00000         | 0,00000   | 0,00000   | 0,00000   | 0,00000   | 0,00000   | 0,00000   | 0,00000   | 0,00000   | 0,00000   | 0,00000   | 0,00000   | 0,00000   | 0,00000   |           |
|          | O3     | 36,14574        | 36,14571  | 36,14566  | 36,14567  | 36,14565  | 36,14562  | 36,14559  | 36,14563  | 36,14562  | 36,14556  | 36,14551  | 36,14540  | 36,14541  | 36,14540  | 36,14365  |
|          | H1     | 270,78224       | 270,78223 | 270,78222 | 270,78225 | 270,78220 | 270,78229 | 270,78231 | 270,78235 | 270,78241 | 270,78246 | 270,78246 | 270,78233 | 270,78227 | 270,78230 | 270,77938 |
|          | H2     | 274,53710       | 274,53706 | 274,53703 | 274,53705 | 274,53707 | 274,53711 | 274,53709 | 274,53714 | 274,53719 | 274,53715 | 274,53712 | 274,53705 | 274,53703 | 274,53492 |           |
|          | H3     | 277,78051       | 277,78050 | 277,78048 | 277,78052 | 277,78053 | 277,78052 | 277,78047 | 277,78051 | 277,78049 | 277,78051 | 277,78043 | 277,78037 | 277,78035 | 277,78037 | 277,77851 |
|          | H4     | 280,60123       | 280,60120 | 280,60118 | 280,60120 | 280,60120 | 280,60123 | 280,60124 | 280,60124 | 280,60128 | 280,60126 | 280,60126 | 280,60116 | 280,60123 | 280,60132 | 280,59918 |
|          | H5     | 283,07885       | 283,07880 | 283,07878 | 283,07878 | 283,07878 | 283,07881 | 283,07878 | 283,07882 | 283,07889 | 283,07895 | 283,07891 | 283,07883 | 283,07880 | 283,07867 | 283,07737 |
| O7       | H6     | 285,22866       | 285,22861 | 285,22860 | 285,22864 | 285,22865 | 285,22865 | 285,22859 | 285,22863 | 285,22867 | 285,22869 | 285,22869 | 285,22854 | 285,22857 | 285,22866 |           |
|          | H7     | 287,00056       | 287,00054 | 287,00052 | 287,00051 | 287,00053 | 287,00055 | 287,00053 | 287,00058 | 287,00061 | 287,00064 | 287,00056 | 287,00047 | 287,00047 | 286,99932 |           |
|          | O1     | 341,90293       | 341,90293 | 341,90293 | 341,90293 | 341,90293 | 341,90295 | 341,90287 | 341,90293 | 341,90291 | 341,90291 | 341,90292 | 341,90272 | 341,90277 | 341,90255 | 341,90418 |
|          | O2     | 389,57838       | 389,57835 | 389,57830 | 389,57833 | 389,57832 | 389,57833 | 389,57832 | 389,57841 | 389,57845 | 389,57848 | 389,57842 | 389,57840 | 389,57839 | 389,57848 | 389,57892 |

## PRILOGA 7: PRIMERJAVA OPAZOVANIH ZENITNIH RAZDALJ

| stojišče | vizura | ŠTEVILO GIRUŠOV |           |           |           |           |           |           |           |           |           |           |           |           |           | TC2003    |
|----------|--------|-----------------|-----------|-----------|-----------|-----------|-----------|-----------|-----------|-----------|-----------|-----------|-----------|-----------|-----------|-----------|
|          |        | 16              | 15        | 14        | 13        | 12        | 11        | 10        | 9         | 8         | 7         | 6         | 5         | 4         | 3         |           |
| O1       | O2     | 101,15893       | 101,15891 | 101,15891 | 101,15892 | 101,15891 | 101,15891 | 101,15894 | 101,15897 | 101,15899 | 101,15900 | 101,15902 | 101,15901 | 101,15907 | 101,15929 |           |
|          | O4     | 101,33239       | 101,33238 | 101,33238 | 101,33239 | 101,33240 | 101,33243 | 101,33244 | 101,33246 | 101,33249 | 101,33252 | 101,33256 | 101,33260 | 101,33257 | 101,33263 | 101,3326  |
|          | O5     | 100,94426       | 100,94425 | 100,94425 | 100,94427 | 100,94429 | 100,94430 | 100,94430 | 100,94431 | 100,94427 | 100,94428 | 100,94428 | 100,94429 | 100,94431 | 100,94430 | 100,94403 |
|          | H1     | 99,88998        | 99,88997  | 99,88998  | 99,88997  | 99,88995  | 99,88995  | 99,88996  | 99,88994  | 99,88986  | 99,88985  | 99,88987  | 99,88982  | 99,88983  | 99,89044  |           |
|          | H2     | 99,88129        | 99,88128  | 99,88127  | 99,88128  | 99,88128  | 99,88127  | 99,88127  | 99,88126  | 99,88126  | 99,88123  | 99,88126  | 99,88125  | 99,88121  | 99,88125  | 99,88232  |
|          | H3     | 99,88077        | 99,88076  | 99,88075  | 99,88074  | 99,88073  | 99,88073  | 99,88073  | 99,88072  | 99,88069  | 99,88065  | 99,88060  | 99,88059  | 99,88055  | 99,88058  | 99,88119  |
|          | H4     | 99,87705        | 99,87705  | 99,87705  | 99,87707  | 99,87708  | 99,87709  | 99,87711  | 99,87711  | 99,87707  | 99,87704  | 99,87704  | 99,87700  | 99,87697  | 99,87697  | 99,87783  |
|          | H5     | 99,87819        | 99,87820  | 99,87821  | 99,87820  | 99,87820  | 99,87821  | 99,87819  | 99,87819  | 99,87817  | 99,87816  | 99,87817  | 99,87816  | 99,87815  | 99,87893  |           |
|          | H6     | 99,87852        | 99,87851  | 99,87850  | 99,87852  | 99,87850  | 99,87852  | 99,87854  | 99,87853  | 99,87854  | 99,87859  | 99,87859  | 99,87870  | 99,87875  | 99,87877  | 99,87916  |
|          | H7     | 99,88022        | 99,88021  | 99,88021  | 99,88022  | 99,88024  | 99,88025  | 99,88026  | 99,88026  | 99,88028  | 99,88028  | 99,88030  | 99,88032  | 99,88035  | 99,88035  | 99,88172  |
| O2       | O4     | 100,01752       | 100,01752 | 100,01753 | 100,01753 | 100,01754 | 100,01752 | 100,01753 | 100,01752 | 100,01751 | 100,01748 | 100,01748 | 100,01747 | 100,01747 | 100,01708 |           |
|          | O5     | 99,89890        | 99,89898  | 99,89888  | 99,89890  | 99,89889  | 99,89890  | 99,89891  | 99,89891  | 99,89890  | 99,89891  | 99,89892  | 99,89891  | 99,89890  | 99,89890  | 99,89782  |
|          | H1     | 99,31973        | 99,31972  | 99,31970  | 99,31966  | 99,31966  | 99,31966  | 99,31966  | 99,31966  | 99,31959  | 99,31961  | 99,31961  | 99,31962  | 99,31960  | 99,31955  | 99,31990  |
|          | H2     | 99,31785        | 99,31786  | 99,31785  | 99,31785  | 99,31785  | 99,31787  | 99,31786  | 99,31787  | 99,31785  | 99,31788  | 99,31791  | 99,31790  | 99,31790  | 99,31786  |           |
|          | H3     | 99,32114        | 99,32114  | 99,32113  | 99,32112  | 99,32113  | 99,32112  | 99,32112  | 99,32113  | 99,32109  | 99,32108  | 99,32106  | 99,32106  | 99,32105  | 99,32100  | 99,32112  |
|          | H4     | 99,32342        | 99,32342  | 99,32343  | 99,32338  | 99,32339  | 99,32338  | 99,32338  | 99,32338  | 99,32337  | 99,32337  | 99,32338  | 99,32339  | 99,32336  | 99,32327  | 99,32346  |
|          | H5     | 99,32898        | 99,32902  | 99,32900  | 99,32898  | 99,32898  | 99,32896  | 99,32894  | 99,32894  | 99,32894  | 99,32897  | 99,32897  | 99,32895  | 99,32889  | 99,32892  | 99,32918  |
|          | H6     | 99,33476        | 99,33475  | 99,33474  | 99,33473  | 99,33473  | 99,33474  | 99,33472  | 99,33471  | 99,33472  | 99,33469  | 99,33466  | 99,33462  | 99,33453  | 99,33450  | 99,33498  |
|          | H7     | 99,34129        | 99,34131  | 99,34133  | 99,34132  | 99,34133  | 99,34132  | 99,34133  | 99,34133  | 99,34134  | 99,34134  | 99,34139  | 99,34141  | 99,34144  | 99,34138  | 99,34108  |
| O3       | O1     | 98,84358        | 98,84358  | 98,84356  | 98,84358  | 98,84360  | 98,84360  | 98,84359  | 98,84358  | 98,84359  | 98,84355  | 98,84353  | 98,84353  | 98,84355  | 98,84352  | 98,84290  |
|          | O3     | 99,92725        | 99,92726  | 99,92725  | 99,92727  | 99,92727  | 99,92730  | 99,92729  | 99,92730  | 99,92730  | 99,92728  | 99,92727  | 99,92725  | 99,92724  | 99,92722  | 99,92638  |
|          | O5     | 99,94723        | 99,94720  | 99,94717  | 99,94716  | 99,94717  | 99,94705  | 99,94697  | 99,94693  | 99,94696  | 99,94698  | 99,94701  | 99,94699  | 99,94699  | 99,94700  | 99,94706  |
| O3       | O4     | 100,11147       | 100,11140 | 100,11149 | 100,11146 | 100,11148 | 100,11144 | 100,11144 | 100,11144 | 100,11144 | 100,11139 | 100,11135 | 100,11135 | 100,11131 | 100,11123 | 100,11165 |
|          | O2     | 100,07584       | 100,07583 | 100,07582 | 100,07579 | 100,07580 | 100,07579 | 100,07578 | 100,07575 | 100,07576 | 100,07573 | 100,07570 | 100,07569 | 100,07565 | 100,07572 | 100,07637 |
| O4       | O5     | 99,82052        | 99,82053  | 99,82054  | 99,82055  | 99,82058  | 99,82064  | 99,82068  | 99,82070  | 99,82075  | 99,82081  | 99,82085  | 99,82082  | 99,82082  | 99,82118  | 99,82032  |
|          | H1     | 99,10864        | 99,10864  | 99,10863  | 99,10862  | 99,10866  | 99,10867  | 99,10871  | 99,10874  | 99,10873  | 99,10881  | 99,10882  | 99,10890  | 99,10895  | 99,10912  |           |
|          | H2     | 99,11882        | 99,11882  | 99,11882  | 99,11885  | 99,11886  | 99,11886  | 99,11886  | 99,11891  | 99,11896  | 99,11906  | 99,11906  | 99,11908  | 99,11912  | 99,11924  | 99,11915  |
|          | H3     | 99,13654        | 99,13655  | 99,13654  | 99,13654  | 99,13656  | 99,13656  | 99,13659  | 99,13663  | 99,13663  | 99,13669  | 99,13674  | 99,13681  | 99,13681  | 99,13687  | 99,13630  |
|          | H4     | 99,15268        | 99,15270  | 99,15270  | 99,15270  | 99,15272  | 99,15272  | 99,15277  | 99,15282  | 99,15282  | 99,15287  | 99,15291  | 99,15296  | 99,15305  | 99,15307  | 99,15267  |
|          | H5     | 99,17275        | 99,17274  | 99,17276  | 99,17276  | 99,17276  | 99,17279  | 99,17286  | 99,17288  | 99,17288  | 99,17294  | 99,17301  | 99,17309  | 99,17308  | 99,17311  | 99,17320  |
|          | H6     | 99,19250        | 99,19248  | 99,19250  | 99,19251  | 99,19252  | 99,19255  | 99,19255  | 99,19257  | 99,19257  | 99,19256  | 99,19256  | 99,19258  | 99,19254  | 99,19266  | 99,19265  |
|          | H7     | 99,21169        | 99,21169  | 99,21169  | 99,21169  | 99,21169  | 99,21175  | 99,21175  | 99,21176  | 99,21176  | 99,21179  | 99,21184  | 99,21186  | 99,21187  | 99,21194  | 99,21212  |
|          | O1     | 98,66977        | 98,66978  | 98,66979  | 98,66982  | 98,66982  | 98,66982  | 98,66980  | 98,66981  | 98,66981  | 98,66982  | 98,66982  | 98,66983  | 98,66983  | 98,66987  | 98,66889  |
| O5       | O2     | 99,98404        | 99,98406  | 99,98406  | 99,98404  | 99,98405  | 99,98405  | 99,98405  | 99,98407  | 99,98402  | 99,98412  | 99,98412  | 99,98413  | 99,98412  | 99,98407  | 99,98286  |
|          | O3     | 99,89177        | 99,89174  | 99,89175  | 99,89175  | 99,89179  | 99,89182  | 99,89181  | 99,89186  | 99,89180  | 99,89178  | 99,89177  | 99,89173  | 99,89166  | 99,89147  |           |
|          | O4     | 100,18330       | 100,18337 | 100,18337 | 100,18338 | 100,18335 | 100,18326 | 100,18323 | 100,18322 | 100,18318 | 100,18324 | 100,18332 | 100,18333 | 100,18329 | 100,18317 | 100,18285 |
|          | O3     | 100,05818       | 100,05820 | 100,05822 | 100,05823 | 100,05822 | 100,05818 | 100,05816 | 100,05813 | 100,05816 | 100,05814 | 100,05817 | 100,05813 | 100,05812 | 100,05714 |           |
|          | H1     | 98,59500        | 98,59500  | 98,59505  | 98,59506  | 98,59506  | 98,59507  | 98,59509  | 98,59510  | 98,59510  | 98,59502  | 98,59497  | 98,59491  | 98,59502  | 98,59510  |           |
| O5       | H2     | 98,68905        | 98,68905  | 98,68906  | 98,68907  | 98,68911  | 98,68913  | 98,68914  | 98,68914  | 98,68913  | 98,68918  | 98,68919  | 98,68912  | 98,68915  | 98,68899  |           |
|          | H3     | 98,78226        | 98,78226  | 98,78227  | 98,78229  | 98,78232  | 98,78233  | 98,78234  | 98,78234  | 98,78235  | 98,78234  | 98,78236  | 98,78230  | 98,78223  | 98,78164  |           |
|          | H4     | 98,86133        | 98,86134  | 98,86139  | 98,86142  | 98,86142  | 98,86141  | 98,86143  | 98,86141  | 98,86140  | 98,86142  | 98,86134  | 98,86120  | 98,86120  | 98,86124  |           |
|          | H5     | 98,93661        | 98,93662  | 98,93665  | 98,93667  | 98,93666  | 98,93669  | 98,93672  | 98,93670  | 98,93674  | 98,93678  | 98,93678  | 98,93670  | 98,93663  | 98,93583  |           |
|          | H6     | 99,00247        | 99,00248  | 99,00251  | 99,00254  | 99,00255  | 99,00255  | 99,00253  | 99,00258  | 99,00259  | 99,00259  | 99,00257  | 99,00255  | 99,00250  | 99,00252  | 99,00245  |
|          | H7     | 99,05793        | 99,05800  | 99,05804  | 99,05805  | 99,05808  | 99,05807  | 99,05802  | 99,05804  | 99,05806  | 99,05805  | 99,05798  | 99,05792  | 99,05785  | 99,05709  |           |
|          | O1     | 99,05868        | 99,05873  | 99,05877  | 99,05878  | 99,05881  | 99,05877  | 99,05880  | 99,05881  | 99,05883  | 99,05882  | 99,05891  | 99,05891  | 99,05887  | 99,05871  |           |
|          | O2     | 100,10607       | 100,10611 | 100,10615 | 100,10619 | 100,10618 | 100,10616 | 100,10613 | 100,10619 | 100,10624 | 100,10621 | 100,10619 | 100,10618 | 100,10626 | 100,10624 |           |

## PRILOGA 8: PRIMERJAVA OPAZOVANIH DOLŽIN

| stojišče | vizura | ŠTEVILO GIRUŠOV |           |           |           |           |           |           |           |           |           |           |           |           |           | TC2003    |  |
|----------|--------|-----------------|-----------|-----------|-----------|-----------|-----------|-----------|-----------|-----------|-----------|-----------|-----------|-----------|-----------|-----------|--|
|          |        | TCRP1201        |           |           |           |           |           |           |           |           |           |           |           |           |           |           |  |
|          |        | 16              | 15        | 14        | 13        | 12        | 11        | 10        | 9         | 8         | 7         | 6         | 5         | 4         | 3         |           |  |
| O1       | O2     | 230,37653       | 230,37652 | 230,37651 | 230,37652 | 230,37651 | 230,37650 | 230,37648 | 230,37648 | 230,37646 | 230,37649 | 230,37648 | 230,37637 | 230,37633 | 230,37625 | 230,37643 |  |
|          | O4     | 202,07222       | 202,07222 | 202,07221 | 202,07220 | 202,07220 | 202,07218 | 202,07220 | 202,07219 | 202,07218 | 202,07218 | 202,07219 | 202,07216 | 202,07218 | 202,07217 | 202,07187 |  |
|          | O5     | 245,88693       | 245,88692 | 245,88690 | 245,88691 | 245,88690 | 245,88689 | 245,88686 | 245,88684 | 245,88684 | 245,88681 | 245,88686 | 245,88688 | 245,88684 | 245,88682 | 245,88687 |  |
|          | H1     | 233,55372       | 233,55370 | 233,55368 | 233,55368 | 233,55367 | 233,55365 | 233,55365 | 233,55365 | 233,55363 | 233,55359 | 233,55358 | 233,55356 | 233,55351 | 233,55355 | 233,5534  |  |
|          | H2     | 227,60912       | 227,60911 | 227,60909 | 227,60909 | 227,60906 | 227,60905 | 227,60905 | 227,60904 | 227,60901 | 227,60901 | 227,60896 | 227,60896 | 227,60884 | 227,60888 | 227,6086  |  |
|          | H3     | 222,96493       | 222,96493 | 222,96491 | 222,96490 | 222,96489 | 222,96487 | 222,96485 | 222,96483 | 222,96484 | 222,96483 | 222,96483 | 222,96485 | 222,96483 | 222,96485 | 222,96465 |  |
|          | H4     | 219,67815       | 219,67814 | 219,67812 | 219,67812 | 219,67814 | 219,67814 | 219,67816 | 219,67817 | 219,67812 | 219,67812 | 219,67811 | 219,67805 | 219,67793 | 219,67777 |           |  |
|          | H5     | 217,81499       | 217,81499 | 217,81498 | 217,81498 | 217,81497 | 217,81496 | 217,81496 | 217,81497 | 217,81496 | 217,81497 | 217,81498 | 217,81501 | 217,81500 | 217,81487 |           |  |
|          | H6     | 217,51411       | 217,51410 | 217,51408 | 217,51407 | 217,51410 | 217,51409 | 217,51408 | 217,51410 | 217,51410 | 217,51411 | 217,51406 | 217,51411 | 217,51408 | 217,51402 | 217,51365 |  |
|          | H7     | 218,51751       | 218,51751 | 218,51750 | 218,51750 | 218,51750 | 218,51753 | 218,51752 | 218,51751 | 218,51750 | 218,51749 | 218,51751 | 218,51746 | 218,51747 | 218,5172  |           |  |
| O2       | O4     | 140,05679       | 140,05680 | 140,05680 | 140,05680 | 140,05680 | 140,05679 | 140,05681 | 140,05679 | 140,05679 | 140,05679 | 140,05677 | 140,05677 | 140,05675 | 140,05657 |           |  |
|          | O5     | 338,31515       | 338,31516 | 338,31517 | 338,31518 | 338,31518 | 338,31520 | 338,31520 | 338,31520 | 338,31518 | 338,31518 | 338,31510 | 338,31506 | 338,31501 | 338,31503 | 338,31480 |  |
|          | H1     | 429,16635       | 429,16635 | 429,16635 | 429,16634 | 429,16635 | 429,16635 | 429,16635 | 429,16635 | 429,16635 | 429,16636 | 429,16529 | 429,16532 | 429,16530 | 429,16507 |           |  |
|          | H2     | 429,78737       | 429,78738 | 429,78738 | 429,78738 | 429,78738 | 429,78740 | 429,78740 | 429,78739 | 429,78736 | 429,78734 | 429,78737 | 429,78737 | 429,78735 | 429,78713 |           |  |
|          | H3     | 431,15794       | 431,15795 | 431,15795 | 431,15796 | 431,15795 | 431,15796 | 431,15796 | 431,15796 | 431,15796 | 431,15796 | 431,15797 | 431,15798 | 431,15799 | 431,15798 | 431,15762 |  |
|          | H4     | 433,24392       | 433,24393 | 433,24396 | 433,24397 | 433,24399 | 433,24399 | 433,24400 | 433,24401 | 433,24400 | 433,24403 | 433,24403 | 433,24398 | 433,24393 | 433,24393 | 433,24355 |  |
|          | H5     | 436,06856       | 436,06857 | 436,06856 | 436,06856 | 436,06856 | 436,06857 | 436,06857 | 436,06858 | 436,06857 | 436,06855 | 436,06857 | 436,06853 | 436,06854 | 436,06849 | 436,06805 |  |
|          | H6     | 439,67027       | 439,67027 | 439,67030 | 439,67030 | 439,67030 | 439,67030 | 439,67033 | 439,67033 | 439,67033 | 439,67034 | 439,67032 | 439,67025 | 439,67025 | 439,67013 |           |  |
|          | H7     | 443,58761       | 443,58762 | 443,58761 | 443,58762 | 443,58763 | 443,58765 | 443,58766 | 443,58764 | 443,58765 | 443,58764 | 443,58765 | 443,58764 | 443,58764 | 443,58767 | 443,58717 |  |
|          | O1     | 230,37691       | 230,37692 | 230,37692 | 230,37693 | 230,37694 | 230,37694 | 230,37695 | 230,37693 | 230,37693 | 230,37694 | 230,37694 | 230,37693 | 230,37694 | 230,37692 | 230,37653 |  |
|          | O3     | 234,71118       | 234,71118 | 234,71118 | 234,71119 | 234,71119 | 234,71119 | 234,71119 | 234,71118 | 234,71118 | 234,71120 | 234,71120 | 234,71123 | 234,71126 | 234,71132 | 234,71085 |  |
| O3       | O5     | 315,17713       | 315,17713 | 315,17712 | 315,17715 | 315,17715 | 315,17715 | 315,17716 | 315,17721 | 315,17723 | 315,17724 | 315,17725 | 315,17725 | 315,17725 | 315,17785 |           |  |
|          | O4     | 180,02385       | 180,02384 | 180,02383 | 180,02380 | 180,02383 | 180,02383 | 180,02384 | 180,02384 | 180,02381 | 180,02382 | 180,02382 | 180,02381 | 180,02386 | 180,02386 | 180,02412 |  |
|          | O2     | 234,71077       | 234,71075 | 234,71075 | 234,71076 | 234,71076 | 234,71076 | 234,71078 | 234,71078 | 234,71078 | 234,71078 | 234,71074 | 234,71075 | 234,71075 | 234,71072 | 234,71123 |  |
| O4       | O5     | 205,04563       | 205,04563 | 205,04563 | 205,04563 | 205,04563 | 205,04562 | 205,04562 | 205,04560 | 205,04560 | 205,04561 | 205,04560 | 205,04559 | 205,04559 | 205,04556 | 205,04557 |  |
|          | H1     | 330,12824       | 330,12825 | 330,12823 | 330,12823 | 330,12823 | 330,12822 | 330,12822 | 330,12821 | 330,12823 | 330,12822 | 330,12823 | 330,12825 | 330,12825 | 330,12824 | 330,12830 |  |
|          | H2     | 335,50694       | 335,50694 | 335,50693 | 335,50692 | 335,50690 | 335,50690 | 335,50690 | 335,50689 | 335,50689 | 335,50687 | 335,50688 | 335,50685 | 335,50685 | 335,50685 | 335,50747 |  |
|          | H3     | 341,74420       | 341,74420 | 341,74418 | 341,74417 | 341,74416 | 341,74415 | 341,74415 | 341,74414 | 341,74414 | 341,74413 | 341,74416 | 341,74417 | 341,74413 | 341,74414 | 341,74420 |  |
|          | H4     | 348,76724       | 348,76722 | 348,76723 | 348,76723 | 348,76726 | 348,76726 | 348,76723 | 348,76721 | 348,76721 | 348,76724 | 348,76724 | 348,76724 | 348,76727 | 348,76743 |           |  |
|          | H5     | 356,59143       | 356,59142 | 356,59141 | 356,59142 | 356,59141 | 356,59143 | 356,59143 | 356,59141 | 356,59142 | 356,59143 | 356,59136 | 356,59135 | 356,59137 | 356,59137 | 356,59175 |  |
|          | H6     | 365,16108       | 365,16108 | 365,16109 | 365,16108 | 365,16109 | 365,16109 | 365,16109 | 365,16108 | 365,16109 | 365,16111 | 365,16111 | 365,16110 | 365,16112 | 365,16110 | 365,16127 |  |
|          | H7     | 373,64934       | 373,64933 | 373,64933 | 373,64931 | 373,64934 | 373,64931 | 373,64932 | 373,64932 | 373,64933 | 373,64934 | 373,64936 | 373,64938 | 373,64935 | 373,64937 | 373,64952 |  |
|          | O1     | 202,07229       | 202,07229 | 202,07228 | 202,07228 | 202,07228 | 202,07226 | 202,07226 | 202,07226 | 202,07226 | 202,07226 | 202,07227 | 202,07229 | 202,07229 | 202,07234 | 202,07215 |  |
|          | O2     | 140,05671       | 140,05670 | 140,05669 | 140,05670 | 140,05670 | 140,05668 | 140,05668 | 140,05666 | 140,05666 | 140,05668 | 140,05666 | 140,05663 | 140,05663 | 140,05663 | 140,05687 |  |
|          | O3     | 180,02417       | 180,02416 | 180,02415 | 180,02415 | 180,02414 | 180,02414 | 180,02412 | 180,02411 | 180,02411 | 180,02411 | 180,02408 | 180,02410 | 180,02414 | 180,02408 | 180,02423 |  |
| O5       | O4     | 205,04377       | 205,04375 | 205,04374 | 205,04372 | 205,04371 | 205,04370 | 205,04372 | 205,04374 | 205,04374 | 205,04373 | 205,04375 | 205,04374 | 205,04374 | 205,04365 | 205,04352 |  |
|          | O3     | 315,17558       | 315,17556 | 315,17555 | 315,17553 | 315,17553 | 315,17553 | 315,17553 | 315,17553 | 315,17553 | 315,17553 | 315,17556 | 315,17557 | 315,17557 | 315,17557 | 315,17547 |  |
|          | H1     | 183,38779       | 183,38779 | 183,38777 | 183,38776 | 183,38775 | 183,38774 | 183,38774 | 183,38774 | 183,38774 | 183,38774 | 183,38774 | 183,38774 | 183,38781 | 183,38781 | 183,38733 |  |
|          | H2     | 197,46798       | 197,46796 | 197,46796 | 197,46795 | 197,46796 | 197,46796 | 197,46796 | 197,46797 | 197,46797 | 197,46797 | 197,46798 | 197,46798 | 197,46802 | 197,46801 | 197,46765 |  |
|          | H3     | 212,13086       | 212,13083 | 212,13082 | 212,13080 | 212,13078 | 212,13078 | 212,13076 | 212,13076 | 212,13076 | 212,13076 | 212,13076 | 212,13079 | 212,13079 | 212,13072 | 212,13050 |  |
|          | H4     | 227,24183       | 227,24182 | 227,24180 | 227,24178 | 227,24178 | 227,24177 | 227,24177 | 227,24177 | 227,24178 | 227,24178 | 227,24178 | 227,24180 | 227,24180 | 227,24188 | 227,24162 |  |
|          | H5     | 242,81656       | 242,81655 | 242,81654 | 242,81653 | 242,81650 | 242,81649 | 242,81649 | 242,81650 | 242,81650 | 242,81652 | 242,81653 | 242,81652 | 242,81652 | 242,81657 | 242,81617 |  |
|          | H6     | 258,66604       | 258,66605 | 258,66604 | 258,66604 | 258,66602 | 258,66602 | 258,66602 | 258,66598 | 258,66598 | 258,66605 | 258,66612 | 258,66607 | 258,66607 | 258,66550 |           |  |
|          | H7     | 273,54097       | 273,54095 | 273,54094 | 273,54093 | 273,54090 | 273,54092 | 273,54091 | 273,54091 | 273,54091 | 273,54093 | 273,54093 | 273,54095 | 273,54098 | 273,54102 | 273,54040 |  |
|          | O1     | 245,88540       | 245,88538 | 245,88538 | 245,88536 | 245,88537 | 245,88537 | 245,88536 | 245,88541 | 245,88541 | 245,88541 | 245,88541 | 245,88547 | 245,88554 | 245,88554 | 245,88545 |  |
|          | O2     | 338,31332       | 338,31329 | 338,31327 | 338,31327 | 338,31328 | 338,31328 | 338,31331 | 338,31333 | 338,31    |           |           |           |           |           |           |  |

## PRILOGA 9: PRIMERJAVA STANDARDNIH DEVIACIJ

### HORIZONTALNIH SMERI

| stojisce | vizura | ŠTEVILo GIRUSOV |     |     |     |     |     |     |     |     |     |     |     |     |     | TC 2003 |  |
|----------|--------|-----------------|-----|-----|-----|-----|-----|-----|-----|-----|-----|-----|-----|-----|-----|---------|--|
|          |        | TCRP 1201       |     |     |     |     |     |     |     |     |     |     |     |     |     |         |  |
|          |        | 16              | 15  | 14  | 13  | 12  | 11  | 10  | 9   | 8   | 7   | 6   | 5   | 4   | 3   |         |  |
| O1       | O2     |                 |     |     |     |     |     |     |     |     |     |     |     |     |     |         |  |
|          | O4     | 2,6             | 2,7 | 2,7 | 2,8 | 2,9 | 3,1 | 3,1 | 3,3 | 3,5 | 3,5 | 3,8 | 3,8 | 4,4 | 5,3 | 4,5     |  |
|          | O5     | 3,5             | 3,5 | 3,6 | 3,8 | 3,9 | 4,1 | 4,2 | 4,4 | 4,7 | 4,5 | 4,9 | 3,9 | 4,5 | 5,1 | 4,7     |  |
|          | H1     | 3,7             | 3,8 | 3,8 | 4,0 | 4,1 | 4,2 | 4,3 | 4,4 | 4,7 | 4,7 | 5,1 | 4,5 | 5,0 | 5,0 | 4,6     |  |
|          | H2     | 2,5             | 2,6 | 2,7 | 2,8 | 2,9 | 3,1 | 3,1 | 3,2 | 3,4 | 3,6 | 3,9 | 3,3 | 3,6 | 4,3 | 0,9     |  |
|          | H3     | 3,1             | 3,2 | 3,3 | 3,3 | 3,5 | 3,6 | 3,8 | 4,0 | 4,3 | 4,1 | 4,5 | 4,3 | 4,8 | 5,2 | 2,2     |  |
|          | H4     | 3,1             | 3,2 | 3,2 | 3,3 | 3,4 | 3,6 | 3,7 | 3,9 | 4,2 | 4,4 | 4,7 | 3,8 | 4,3 | 4,5 | 4,0     |  |
|          | H5     | 3,1             | 3,2 | 3,3 | 3,4 | 3,5 | 3,7 | 3,7 | 3,9 | 4,1 | 4,2 | 4,4 | 3,5 | 4,0 | 4,7 | 3,0     |  |
|          | H6     | 2,9             | 2,9 | 2,9 | 3,0 | 3,1 | 3,3 | 3,4 | 3,6 | 3,9 | 3,8 | 4,1 | 4,1 | 4,7 | 5,8 | 3,7     |  |
|          | H7     | 3,5             | 3,6 | 3,7 | 3,8 | 4,0 | 4,2 | 4,3 | 4,5 | 4,7 | 4,9 | 5,3 | 5,0 | 5,8 | 6,3 | 4,1     |  |
| O2       | O4     |                 |     |     |     |     |     |     |     |     |     |     |     |     |     |         |  |
|          | O5     | 2,6             | 2,7 | 2,8 | 2,6 | 2,7 | 2,7 | 2,6 | 2,7 | 2,7 | 2,5 | 2,7 | 2,8 | 3,0 | 3,3 | 4,6     |  |
|          | H1     | 3,1             | 2,9 | 3,0 | 3,1 | 3,2 | 3,2 | 3,3 | 3,4 | 3,6 | 3,8 | 4,1 | 4,3 | 3,1 | 3,8 | 4,3     |  |
|          | H2     | 3,1             | 3,2 | 3,2 | 3,3 | 3,3 | 3,5 | 3,5 | 3,7 | 3,9 | 4,0 | 3,8 | 4,0 | 1,9 | 1,6 | 3,1     |  |
|          | H3     | 2,7             | 2,8 | 2,8 | 2,9 | 3,0 | 3,1 | 3,2 | 3,4 | 3,3 | 3,5 | 3,8 | 3,2 | 1,9 | 2,0 | 3,7     |  |
|          | H4     | 3,5             | 3,6 | 3,7 | 3,9 | 4,0 | 4,1 | 4,3 | 4,3 | 4,6 | 4,9 | 5,1 | 5,5 | 5,9 | 7,0 | 3,3     |  |
|          | H5     | 2,3             | 2,4 | 2,4 | 2,4 | 2,5 | 2,4 | 2,6 | 2,7 | 2,8 | 2,5 | 2,7 | 3,0 | 3,4 | 4,0 | 4,4     |  |
|          | H6     | 2,6             | 2,5 | 2,6 | 2,6 | 2,7 | 2,7 | 2,5 | 2,7 | 2,8 | 3,0 | 3,2 | 2,8 | 3,1 | 1,6 | 1,5     |  |
|          | H7     | 2,5             | 2,6 | 2,7 | 2,8 | 2,9 | 3,0 | 3,0 | 3,2 | 3,4 | 3,2 | 3,5 | 3,3 | 1,6 | 1,9 | 3,2     |  |
|          | O1     | 2,0             | 2,0 | 2,1 | 2,2 | 2,2 | 2,3 | 2,3 | 2,5 | 2,6 | 2,4 | 2,4 | 2,6 | 2,9 | 3,5 | 4,5     |  |
|          | O3     | 1,6             | 1,6 | 1,5 | 1,4 | 1,5 | 1,4 | 1,4 | 1,5 | 1,5 | 1,5 | 1,5 | 1,7 | 1,8 | 0,9 | 5,6     |  |
| O3       | O5     |                 |     |     |     |     |     |     |     |     |     |     |     |     |     |         |  |
|          | O4     | 4,5             | 4,6 | 4,3 | 4,5 | 4,6 | 4,2 | 3,4 | 3,5 | 3,0 | 3,2 | 3,5 | 2,9 | 2,8 | 3,3 | 3,0     |  |
|          | O2     | 3,3             | 3,4 | 3,5 | 3,6 | 3,4 | 3,5 | 3,6 | 3,9 | 3,8 | 4,0 | 4,2 | 2,6 | 2,6 | 3,0 | 5,4     |  |
| O4       | O5     |                 |     |     |     |     |     |     |     |     |     |     |     |     |     |         |  |
|          | H1     | 3,2             | 3,3 | 3,4 | 3,0 | 3,1 | 3,3 | 3,4 | 3,5 | 3,4 | 3,6 | 3,9 | 3,4 | 3,7 | 0,8 | 8,3     |  |
|          | H2     | 3,3             | 3,3 | 3,4 | 3,0 | 3,1 | 3,2 | 3,2 | 3,4 | 3,5 | 3,8 | 3,6 | 3,9 | 4,6 | 2,0 | 7,0     |  |
|          | H3     | 3,0             | 3,1 | 3,1 | 2,9 | 2,9 | 2,6 | 2,7 | 2,9 | 3,0 | 3,3 | 3,0 | 3,2 | 3,6 | 0,6 | 4,3     |  |
|          | H4     | 2,4             | 2,2 | 2,3 | 2,4 | 2,5 | 2,2 | 2,3 | 2,4 | 2,5 | 2,6 | 2,5 | 2,7 | 2,7 | 1,5 | 5,5     |  |
|          | H5     | 3,1             | 3,2 | 3,4 | 3,0 | 3,1 | 3,2 | 3,4 | 3,6 | 3,6 | 3,7 | 3,0 | 2,9 | 3,3 | 1,8 | 7,6     |  |
|          | H6     | 1,9             | 1,9 | 2,0 | 1,4 | 1,4 | 1,5 | 1,4 | 1,5 | 1,5 | 1,4 | 1,4 | 1,2 | 1,4 | 1,6 | 10,1    |  |
|          | H7     | 3,6             | 3,7 | 3,7 | 3,8 | 4,0 | 4,2 | 4,3 | 3,7 | 3,8 | 4,1 | 4,3 | 4,7 | 4,3 | 5,1 | 7,1     |  |
|          | O1     | 1,7             | 1,7 | 1,6 | 1,6 | 1,6 | 1,6 | 0,9 | 0,6 | 0,6 | 0,6 | 0,6 | 0,7 | 0,6 | 0,8 | 4,8     |  |
|          | O2     | 2,6             | 2,7 | 2,8 | 2,3 | 2,3 | 2,2 | 2,3 | 2,5 | 2,6 | 2,8 | 2,6 | 2,9 | 2,6 | 3,0 | 0,9     |  |
|          | O3     | 2,8             | 2,5 | 2,6 | 2,4 | 2,5 | 1,9 | 1,7 | 1,5 | 1,6 | 1,6 | 1,7 | 1,7 | 1,6 | 1,8 | 8,9     |  |
| O5       | O4     |                 |     |     |     |     |     |     |     |     |     |     |     |     |     |         |  |
|          | O3     | 3,6             | 3,5 | 3,1 | 3,2 | 3,3 | 3,3 | 3,3 | 3,4 | 3,6 | 3,4 | 3,4 | 2,3 | 2,7 | 3,3 | 2,1     |  |
|          | H1     | 3,6             | 3,7 | 3,9 | 3,9 | 3,9 | 4,1 | 4,2 | 4,2 | 4,0 | 4,1 | 2,4 | 2,3 | 2,5 | 2,6 | 3,1     |  |
|          | H2     | 3,5             | 3,2 | 3,1 | 3,1 | 3,1 | 3,0 | 3,1 | 2,9 | 2,6 | 2,6 | 2,8 | 2,3 | 2,6 | 3,2 | 2,7     |  |
|          | H3     | 2,9             | 3,0 | 3,1 | 2,8 | 3,0 | 3,1 | 2,8 | 2,8 | 3,0 | 3,2 | 2,5 | 2,4 | 2,7 | 3,3 | 1,7     |  |
|          | H4     | 3,2             | 3,0 | 3,0 | 3,1 | 3,2 | 3,2 | 3,2 | 3,1 | 3,2 | 3,3 | 3,4 | 2,7 | 2,7 | 2,4 | 1,4     |  |
|          | H5     | 4,1             | 3,8 | 3,8 | 3,9 | 4,1 | 4,2 | 4,3 | 4,4 | 4,0 | 4,0 | 4,2 | 4,2 | 4,8 | 4,9 | 4,1     |  |
|          | H6     | 3,8             | 3,4 | 3,5 | 3,3 | 3,5 | 3,6 | 3,2 | 3,0 | 3,0 | 3,1 | 3,4 | 2,3 | 2,4 | 2,8 | 1,5     |  |
|          | H7     | 2,9             | 2,9 | 2,9 | 3,0 | 3,0 | 3,0 | 3,1 | 2,7 | 2,8 | 2,9 | 2,3 | 0,8 | 0,9 | 1,0 | 2,7     |  |
|          | O1     | 4,1             | 4,2 | 4,4 | 4,6 | 4,8 | 5,0 | 4,5 | 4,4 | 4,7 | 5,0 | 4,8 | 4,7 | 5,2 | 3,3 | 2,3     |  |
|          | O2     | 3,7             | 3,7 | 3,3 | 3,2 | 3,4 | 3,5 | 3,7 | 2,7 | 2,5 | 2,6 | 2,2 | 2,4 | 2,8 | 2,5 | 2,3     |  |

## PRILOGA 10: PRIMERJAVA STANDARDNIH DEVIACIJ ZENITNIH

### RAZDALJ

| stojisce | vizura | ŠTEVILo GIRUSOV |     |     |     |     |     |     |     |     |     |     |     |     | TC 2003 |     |
|----------|--------|-----------------|-----|-----|-----|-----|-----|-----|-----|-----|-----|-----|-----|-----|---------|-----|
|          |        | TCRP 1201       |     |     |     |     |     |     |     |     |     |     |     |     |         |     |
|          |        | 16              | 15  | 14  | 13  | 12  | 11  | 10  | 9   | 8   | 7   | 6   | 5   | 4   | 3       |     |
| O1       | O2     | 1,8             | 1,6 | 1,6 | 1,7 | 1,7 | 1,5 | 1,6 | 1,5 | 1,3 | 1,4 | 1,5 | 1,3 | 1,3 | 0,8     | 3,1 |
|          | O4     | 2,0             | 2,0 | 2,1 | 2,1 | 2,2 | 2,0 | 2,0 | 2,1 | 2,1 | 2,0 | 1,9 | 1,8 | 1,9 | 1,9     | 1,7 |
|          | O5     | 1,7             | 1,6 | 1,7 | 1,5 | 1,4 | 1,5 | 1,5 | 1,6 | 1,3 | 1,3 | 1,5 | 1,6 | 1,8 | 2,2     | 4,1 |
|          | H1     | 1,9             | 1,9 | 2,0 | 2,0 | 1,9 | 1,9 | 2,0 | 2,1 | 2,0 | 1,3 | 1,4 | 1,4 | 1,2 | 1,4     | 3,0 |
|          | H2     | 1,3             | 1,3 | 1,3 | 1,3 | 1,4 | 1,4 | 1,4 | 1,4 | 1,5 | 1,2 | 1,0 | 1,1 | 0,9 | 0,5     | 2,6 |
|          | H3     | 2,1             | 2,1 | 2,2 | 2,2 | 2,3 | 2,4 | 2,5 | 2,6 | 2,7 | 2,6 | 2,4 | 2,7 | 2,9 | 3,5     | 3,6 |
|          | H4     | 1,9             | 2,0 | 2,0 | 2,0 | 2,0 | 2,1 | 2,0 | 2,1 | 2,0 | 1,9 | 2,1 | 2,0 | 2,3 | 2,8     | 2,5 |
|          | H5     | 1,1             | 1,1 | 1,2 | 1,2 | 1,2 | 1,3 | 1,3 | 1,4 | 1,3 | 1,4 | 1,5 | 1,7 | 1,9 | 2,3     | 3,6 |
|          | H6     | 2,2             | 2,3 | 2,4 | 2,4 | 2,3 | 2,4 | 2,4 | 2,6 | 2,7 | 2,6 | 2,9 | 1,3 | 0,7 | 0,8     | 2,9 |
|          | H7     | 1,3             | 1,3 | 1,3 | 1,4 | 1,2 | 1,2 | 1,2 | 1,3 | 1,4 | 1,4 | 1,4 | 1,4 | 1,5 | 1,8     | 9,4 |
| O2       | O4     | 1,2             | 1,3 | 1,3 | 1,3 | 1,4 | 1,4 | 1,4 | 1,4 | 1,5 | 1,6 | 1,6 | 1,8 | 2,0 | 2,5     | 3,4 |
|          | O5     | 1,1             | 1,0 | 1,0 | 0,8 | 0,8 | 0,8 | 0,8 | 0,8 | 0,8 | 0,8 | 0,9 | 1,0 | 1,1 | 1,3     | 2,7 |
|          | H1     | 2,7             | 2,8 | 2,8 | 2,5 | 2,6 | 2,7 | 2,9 | 2,7 | 2,7 | 2,9 | 3,2 | 3,5 | 4,0 | 4,8     | 7,5 |
|          | H2     | 1,6             | 1,6 | 1,7 | 1,7 | 1,8 | 1,8 | 1,8 | 1,9 | 2,0 | 2,0 | 2,0 | 2,2 | 2,5 | 2,4     | 2,5 |
|          | H3     | 1,2             | 1,3 | 1,2 | 1,3 | 1,3 | 1,3 | 1,4 | 1,5 | 1,2 | 1,2 | 1,3 | 1,3 | 1,5 | 1,3     | 1,4 |
|          | H4     | 2,1             | 2,2 | 2,2 | 2,3 | 1,4 | 1,5 | 1,6 | 1,7 | 1,8 | 1,9 | 2,0 | 2,3 | 2,5 | 2,0     | 2,3 |
|          | H5     | 2,3             | 1,8 | 1,7 | 1,7 | 1,7 | 1,8 | 1,7 | 1,8 | 1,9 | 1,8 | 2,0 | 2,2 | 2,0 | 2,3     | 2,5 |
|          | H6     | 1,8             | 1,9 | 1,8 | 1,9 | 2,0 | 2,0 | 2,1 | 2,2 | 2,1 | 2,0 | 1,9 | 2,1 | 1,2 | 0,9     | 3,8 |
|          | H7     | 1,8             | 1,9 | 1,9 | 1,8 | 1,8 | 1,8 | 1,9 | 2,0 | 2,1 | 2,2 | 2,1 | 2,3 | 2,6 | 2,8     | 4,3 |
|          | O1     | 1,7             | 1,7 | 1,6 | 1,4 | 1,4 | 1,5 | 1,6 | 1,5 | 1,6 | 1,4 | 1,3 | 1,4 | 1,6 | 1,8     | 1,7 |
|          | O3     | 1,5             | 1,5 | 1,6 | 1,5 | 1,5 | 1,2 | 1,2 | 1,3 | 1,3 | 1,4 | 1,4 | 1,6 | 1,9 | 0,6     |     |
| O3       | O5     | 3,9             | 3,8 | 3,8 | 4,0 | 3,6 | 3,1 | 1,8 | 1,4 | 1,2 | 1,2 | 1,0 | 1,0 | 1,1 | 1,3     | 1,8 |
|          | O4     | 2,5             | 2,5 | 2,3 | 2,4 | 2,2 | 2,2 | 2,2 | 2,2 | 2,3 | 2,3 | 2,3 | 2,5 | 2,7 | 2,8     | 5,3 |
|          | O2     | 1,9             | 1,9 | 1,9 | 1,5 | 1,6 | 1,6 | 1,7 | 1,5 | 1,6 | 1,5 | 1,4 | 1,6 | 1,5 | 0,8     | 0,6 |
| O4       | O5     | 3,9             | 4,0 | 4,1 | 4,3 | 4,3 | 4,0 | 4,0 | 4,1 | 4,1 | 4,1 | 4,3 | 4,4 | 3,5 | 3,2     | 0,6 |
|          | H1     | 2,8             | 2,9 | 3,0 | 3,1 | 3,2 | 3,1 | 3,2 | 3,3 | 3,3 | 3,5 | 3,1 | 1,6 | 1,7 | 1,7     | 0,4 |
|          | H2     | 3,4             | 3,5 | 3,6 | 3,5 | 3,5 | 3,6 | 3,3 | 3,1 | 3,1 | 2,8 | 3,0 | 3,2 | 2,1 | 1,3     | 1,9 |
|          | H3     | 3,0             | 3,0 | 3,1 | 3,2 | 3,3 | 3,3 | 3,0 | 3,2 | 2,6 | 2,5 | 1,8 | 2,0 | 1,7 | 2,0     | 3,5 |
|          | H4     | 3,1             | 3,2 | 3,3 | 3,4 | 3,5 | 3,7 | 3,5 | 3,3 | 3,0 | 3,1 | 3,1 | 2,3 | 2,7 | 3,2     | 4,3 |
|          | H5     | 3,5             | 3,6 | 3,6 | 3,8 | 3,9 | 4,0 | 3,3 | 3,5 | 3,3 | 2,6 | 1,8 | 2,0 | 2,1 | 1,5     | 4,3 |
|          | H6     | 2,9             | 2,8 | 2,7 | 2,8 | 2,9 | 2,8 | 2,9 | 3,1 | 3,3 | 3,6 | 3,9 | 4,2 | 3,6 | 4,4     | 1,7 |
|          | H7     | 2,9             | 3,0 | 3,1 | 3,3 | 3,4 | 3,0 | 3,1 | 3,1 | 3,1 | 2,9 | 3,2 | 3,6 | 3,7 | 1,3     | 4,4 |
|          | O1     | 2,0             | 2,1 | 2,1 | 2,0 | 2,0 | 2,1 | 2,2 | 2,3 | 2,4 | 2,6 | 2,8 | 3,0 | 3,4 | 2,5     | 4,2 |
|          | O2     | 1,8             | 1,7 | 1,8 | 1,7 | 1,7 | 1,8 | 1,9 | 1,8 | 1,0 | 1,1 | 1,2 | 1,3 | 1,4 | 1,0     | 9,7 |
|          | O3     | 2,6             | 2,5 | 2,6 | 2,7 | 2,6 | 2,4 | 2,6 | 2,2 | 1,6 | 1,6 | 1,7 | 1,6 | 0,7 | 0,8     | 6,2 |
| O5       | O4     | 4,4             | 4,1 | 4,1 | 4,3 | 4,3 | 3,2 | 3,3 | 3,4 | 3,5 | 3,4 | 2,6 | 2,9 | 3,2 | 2,5     | 4,6 |
|          | O3     | 2,5             | 2,4 | 2,4 | 2,5 | 2,5 | 2,3 | 2,4 | 2,3 | 2,3 | 2,4 | 2,5 | 2,5 | 2,9 | 3,2     | 5,8 |
|          | H1     | 2,8             | 2,8 | 2,3 | 2,3 | 2,4 | 2,5 | 2,6 | 2,7 | 2,9 | 2,7 | 2,8 | 2,9 | 3,0 | 2,6     | 2,6 |
|          | H2     | 2,2             | 2,2 | 2,3 | 2,3 | 2,0 | 2,0 | 2,0 | 2,2 | 2,3 | 2,0 | 2,2 | 1,4 | 1,5 | 1,6     | 4,1 |
|          | H3     | 1,8             | 1,8 | 1,8 | 1,8 | 1,6 | 1,6 | 1,6 | 1,7 | 1,7 | 1,9 | 2,0 | 1,5 | 1,2 | 1,4     | 2,5 |
|          | H4     | 2,6             | 2,7 | 2,2 | 1,9 | 2,0 | 2,1 | 2,1 | 2,1 | 2,2 | 2,3 | 2,4 | 2,1 | 2,1 | 1,3     | 4,2 |
|          | H5     | 2,6             | 2,7 | 2,6 | 2,6 | 2,6 | 2,6 | 2,4 | 2,5 | 2,3 | 2,2 | 2,4 | 1,5 | 1,7 | 1,3     | 3,7 |
|          | H6     | 2,5             | 2,6 | 2,3 | 2,2 | 2,3 | 2,4 | 2,4 | 1,8 | 1,9 | 2,0 | 2,1 | 2,3 | 2,3 | 2,8     | 5,6 |
|          | H7     | 4,0             | 3,2 | 2,8 | 2,9 | 2,8 | 3,0 | 3,1 | 2,8 | 2,9 | 3,1 | 3,3 | 3,2 | 3,4 | 3,8     | 3,4 |
|          | O1     | 3,3             | 2,6 | 2,3 | 2,3 | 2,2 | 1,9 | 2,0 | 2,0 | 2,2 | 2,2 | 2,4 | 0,8 | 0,9 | 0,3     | 1,9 |
|          | O2     | 3,7             | 3,4 | 3,1 | 2,9 | 3,0 | 3,1 | 3,1 | 2,7 | 2,4 | 2,5 | 2,7 | 3,0 | 2,7 | 3,3     | 2,0 |

## PRILOGA 11: PRIMERJAVA STANDARDNIH DEVIACIJ DOLŽIN

| stojisce | vizura | ŠTEVILo GIRUSOV |     |     |     |     |     |     |     |     |     |     |     |     |     | TC 2003 |  |
|----------|--------|-----------------|-----|-----|-----|-----|-----|-----|-----|-----|-----|-----|-----|-----|-----|---------|--|
|          |        | TCRP 1201       |     |     |     |     |     |     |     |     |     |     |     |     |     |         |  |
|          |        | 16              | 15  | 14  | 13  | 12  | 11  | 10  | 9   | 8   | 7   | 6   | 5   | 4   | 3   |         |  |
| O1       | O2     | 2,5             | 2,5 | 2,5 | 2,4 | 2,5 | 2,6 | 2,6 | 2,7 | 2,8 | 2,8 | 3,0 | 1,8 | 1,6 | 1,0 | 0,7     |  |
|          | O4     | 1,6             | 1,6 | 1,6 | 1,6 | 1,6 | 1,6 | 1,5 | 1,5 | 1,5 | 1,6 | 1,7 | 1,5 | 1,6 | 1,7 | 1,5     |  |
|          | O5     | 2,8             | 2,8 | 2,7 | 2,8 | 2,8 | 2,9 | 2,8 | 2,9 | 3,1 | 3,2 | 3,0 | 3,2 | 3,5 | 3,8 | 0,7     |  |
|          | H1     | 2,1             | 2,0 | 2,0 | 2,0 | 2,1 | 1,9 | 2,0 | 2,0 | 2,1 | 2,1 | 2,2 | 2,2 | 1,9 | 2,0 | 0,6     |  |
|          | H2     | 2,7             | 2,6 | 2,7 | 2,7 | 2,6 | 2,7 | 2,7 | 2,8 | 2,8 | 2,8 | 2,5 | 2,7 | 2,9 | 2,7 | 0,6     |  |
|          | H3     | 2,0             | 2,1 | 2,0 | 2,0 | 1,9 | 1,9 | 1,6 | 1,6 | 1,6 | 1,7 | 1,5 | 1,6 | 1,2 | 1,2 | 1,0     |  |
|          | H4     | 2,2             | 2,1 | 2,1 | 2,1 | 2,2 | 2,2 | 2,2 | 2,3 | 2,1 | 2,2 | 2,4 | 2,0 | 2,1 | 1,2 | 0,7     |  |
|          | H5     | 2,0             | 1,9 | 2,0 | 1,8 | 1,8 | 1,8 | 1,7 | 1,8 | 1,9 | 2,0 | 2,1 | 2,1 | 2,2 | 2,2 | 0,5     |  |
|          | H6     | 2,5             | 2,5 | 2,4 | 2,5 | 2,3 | 2,3 | 2,4 | 2,4 | 2,4 | 2,1 | 1,8 | 1,9 | 1,9 | 1,7 | 0,8     |  |
|          | H7     | 1,5             | 1,6 | 1,6 | 1,6 | 1,6 | 1,7 | 1,6 | 1,7 | 1,7 | 1,6 | 1,4 | 1,4 | 1,1 | 1,2 | 3,8     |  |
| O2       | O4     | 1,9             | 1,9 | 1,9 | 1,9 | 1,8 | 1,9 | 1,9 | 1,9 | 1,9 | 1,9 | 1,8 | 1,9 | 1,9 | 1,5 | 0,9     |  |
|          | O5     | 3,1             | 3,1 | 3,2 | 3,3 | 3,3 | 3,4 | 3,4 | 3,5 | 3,6 | 3,4 | 3,5 | 3,2 | 3,3 | 2,1 | 1,5     |  |
|          | H1     | 2,2             | 2,2 | 2,3 | 2,4 | 2,3 | 2,4 | 2,4 | 2,5 | 2,6 | 2,2 | 2,0 | 1,8 | 1,9 | 1,7 | 1,5     |  |
|          | H2     | 2,4             | 2,3 | 2,3 | 2,2 | 2,3 | 2,0 | 2,1 | 2,1 | 2,0 | 2,0 | 2,1 | 1,9 | 2,0 | 2,1 | 1,2     |  |
|          | H3     | 1,6             | 1,6 | 1,6 | 1,3 | 1,3 | 1,3 | 1,3 | 1,4 | 1,5 | 1,5 | 1,6 | 1,7 | 1,6 | 1,6 | 0,7     |  |
|          | H4     | 2,3             | 2,4 | 2,3 | 2,2 | 2,2 | 2,2 | 2,1 | 2,2 | 2,1 | 2,0 | 1,9 | 1,3 | 1,1 | 1,1 | 1,3     |  |
|          | H5     | 2,4             | 2,5 | 2,5 | 2,6 | 2,6 | 2,7 | 2,7 | 2,8 | 2,4 | 2,5 | 2,5 | 2,7 | 2,7 | 3,0 | 1,5     |  |
|          | H6     | 1,8             | 1,8 | 1,6 | 1,7 | 1,7 | 1,6 | 1,6 | 1,6 | 1,7 | 1,7 | 1,8 | 1,5 | 1,6 | 1,8 | 0,5     |  |
|          | H7     | 2,3             | 2,4 | 2,4 | 2,5 | 2,4 | 2,2 | 2,3 | 2,3 | 2,2 | 2,1 | 2,3 | 1,9 | 1,9 | 1,9 | 1,1     |  |
|          | O1     | 1,4             | 1,3 | 1,3 | 1,2 | 1,2 | 1,2 | 1,2 | 1,2 | 1,2 | 1,3 | 1,3 | 1,3 | 1,5 | 1,6 | 0,7     |  |
| O3       | O3     | 2,0             | 2,0 | 2,1 | 2,1 | 2,1 | 2,2 | 2,3 | 2,4 | 2,3 | 2,4 | 2,4 | 1,8 | 1,9 | 1,6 | 1,0     |  |
|          | O5     | 3,7             | 3,8 | 3,8 | 3,5 | 3,5 | 3,6 | 3,6 | 3,3 | 3,4 | 3,6 | 3,8 | 4,0 | 4,4 | 4,4 | 2,6     |  |
|          | O4     | 2,8             | 2,8 | 2,8 | 2,9 | 2,7 | 2,7 | 2,8 | 2,8 | 2,8 | 3,0 | 3,2 | 3,2 | 2,8 | 3,1 | 0,9     |  |
| O4       | O2     | 2,5             | 2,3 | 2,3 | 2,3 | 2,3 | 2,3 | 2,2 | 2,1 | 2,1 | 2,1 | 2,2 | 2,2 | 2,2 | 2,3 | 1,2     |  |
|          | O5     | 1,7             | 1,8 | 1,8 | 1,8 | 1,9 | 2,0 | 1,9 | 1,8 | 1,7 | 1,8 | 1,9 | 1,9 | 1,9 | 1,5 | 1,8     |  |
|          | H1     | 1,6             | 1,7 | 1,6 | 1,6 | 1,7 | 1,6 | 1,7 | 1,7 | 1,5 | 1,4 | 1,6 | 1,5 | 1,6 | 1,8 | 2,1     |  |
|          | H2     | 1,9             | 1,9 | 2,0 | 2,0 | 2,0 | 2,1 | 2,0 | 2,1 | 2,1 | 2,2 | 2,2 | 2,3 | 2,2 | 2,6 | 7,1     |  |
|          | H3     | 2,2             | 2,3 | 2,2 | 2,1 | 2,1 | 2,1 | 2,2 | 2,0 | 2,0 | 2,0 | 2,0 | 1,6 | 1,8 | 2,0 | 1,3     |  |
|          | H4     | 2,6             | 2,6 | 2,7 | 2,7 | 2,6 | 2,7 | 2,6 | 2,6 | 2,6 | 2,6 | 2,2 | 2,3 | 1,8 | 1,5 | 1,5     |  |
|          | H5     | 2,4             | 2,4 | 2,4 | 2,5 | 2,6 | 2,6 | 2,5 | 2,6 | 2,7 | 2,6 | 2,8 | 3,0 | 3,1 | 3,5 | 1,5     |  |
|          | H6     | 1,8             | 1,8 | 1,8 | 1,8 | 1,8 | 1,8 | 1,9 | 2,0 | 2,0 | 2,1 | 2,2 | 2,2 | 2,2 | 2,4 | 0,7     |  |
|          | H7     | 2,1             | 2,0 | 2,0 | 2,0 | 1,9 | 1,8 | 1,9 | 1,8 | 1,8 | 1,9 | 1,9 | 1,9 | 1,7 | 2,0 | 1,5     |  |
|          | O1     | 1,8             | 1,8 | 1,9 | 1,8 | 1,9 | 1,7 | 1,8 | 1,8 | 1,8 | 1,9 | 2,0 | 2,1 | 2,0 | 2,0 | 1,4     |  |
| O5       | O2     | 2,0             | 2,1 | 2,1 | 2,1 | 2,1 | 2,0 | 2,0 | 2,1 | 2,1 | 2,1 | 2,2 | 2,1 | 2,2 | 2,5 | 1,1     |  |
|          | O3     | 1,8             | 1,8 | 1,8 | 1,8 | 1,8 | 1,8 | 1,9 | 1,9 | 2,0 | 2,1 | 2,1 | 2,2 | 2,2 | 2,5 | 1,1     |  |
|          | O4     | 2,4             | 2,3 | 2,3 | 2,3 | 2,3 | 2,2 | 2,2 | 2,2 | 2,1 | 2,1 | 2,0 | 2,1 | 1,8 | 1,4 | 1,1     |  |
|          | O5     | 2,3             | 2,1 | 2,0 | 1,9 | 2,0 | 2,1 | 2,2 | 2,2 | 2,1 | 2,1 | 2,0 | 1,9 | 2,0 | 1,9 | 1,2     |  |
|          | H1     | 2,1             | 2,1 | 2,1 | 2,1 | 2,1 | 2,0 | 2,0 | 2,1 | 2,2 | 2,3 | 2,4 | 2,6 | 2,8 | 3,0 | 1,2     |  |
|          | H2     | 2,1             | 1,8 | 1,9 | 1,9 | 1,9 | 2,0 | 2,0 | 2,0 | 1,9 | 1,9 | 1,8 | 1,8 | 1,9 | 1,9 | 3,0     |  |
|          | H3     | 2,4             | 2,2 | 2,2 | 2,2 | 2,1 | 2,2 | 2,1 | 2,1 | 2,0 | 2,0 | 1,9 | 1,8 | 2,0 | 1,9 | 1,0     |  |
|          | H4     | 2,3             | 2,2 | 2,2 | 2,1 | 2,2 | 2,1 | 2,2 | 2,0 | 2,1 | 2,0 | 2,2 | 2,4 | 1,1 | 0,9 | 1,2     |  |
|          | H5     | 2,4             | 2,3 | 2,3 | 2,3 | 2,2 | 2,3 | 2,4 | 2,4 | 2,3 | 2,5 | 2,6 | 2,8 | 2,1 | 2,0 | 1,7     |  |
|          | H6     | 2,9             | 2,9 | 2,9 | 3,0 | 2,9 | 3,0 | 3,1 | 3,2 | 3,3 | 2,9 | 2,0 | 2,2 | 2,2 | 1,9 | 1,8     |  |
| O6       | H7     | 2,6             | 2,6 | 2,7 | 2,7 | 2,5 | 2,5 | 2,6 | 2,7 | 2,7 | 2,8 | 3,0 | 3,2 | 3,3 | 3,6 | 1,6     |  |
|          | O1     | 3,3             | 3,3 | 3,4 | 3,4 | 3,3 | 3,4 | 3,6 | 3,5 | 3,7 | 3,9 | 3,9 | 3,2 | 3,5 | 3,4 | 1,0     |  |
| O7       | O2     | 2,9             | 2,6 | 2,5 | 2,4 | 2,4 | 2,2 | 2,3 | 2,3 | 2,4 | 2,3 | 2,1 | 2,2 | 2,3 | 2,0 | 1,1     |  |

## PRILOGA 12: PRIMER IZRAČUNA REDUKCIJ POŠEVNIH DOLŽIN ZA INSTRUMENT LEICA TCRP1201 R300 ZA 3 GIRUSE

### Podatki

$\lambda = 0,78$   
 $n_0 = 1,000283$   
 $R_{NNP} = 150$   
 $k_m = 1$   
 $k_a = -0,0006$   
 $R = 6370000$

$n_{GR} = 1,00029573$

| instrument | reflektor | $d_a$<br>[m] | Meteorologija - podatki |       |       |       | Geometrija - podatki |          |        |        | Meteorologija - izračun |        | Reducirane dolžine |                             |                            |
|------------|-----------|--------------|-------------------------|-------|-------|-------|----------------------|----------|--------|--------|-------------------------|--------|--------------------|-----------------------------|----------------------------|
|            |           |              | temperatura             |       | tlak  |       | $H_i$                | $H_l$    | $i$    | $l$    | adic.k.                 | e      | $n_0$              | meteorološki popravek<br>D' | geometrični popravek<br>S0 |
|            |           |              | suhá                    | mokra | [°C]  | [°C]  | [mbar]               | [torr]   | [m]    | [m]    | [m]                     | [m]    | [torr]             | [m]                         | [m]                        |
| O1         | O2        | 230,37625    | 14,4                    | 10,4  | 987,9 | 741,0 | 158,3009             | 154,1167 | 0,2400 | 0,2360 | 0,0001                  | 7,4868 | 1,00027346         | 230,37795                   | 230,33965                  |
|            | O4        | 202,07217    | 14,4                    | 10,4  | 987,9 | 741,0 | 158,3009             | 154,0746 | 0,2400 | 0,2380 | 0,0003                  | 7,4868 | 1,00027346         | 202,07379                   | 202,02935                  |
|            | O5        | 245,88682    | 14,4                    | 10,4  | 987,9 | 741,0 | 158,3009             | 154,6584 | 0,2400 | 0,2380 | -0,0014                 | 7,4868 | 1,00027346         | 245,88716                   | 245,85990                  |
|            | H1        | 233,55355    | 14,4                    | 10,4  | 987,9 | 741,0 | 158,3009             | 158,7083 | 0,2400 | 0,2370 | 0,0185                  | 7,4868 | 1,00027346         | 233,57368                   | 233,57301                  |
|            | H2        | 227,60888    | 14,4                    | 10,4  | 987,9 | 741,0 | 158,3009             | 158,7243 | 0,2400 | 0,2420 | 0,0184                  | 7,4868 | 1,00027346         | 227,62885                   | 227,62815                  |
|            | H3        | 222,96483    | 14,4                    | 10,4  | 987,9 | 741,0 | 158,3009             | 158,7155 | 0,2400 | 0,2420 | 0,0183                  | 7,4868 | 1,00027346         | 222,98466                   | 222,98397                  |
|            | H4        | 219,67793    | 14,4                    | 10,4  | 987,9 | 741,0 | 158,3009             | 158,7257 | 0,2400 | 0,2400 | 0,0184                  | 7,4868 | 1,00027346         | 219,69782                   | 219,69712                  |
|            | H5        | 217,81500    | 14,4                    | 10,4  | 987,9 | 741,0 | 158,3009             | 158,7177 | 0,2400 | 0,2410 | 0,0184                  | 7,4868 | 1,00027346         | 217,83488                   | 217,83419                  |
|            | H6        | 217,51402    | 14,4                    | 10,4  | 987,9 | 741,0 | 158,3009             | 158,7123 | 0,2400 | 0,2440 | 0,0185                  | 7,4868 | 1,00027346         | 217,53399                   | 217,53331                  |
|            | H7        | 218,51747    | 14,4                    | 10,4  | 987,9 | 741,0 | 158,3009             | 158,7130 | 0,2400 | 0,2410 | 0,0184                  | 7,4868 | 1,00027346         | 218,53735                   | 218,53667                  |
| O2         | O4        | 140,05675    | 13,2                    | 11,5  | 988,5 | 741,4 | 154,1167             | 154,0746 | 0,2360 | 0,2380 | 0,0003                  | 9,3314 | 1,00027469         | 140,05760                   | 140,05751                  |
|            | O5        | 338,31503    | 13,2                    | 11,5  | 988,5 | 741,4 | 154,1167             | 154,6584 | 0,2360 | 0,2380 | -0,0014                 | 9,3314 | 1,00027469         | 338,31584                   | 338,31517                  |
|            | H1        | 429,16525    | 13,2                    | 11,5  | 988,5 | 741,4 | 154,1167             | 158,7083 | 0,2360 | 0,2370 | 0,0185                  | 9,3314 | 1,00027469         | 429,1672                    | 429,16171                  |
|            | H2        | 429,78735    | 13,2                    | 11,5  | 988,5 | 741,4 | 154,1167             | 158,7243 | 0,2360 | 0,2420 | 0,0184                  | 9,3314 | 1,00027469         | 429,80872                   | 429,78353                  |
|            | H3        | 431,15798    | 13,2                    | 11,5  | 988,5 | 741,4 | 154,1167             | 158,7155 | 0,2360 | 0,2420 | 0,0183                  | 9,3314 | 1,00027469         | 431,17926                   | 431,15424                  |
|            | H4        | 433,24393    | 13,2                    | 11,5  | 988,5 | 741,4 | 154,1167             | 158,7257 | 0,2360 | 0,2400 | 0,0184                  | 9,3314 | 1,00027469         | 433,24653                   | 433,24034                  |
|            | H5        | 436,06845    | 13,2                    | 11,5  | 988,5 | 741,4 | 154,1167             | 158,7177 | 0,2360 | 0,2410 | 0,0184                  | 9,3314 | 1,00027469         | 436,08987                   | 436,06511                  |
|            | H6        | 439,67027    | 13,2                    | 11,5  | 988,5 | 741,4 | 154,1167             | 158,7123 | 0,2360 | 0,2440 | 0,0185                  | 9,3314 | 1,00027469         | 439,69182                   | 439,66728                  |
|            | H7        | 443,58767    | 13,2                    | 11,5  | 988,5 | 741,4 | 154,1167             | 158,7130 | 0,2360 | 0,2410 | 0,0184                  | 9,3314 | 1,00027469         | 443,60916                   | 443,58485                  |
|            | O1        | 230,37692    | 13,2                    | 11,5  | 988,5 | 741,4 | 154,1167             | 158,3009 | 0,2360 | 0,2400 | 0,0003                  | 9,3314 | 1,00027469         | 230,37855                   | 230,34026                  |
|            | O3        | 234,71132    | 13,2                    | 11,5  | 988,5 | 741,4 | 154,1167             | 154,3879 | 0,2360 | 0,2360 | 0,00015                 | 9,3314 | 1,00027469         | 234,71282                   | 234,71251                  |
| O3         | O5        | 315,17725    | 14,4                    | 12,0  | 988,3 | 741,3 | 154,3879             | 154,6584 | 0,2370 | 0,2380 | -0,0014                 | 9,3291 | 1,00027349         | 315,17825                   | 315,17791                  |
|            | O4        | 180,02387    | 14,4                    | 12,0  | 988,3 | 741,3 | 154,3879             | 154,0746 | 0,2370 | 0,2380 | 0,0003                  | 9,3291 | 1,00027349         | 180,02527                   | 180,02488                  |
|            | O2        | 234,71072    | 14,4                    | 12,0  | 988,3 | 741,3 | 154,3879             | 154,1167 | 0,2370 | 0,2360 | 0,0001                  | 9,3291 | 1,00027349         | 234,71245                   | 234,71214                  |

| instrument | reflektor | d <sub>a</sub> | Meteorologija - podatki |       |       |        | Geometrija - podatki |                |        |        | Meteorologija - izračun |        | Reducirane dolžine |                       |                      |
|------------|-----------|----------------|-------------------------|-------|-------|--------|----------------------|----------------|--------|--------|-------------------------|--------|--------------------|-----------------------|----------------------|
|            |           |                | temperatura             |       | tlak  |        | H <sub>i</sub>       | H <sub>l</sub> | i      | l      | adic.k.                 | e      | n <sub>D</sub>     | meteorološki popravek | geometrični popravek |
|            |           |                | suha                    | mokra | [°C]  | [mbar] | [torr]               | [m]            | [m]    | [m]    | [m]                     | [torr] |                    | D'                    | S0                   |
| O4         | od        | do             | [m]                     |       |       |        |                      |                |        |        |                         |        |                    |                       |                      |
|            | O5        | 205,04560      | 14,9                    | 12,4  | 988,3 | 741,3  | 154,0746             | 154,6584       | 0,2380 | 0,2380 | -0,0014                 | 9,5602 | 1,00027299         | 205,04565             | 205,04468            |
|            | H1        | 330,12823      | 14,9                    | 12,4  | 988,3 | 741,3  | 154,0746             | 158,7083       | 0,2380 | 0,2370 | 0,0185                  | 9,5602 | 1,00027299         | 330,14943             | 330,11660            |
|            | H2        | 335,50685      | 14,9                    | 12,4  | 988,3 | 741,3  | 154,0746             | 158,7243       | 0,2380 | 0,2420 | 0,0184                  | 9,5602 | 1,00027299         | 335,52801             | 335,49540            |
|            | H3        | 341,74415      | 14,9                    | 12,4  | 988,3 | 741,3  | 154,0746             | 158,7155       | 0,2380 | 0,2420 | 0,0183                  | 9,5602 | 1,00027299         | 341,76527             | 341,73336            |
|            | H4        | 348,76727      | 14,9                    | 12,4  | 988,3 | 741,3  | 154,0746             | 158,7257       | 0,2380 | 0,2400 | 0,0184                  | 9,5602 | 1,00027299         | 348,78856             | 348,75717            |
|            | H5        | 356,59137      | 14,9                    | 12,4  | 988,3 | 741,3  | 154,0746             | 158,7177       | 0,2380 | 0,2410 | 0,0184                  | 9,5602 | 1,00027299         | 356,61274             | 356,58211            |
|            | H6        | 365,16110      | 14,9                    | 12,4  | 988,3 | 741,3  | 154,0746             | 158,7123       | 0,2380 | 0,2440 | 0,0185                  | 9,5602 | 1,00027299         | 365,18265             | 365,15276            |
|            | H7        | 373,64937      | 14,9                    | 12,4  | 988,3 | 741,3  | 154,0746             | 158,7130       | 0,2380 | 0,2410 | 0,0184                  | 9,5602 | 1,00027299         | 373,67091             | 373,64171            |
|            | O1        | 202,07232      | 14,9                    | 12,4  | 988,3 | 741,3  | 154,0746             | 158,3009       | 0,2380 | 0,2400 | 0,0003                  | 9,5602 | 1,00027299         | 202,07406             | 202,02962            |
|            | O2        | 140,05665      | 14,9                    | 12,4  | 988,3 | 741,3  | 154,0746             | 154,1167       | 0,2380 | 0,2360 | 0,0001                  | 9,5602 | 1,00027299         | 140,05755             | 140,05746            |
|            | O3        | 180,02408      | 14,9                    | 12,4  | 988,3 | 741,3  | 154,0746             | 154,3879       | 0,2380 | 0,2360 | 0,00015                 | 9,5602 | 1,00027299         | 180,02543             | 180,02504            |
| O5         | od        | do             | [m]                     |       |       |        |                      |                |        |        |                         |        |                    |                       |                      |
|            | O4        | 205,04365      | 14,8                    | 12,6  | 988,2 | 741,2  | 154,6584             | 154,0746       | 0,2390 | 0,2380 | 0,0003                  | 9,8500 | 1,00027306         | 205,04538             | 205,04440            |
|            | O3        | 315,17553      | 14,8                    | 12,6  | 988,2 | 741,2  | 154,6584             | 154,3879       | 0,2390 | 0,2360 | 0,0002                  | 9,8500 | 1,00027306         | 315,17821             | 315,17787            |
|            | H1        | 183,38783      | 14,8                    | 12,6  | 988,2 | 741,2  | 154,6584             | 158,7083       | 0,2390 | 0,2370 | 0,0185                  | 9,8500 | 1,00027306         | 183,40755             | 183,36269            |
|            | H2        | 197,46795      | 14,8                    | 12,6  | 988,2 | 741,2  | 154,6584             | 158,7243       | 0,2390 | 0,2420 | 0,0184                  | 9,8500 | 1,00027306         | 197,48771             | 197,44558            |
|            | H3        | 212,13072      | 14,8                    | 12,6  | 988,2 | 741,2  | 154,6584             | 158,7155       | 0,2390 | 0,2420 | 0,0183                  | 9,8500 | 1,00027306         | 212,15053             | 212,11145            |
|            | H4        | 227,24188      | 14,8                    | 12,6  | 988,2 | 741,2  | 154,6584             | 158,7257       | 0,2390 | 0,2400 | 0,0184                  | 9,8500 | 1,00027306         | 227,26194             | 227,22528            |
|            | H5        | 242,81658      | 14,8                    | 12,6  | 988,2 | 741,2  | 154,6584             | 158,7177       | 0,2390 | 0,2410 | 0,0184                  | 9,8500 | 1,00027306         | 242,83679             | 242,80257            |
|            | H6        | 258,66607      | 14,8                    | 12,6  | 988,2 | 741,2  | 154,6584             | 158,7123       | 0,2390 | 0,2440 | 0,0185                  | 9,8500 | 1,00027306         | 258,68654             | 258,65442            |
|            | H7        | 273,54102      | 14,8                    | 12,6  | 988,2 | 741,2  | 154,6584             | 158,7130       | 0,2390 | 0,2410 | 0,0184                  | 9,8500 | 1,00027306         | 273,56154             | 273,53117            |
|            | O1        | 245,88545      | 14,8                    | 12,6  | 988,2 | 741,2  | 154,6584             | 158,3009       | 0,2390 | 0,2400 | 0,0003                  | 9,8500 | 1,00027306         | 245,88761             | 245,86037            |
|            | O2        | 338,31337      | 14,8                    | 12,6  | 988,2 | 741,2  | 154,6584             | 154,1167       | 0,2390 | 0,2360 | 0,0001                  | 9,8500 | 1,00027306         | 338,31323             | 338,31556            |

## PRILOGA 13: PRIMER IZRAČUNA ODSTOPANJ

### HORIZONTALNIH SMERI IN ZENITNIH RAZDALJ IZ STOJIŠČA

#### O1 PROTI TOČKI O5

Stojošče O1  
Smer O5

| girus | horizontalna smer |                      | zenitna razdalja |                      |
|-------|-------------------|----------------------|------------------|----------------------|
|       | meritev<br>[gon]  | odstopanje<br>[mgon] | meritev<br>[gon] | odstopanje<br>[mgon] |
| 1     | 100,53555         | -0,80                | 100,94420        | -0,06                |
| 2     | 100,53655         | 0,20                 | 100,94415        | -0,11                |
| 3     | 100,53620         | -0,15                | 100,94455        | 0,29                 |
| 4     | 100,53645         | 0,10                 | 100,94435        | 0,09                 |
| 5     | 100,53630         | -0,05                | 100,94420        | -0,06                |
| 6     | 100,53705         | 0,70                 | 100,94425        | -0,01                |
| 7     | 100,53635         | 0,00                 | 100,94425        | -0,01                |
| 8     | 100,53575         | -0,60                | 100,94425        | -0,01                |
| 9     | 100,53635         | 0,00                 | 100,94460        | 0,34                 |
| 10    | 100,53605         | -0,30                | 100,94425        | -0,01                |
| 11    | 100,53655         | 0,20                 | 100,94420        | -0,06                |
| 12    | 100,53645         | 0,10                 | 100,94420        | -0,06                |
| 13    | 100,53645         | 0,10                 | 100,94405        | -0,21                |
| 14    | 100,53650         | 0,15                 | 100,94395        | -0,31                |
| 15    | 100,53645         | 0,10                 | 100,94430        | 0,04                 |
| 16    | 100,53665         | 0,30                 | 100,94445        | 0,19                 |

srednja vrednost horizontalne smeri

100,5364

srednja vrednost zenitne razdalje

245,8869

## PRILOGA 14: PRIMER VHODNE DATOTEKE ZA IZRAVNAVO

### \*.pod ZA INSTRUMENT TCRP1201 R300 ZA 3 GIRUSE

\*N  
'O1' 1178.0567 1095.4307  
'O2' 1081.6873 886.2074  
'O4' 999.9877 999.9817  
'O3' 847.6387 904.0594  
'O5' 955.6181 1200.1799  
'H1' 1098.5422 1315.0608  
'H2' 1116.5414 1314.5972  
'H3' 1134.5292 1314.1334  
'H4' 1152.4959 1313.6436  
'H5' 1170.5514 1313.1442  
'H6' 1188.5178 1312.7221  
'H7' 1205.1314 1312.2937  
\*O  
3 'O1' 'O2' 0 00 00.0 1 230.33965 0.4341 1  
3 'O1' 'O4' 41 19 46.7 1 202.02935 0.4950 1  
3 'O1' 'O5' 100 53 61.0 1 245.85990 0.4067 1  
3 'O1' 'H1' 150 40 34.8 1 233.57301 0.4281 1  
3 'O1' 'H2' 155 09 75.8 1 227.62815 0.4393 1  
3 'O1' 'H3' 160 01 08.3 1 222.98397 0.4485 1  
3 'O1' 'H4' 165 09 46.2 1 219.69712 0.4552 1  
3 'O1' 'H5' 170 32 41.8 1 217.83419 0.4591 1  
3 'O1' 'H6' 175 58 00.2 1 217.53331 0.4597 1  
3 'O1' 'H7' 180 42 41.7 1 218.53667 0.4576 1  
3 'O2' 'O4' 0 00 00.0 1 140.05751 0.7140 1  
3 'O2' 'O5' 15 33 75.7 1 338.31517 0.2956 1  
3 'O2' 'H1' 42 14 62.2 1 429.16171 0.2330 1  
3 'O2' 'H2' 44 81 41.3 1 429.78353 0.2327 1  
3 'O2' 'H3' 47 46 75.5 1 431.15424 0.2319 1  
3 'O2' 'H4' 50 09 71.3 1 433.24034 0.2308 1  
3 'O2' 'H5' 52 70 99.8 1 436.06511 0.2293 1  
3 'O2' 'H6' 55 27 00.2 1 439.66728 0.2274 1  
3 'O2' 'H7' 57 59 79.8 1 443.58485 0.2254 1  
3 'O2' 'O1' 67 12 63.3 1 230.34026 0.4341 1  
3 'O2' 'O3' 344 49 02.0 1 234.71251 0.4261 1  
3 'O3' 'O5' 0 00 00.0 1 315.17791 0.3173 1  
3 'O3' 'O4' 41 96 68.3 1 180.02488 0.5555 1  
3 'O3' 'O2' 82 58 54.0 1 234.71214 0.4261 1  
3 'O4' 'O5' 0 00 00.0 1 205.04468 0.4877 1  
3 'O4' 'H1' 33 18 44.3 1 330.11660 0.3029 1  
3 'O4' 'H2' 36 47 22.5 1 335.49540 0.2981 1  
3 'O4' 'H3' 39 64 59.7 1 341.73336 0.2926 1  
3 'O4' 'H4' 42 69 66.3 1 348.75717 0.2867 1  
3 'O4' 'H5' 45 63 57.0 1 356.58211 0.2804 1  
3 'O4' 'H6' 48 42 23.2 1 365.15276 0.2739 1  
3 'O4' 'H7' 50 88 41.7 1 373.64171 0.2676 1  
3 'O4' 'O1' 82 56 16.7 1 202.02962 0.4950 1  
3 'O4' 'O2' 174 24 16.0 1 140.05746 0.7140 1  
3 'O4' 'O3' 278 11 29.0 1 180.02504 0.5555 1  
3 'O5' 'O4' 0 00 00.0 1 205.04440 0.4877 1  
3 'O5' 'O3' 36 14 54.0 1 315.17787 0.3173 1  
3 'O5' 'H1' 270 78 23.7 1 183.36269 0.5454 1  
3 'O5' 'H2' 274 53 70.3 1 197.44558 0.5065 1

|   |      |      |     |    |      |   |           |        |   |
|---|------|------|-----|----|------|---|-----------|--------|---|
| 3 | '05' | 'H3' | 277 | 78 | 03.7 | 1 | 212.11145 | 0.4715 | 1 |
| 3 | '05' | 'H4' | 280 | 60 | 13.2 | 1 | 227.22528 | 0.4401 | 1 |
| 3 | '05' | 'H5' | 283 | 07 | 86.7 | 1 | 242.80257 | 0.4119 | 1 |
| 3 | '05' | 'H6' | 285 | 22 | 85.7 | 1 | 258.65442 | 0.3866 | 1 |
| 3 | '05' | 'H7' | 287 | 00 | 04.7 | 1 | 273.53117 | 0.3656 | 1 |
| 3 | '05' | 'O1' | 341 | 90 | 25.5 | 1 | 245.86037 | 0.4067 | 1 |
| 3 | '05' | 'O2' | 389 | 57 | 84.8 | 1 | 338.31556 | 0.2956 | 1 |

\*PS  
0.66  
\*PD  
0.0002  
\*RK  
G  
\*IK  
DM  
\*IS  
DE  
\*IE  
D 3g\_2.rez  
\*Konec

## PRILOGA 15: PRIMER IZHODNE DATOTEKE IZRavnave

### \*.rez ZA INSTRUMENT TCRP1201 R300 ZA 3 GIRUSE

Izravnava RAvninske geodetske Mreže  
Program: RAM, ver.4.0, dec. 02  
Copyright (C) Tomaž Ambrožič & Goran Turk

Ime datoteke s podatki: 3g\_2.pod  
Ime datoteke za rezultate: 3g\_2.rez  
Ime datoteke za risanje slike mreže: 3g\_2.ris  
Ime datoteke za izračun premikov: 3g\_2.koo

Datum: 9. 7.2008  
Čas: 22:29: 2

Seznam PRIBLIŽNIH koordinat novih točk  
=====

| Točka | Y<br>(m)  | X<br>(m)  |
|-------|-----------|-----------|
| O1    | 1178.0567 | 1095.4307 |
| O2    | 1081.6873 | 886.2074  |
| O4    | 999.9877  | 999.9817  |
| O3    | 847.6387  | 904.0594  |
| O5    | 955.6181  | 1200.1799 |
| H1    | 1098.5422 | 1315.0608 |
| H2    | 1116.5414 | 1314.5972 |
| H3    | 1134.5292 | 1314.1334 |
| H4    | 1152.4959 | 1313.6436 |
| H5    | 1170.5514 | 1313.1442 |
| H6    | 1188.5178 | 1312.7221 |
| H7    | 1205.1314 | 1312.2937 |

Vseh točk je 12.

Pregled OPAZOVANJ  
=====

| Štev. | Stojišče | Vizura | Opazov. | smer  | W     | Utež | Dolžina  | Du     | Utež | Gr |
|-------|----------|--------|---------|-------|-------|------|----------|--------|------|----|
|       |          |        | (gradi) | ("")  |       | (m)  | (m)      |        |      |    |
| 1     | O1       | O2     | 0       | 0 0.0 | 0.000 | 1.00 | 230.3397 | 0.0000 | 0.43 | 1  |
| 2     | O1       | O4     | 41 19   | 46.7  | 0.000 | 1.00 | 202.0293 | 0.0000 | 0.50 | 1  |
| 3     | O1       | O5     | 100 53  | 61.0  | 0.000 | 1.00 | 245.8599 | 0.0000 | 0.41 | 1  |
| 4     | O1       | H1     | 150 40  | 34.8  | 0.000 | 1.00 | 233.5730 | 0.0000 | 0.43 | 1  |
| 5     | O1       | H2     | 155 9   | 75.8  | 0.000 | 1.00 | 227.6282 | 0.0000 | 0.44 | 1  |
| 6     | O1       | H3     | 160 1   | 8.3   | 0.000 | 1.00 | 222.9840 | 0.0000 | 0.45 | 1  |
| 7     | O1       | H4     | 165 9   | 46.2  | 0.000 | 1.00 | 219.6971 | 0.0000 | 0.46 | 1  |
| 8     | O1       | H5     | 170 32  | 41.8  | 0.000 | 1.00 | 217.8342 | 0.0000 | 0.46 | 1  |
| 9     | O1       | H6     | 175 58  | 0.2   | 0.000 | 1.00 | 217.5333 | 0.0000 | 0.46 | 1  |
| 10    | O1       | H7     | 180 42  | 41.7  | 0.000 | 1.00 | 218.5367 | 0.0000 | 0.46 | 1  |
| 11    | O2       | O4     | 0       | 0 0.0 | 0.000 | 1.00 | 140.0575 | 0.0000 | 0.71 | 1  |
| 12    | O2       | O5     | 15 33   | 75.7  | 0.000 | 1.00 | 338.3152 | 0.0000 | 0.30 | 1  |
| 13    | O2       | H1     | 42 14   | 62.2  | 0.000 | 1.00 | 429.1617 | 0.0000 | 0.23 | 1  |
| 14    | O2       | H2     | 44 81   | 41.3  | 0.000 | 1.00 | 429.7835 | 0.0000 | 0.23 | 1  |
| 15    | O2       | H3     | 47 46   | 75.5  | 0.000 | 1.00 | 431.1542 | 0.0000 | 0.23 | 1  |
| 16    | O2       | H4     | 50 9    | 71.3  | 0.000 | 1.00 | 433.2403 | 0.0000 | 0.23 | 1  |
| 17    | O2       | H5     | 52 70   | 99.8  | 0.000 | 1.00 | 436.0651 | 0.0000 | 0.23 | 1  |
| 18    | O2       | H6     | 55 27   | 0.2   | 0.000 | 1.00 | 439.6673 | 0.0000 | 0.23 | 1  |
| 19    | O2       | H7     | 57 59   | 79.8  | 0.000 | 1.00 | 443.5849 | 0.0000 | 0.23 | 1  |
| 20    | O2       | O1     | 67 12   | 63.3  | 0.000 | 1.00 | 230.3403 | 0.0000 | 0.43 | 1  |
| 21    | O2       | O3     | 344 49  | 2.0   | 0.000 | 1.00 | 234.7125 | 0.0000 | 0.43 | 1  |

|    |    |    |     |    |      |       |      |          |        |      |   |
|----|----|----|-----|----|------|-------|------|----------|--------|------|---|
| 22 | 03 | 05 | 0   | 0  | 0.0  | 0.000 | 1.00 | 315.1779 | 0.0000 | 0.32 | 1 |
| 23 | 03 | 04 | 41  | 96 | 68.3 | 0.000 | 1.00 | 180.0249 | 0.0000 | 0.56 | 1 |
| 24 | 03 | 02 | 82  | 58 | 54.0 | 0.000 | 1.00 | 234.7121 | 0.0000 | 0.43 | 1 |
| 25 | 04 | 05 | 0   | 0  | 0.0  | 0.000 | 1.00 | 205.0447 | 0.0000 | 0.49 | 1 |
| 26 | 04 | H1 | 33  | 18 | 44.3 | 0.000 | 1.00 | 330.1166 | 0.0000 | 0.30 | 1 |
| 27 | 04 | H2 | 36  | 47 | 22.5 | 0.000 | 1.00 | 335.4954 | 0.0000 | 0.30 | 1 |
| 28 | 04 | H3 | 39  | 64 | 59.7 | 0.000 | 1.00 | 341.7334 | 0.0000 | 0.29 | 1 |
| 29 | 04 | H4 | 42  | 69 | 66.3 | 0.000 | 1.00 | 348.7572 | 0.0000 | 0.29 | 1 |
| 30 | 04 | H5 | 45  | 63 | 57.0 | 0.000 | 1.00 | 356.5821 | 0.0000 | 0.28 | 1 |
| 31 | 04 | H6 | 48  | 42 | 23.2 | 0.000 | 1.00 | 365.1528 | 0.0000 | 0.27 | 1 |
| 32 | 04 | H7 | 50  | 88 | 41.7 | 0.000 | 1.00 | 373.6417 | 0.0000 | 0.27 | 1 |
| 33 | 04 | O1 | 82  | 56 | 16.7 | 0.000 | 1.00 | 202.0296 | 0.0000 | 0.50 | 1 |
| 34 | 04 | O2 | 174 | 24 | 16.0 | 0.000 | 1.00 | 140.0575 | 0.0000 | 0.71 | 1 |
| 35 | 04 | O3 | 278 | 11 | 29.0 | 0.000 | 1.00 | 180.0250 | 0.0000 | 0.56 | 1 |
| 36 | 05 | O4 | 0   | 0  | 0.0  | 0.000 | 1.00 | 205.0444 | 0.0000 | 0.49 | 1 |
| 37 | 05 | O3 | 36  | 14 | 54.0 | 0.000 | 1.00 | 315.1779 | 0.0000 | 0.32 | 1 |
| 38 | 05 | H1 | 270 | 78 | 23.7 | 0.000 | 1.00 | 183.3627 | 0.0000 | 0.55 | 1 |
| 39 | 05 | H2 | 274 | 53 | 70.3 | 0.000 | 1.00 | 197.4456 | 0.0000 | 0.51 | 1 |
| 40 | 05 | H3 | 277 | 78 | 3.7  | 0.000 | 1.00 | 212.1114 | 0.0000 | 0.47 | 1 |
| 41 | 05 | H4 | 280 | 60 | 13.2 | 0.000 | 1.00 | 227.2253 | 0.0000 | 0.44 | 1 |
| 42 | 05 | H5 | 283 | 7  | 86.7 | 0.000 | 1.00 | 242.8026 | 0.0000 | 0.41 | 1 |
| 43 | 05 | H6 | 285 | 22 | 85.7 | 0.000 | 1.00 | 258.6544 | 0.0000 | 0.39 | 1 |
| 44 | 05 | H7 | 287 | 0  | 4.7  | 0.000 | 1.00 | 273.5312 | 0.0000 | 0.37 | 1 |
| 45 | 05 | O1 | 341 | 90 | 25.5 | 0.000 | 1.00 | 245.8604 | 0.0000 | 0.41 | 1 |
| 46 | 05 | O2 | 389 | 57 | 84.8 | 0.000 | 1.00 | 338.3156 | 0.0000 | 0.30 | 1 |

Podan srednji pogrešek utežne enote smeri (a-priori ocena): 0.66 sekund.  
 Podan srednji pogrešek utežne enote dolžin (a-priori ocena): 0.200 mm.

Število enačb popravkov je 92.  
 - Število enačb popravkov za smeri je 46.  
 - Število enačb popravkov za dolžine je 46.  
 Število neznank je 29.  
 - Število koordinatnih neznank je 24.  
 - Število orientacijskih neznank je 5.  
 Defekt mreže je 3.

#### POPRAVKI približnih vrednosti

=====

| Točka | Dy<br>(m) | Dx<br>(m) | Do<br>(") |
|-------|-----------|-----------|-----------|
| O1    | -0.0001   | 0.0033    | -1.5      |
| O2    | -0.0039   | 0.0170    | 2.4       |
| O4    | 0.0057    | 0.0092    | -0.1      |
| O3    | 0.0118    | 0.0118    | -1.7      |
| O5    | 0.0061    | -0.0026   | -1.5      |
| H1    | -0.0022   | -0.0057   |           |
| H2    | -0.0008   | -0.0051   |           |
| H3    | -0.0012   | -0.0054   |           |
| H4    | -0.0015   | -0.0048   |           |
| H5    | -0.0024   | -0.0054   |           |
| H6    | -0.0047   | -0.0063   |           |
| H7    | -0.0068   | -0.0058   |           |

#### IZRAVNANE vrednosti koordinat in ANALIZA natančnosti

=====

| Točka | Y<br>(m)  | X<br>(m)  | My<br>(m) | Mx<br>(m) | Mp<br>(m) | a<br>(m) | b<br>(m) | Theta<br>(st.) |
|-------|-----------|-----------|-----------|-----------|-----------|----------|----------|----------------|
| O1    | 1178.0566 | 1095.4340 | 0.0001    | 0.0001    | 0.0001    | 0.0001   | 0.0001   | 91.            |
| O2    | 1081.6834 | 886.2244  | 0.0001    | 0.0001    | 0.0001    | 0.0001   | 0.0001   | 82.            |
| O4    | 999.9934  | 999.9909  | 0.0001    | 0.0001    | 0.0001    | 0.0001   | 0.0001   | 110.           |
| O3    | 847.6505  | 904.0712  | 0.0001    | 0.0001    | 0.0002    | 0.0001   | 0.0001   | 179.           |
| O5    | 955.6242  | 1200.1773 | 0.0001    | 0.0001    | 0.0001    | 0.0001   | 0.0001   | 133.           |
| H1    | 1098.5400 | 1315.0551 | 0.0002    | 0.0002    | 0.0003    | 0.0002   | 0.0001   | 106.           |
| H2    | 1116.5406 | 1314.5921 | 0.0002    | 0.0002    | 0.0003    | 0.0002   | 0.0001   | 108.           |

|    |           |           |        |        |        |        |        |      |
|----|-----------|-----------|--------|--------|--------|--------|--------|------|
| H3 | 1134.5280 | 1314.1280 | 0.0002 | 0.0002 | 0.0003 | 0.0002 | 0.0001 | 109. |
| H4 | 1152.4944 | 1313.6388 | 0.0002 | 0.0002 | 0.0003 | 0.0002 | 0.0001 | 111. |
| H5 | 1170.5490 | 1313.1388 | 0.0002 | 0.0002 | 0.0003 | 0.0002 | 0.0001 | 113. |
| H6 | 1188.5131 | 1312.7158 | 0.0002 | 0.0002 | 0.0003 | 0.0003 | 0.0001 | 115. |
| H7 | 1205.1246 | 1312.2879 | 0.0002 | 0.0002 | 0.0003 | 0.0003 | 0.0001 | 117. |

Srednji pogrešek utežne enote /m0/ je 0.85061.  
 [pvv] = 47.7538333638  
 [xx] vseh neznank = 13.1140638771  
 [xx] samo koordinatnih neznank = 0.0010525387  
 Srednji pogrešek aritmetične sredine /m\_arit/ je 0.00004.

Srednji pogrešek smeri /m0\*m0\_smeri/ je 0.5614 sekund.  
 Srednji pogrešek dolžin /m0\*m0\_dolžin/ je 0.1701 milimetrov.

Največji položajni pogrešek /Mp\_max/ je 0.0003 metrov.  
 Najmanjši položajni pogrešek /Mp\_min/ je 0.0001 metrov.  
 Srednji položajni pogrešek /Mp\_sred/ je 0.0002 metrov.

#### PREGLED opazovanih SMERI

---

Smerni koti in dolžine so izračunani iz zaokroženih koordinat.  
 Smerni in smerni koti so izpisani v stopinjah.

Nova točka: O1            Y = 1178.0566    X = 1095.4340  
 Orientacijski kot = 204 43 59.7

| Vizura | Gr | Utež | Opazov. | smer | Orient. | smer | Def. | sm.  | kot | Popravek | Dolžina |      |         |
|--------|----|------|---------|------|---------|------|------|------|-----|----------|---------|------|---------|
| O2     | 1  | 1.00 | 0       | 0    | 0.0     | 204  | 43   | 59.7 | 204 | 44       | 0.0     | 0.4  | 230.340 |
| O4     | 1  | 1.00 | 37      | 4    | 30.7    | 241  | 48   | 30.4 | 241 | 48       | 30.2    | -0.2 | 202.029 |
| O5     | 1  | 1.00 | 90      | 28   | 57.0    | 295  | 12   | 56.6 | 295 | 12       | 56.6    | 0.0  | 245.860 |
| H1     | 1  | 1.00 | 135     | 21   | 47.3    | 340  | 5    | 46.9 | 340 | 5        | 47.7    | 0.7  | 233.573 |
| H2     | 1  | 1.00 | 139     | 35   | 16.2    | 344  | 19   | 15.8 | 344 | 19       | 15.5    | -0.3 | 227.628 |
| H3     | 1  | 1.00 | 144     | 0    | 35.1    | 348  | 44   | 34.7 | 348 | 44       | 34.9    | 0.2  | 222.984 |
| H4     | 1  | 1.00 | 148     | 35   | 6.6     | 353  | 19   | 6.2  | 353 | 19       | 6.2     | 0.0  | 219.697 |
| H5     | 1  | 1.00 | 153     | 17   | 30.3    | 358  | 1    | 30.0 | 358 | 1        | 29.7    | -0.3 | 217.834 |
| H6     | 1  | 1.00 | 158     | 1    | 19.3    | 2    | 45   | 18.9 | 2   | 45       | 18.7    | -0.3 | 217.533 |
| H7     | 1  | 1.00 | 162     | 22   | 54.3    | 7    | 6    | 54.0 | 7   | 6        | 53.8    | -0.2 | 218.537 |

Nova točka: O2            Y = 1081.6834    X = 886.2244  
 Orientacijski kot = 324 19 10.3

| Vizura | Gr | Utež | Opazov. | smer | Orient. | smer | Def. | sm.  | kot | Popravek | Dolžina |      |         |
|--------|----|------|---------|------|---------|------|------|------|-----|----------|---------|------|---------|
| O4     | 1  | 1.00 | 0       | 0    | 0.0     | 324  | 19   | 10.3 | 324 | 19       | 11.2    | 0.9  | 140.057 |
| O5     | 1  | 1.00 | 13      | 48   | 13.7    | 338  | 7    | 24.0 | 338 | 7        | 24.3    | 0.3  | 338.315 |
| H1     | 1  | 1.00 | 37      | 55   | 53.8    | 2    | 15   | 4.0  | 2   | 15       | 3.7     | -0.3 | 429.162 |
| H2     | 1  | 1.00 | 40      | 19   | 57.8    | 4    | 39   | 8.1  | 4   | 39       | 7.3     | -0.8 | 429.784 |
| H3     | 1  | 1.00 | 42      | 43   | 14.9    | 7    | 2    | 25.2 | 7   | 2        | 24.7    | -0.5 | 431.154 |
| H4     | 1  | 1.00 | 45      | 5    | 14.7    | 9    | 24   | 25.0 | 9   | 24       | 24.9    | -0.1 | 433.240 |
| H5     | 1  | 1.00 | 47      | 26   | 20.3    | 11   | 45   | 30.6 | 11  | 45       | 31.2    | 0.5  | 436.065 |
| H6     | 1  | 1.00 | 49      | 44   | 34.9    | 14   | 3    | 45.2 | 14  | 3        | 44.6    | -0.5 | 439.667 |
| H7     | 1  | 1.00 | 51      | 50   | 17.5    | 16   | 9    | 27.7 | 16  | 9        | 27.4    | -0.3 | 443.585 |
| O1     | 1  | 1.00 | 60      | 24   | 49.3    | 24   | 43   | 59.6 | 24  | 44       | 0.0     | 0.4  | 230.340 |
| O3     | 1  | 1.00 | 310     | 2    | 28.2    | 274  | 21   | 38.5 | 274 | 21       | 38.9    | 0.3  | 234.712 |

Nova točka: O3            Y = 847.6505    X = 904.0712  
 Orientacijski kot = 20 2 2.6

| Vizura | Gr | Utež | Opazov. | smer | Orient. | smer | Def. | sm.  | kot | Popravek | Dolžina |      |         |
|--------|----|------|---------|------|---------|------|------|------|-----|----------|---------|------|---------|
| O5     | 1  | 1.00 | 0       | 0    | 0.0     | 20   | 2    | 2.6  | 20  | 2        | 2.9     | 0.3  | 315.178 |
| O4     | 1  | 1.00 | 37      | 46   | 12.5    | 57   | 48   | 15.1 | 57  | 48       | 15.3    | 0.1  | 180.025 |
| O2     | 1  | 1.00 | 74      | 19   | 36.7    | 94   | 21   | 39.3 | 94  | 21       | 38.9    | -0.4 | 234.712 |

Nova točka: O4            Y = 999.9934    X = 999.9909  
 Orientacijski kot = 347 30 9.8

| Vizura | Gr | Utež | Opazov. | smer | Orient. | smer | Def. | sm.  | kot | Popravek | Dolžina |      |         |
|--------|----|------|---------|------|---------|------|------|------|-----|----------|---------|------|---------|
| O5     | 1  | 1.00 | 0       | 0    | 0.0     | 347  | 30   | 9.8  | 347 | 30       | 10.9    | 1.0  | 205.044 |
| H1     | 1  | 1.00 | 29      | 51   | 57.6    | 17   | 22   | 7.4  | 17  | 22       | 7.6     | 0.2  | 330.116 |
| H2     | 1  | 1.00 | 32      | 49   | 30.1    | 20   | 19   | 39.9 | 20  | 19       | 39.6    | -0.4 | 335.495 |
| H3     | 1  | 1.00 | 35      | 40   | 52.9    | 23   | 11   | 2.8  | 23  | 11       | 1.9     | -0.9 | 341.733 |
| H4     | 1  | 1.00 | 38      | 25   | 37.1    | 25   | 55   | 46.9 | 25  | 55       | 47.3    | 0.4  | 348.757 |
| H5     | 1  | 1.00 | 41      | 4    | 19.7    | 28   | 34   | 29.5 | 28  | 34       | 29.5    | 0.0  | 356.582 |
| H6     | 1  | 1.00 | 43      | 34   | 48.3    | 31   | 4    | 58.2 | 31  | 4        | 58.1    | -0.1 | 365.153 |
| H7     | 1  | 1.00 | 45      | 47   | 44.7    | 33   | 17   | 54.6 | 33  | 17       | 55.6    | 1.0  | 373.642 |

|    |   |      |     |    |      |     |    |      |     |    |      |      |         |
|----|---|------|-----|----|------|-----|----|------|-----|----|------|------|---------|
| O1 | 1 | 1.00 | 74  | 18 | 19.8 | 61  | 48 | 29.7 | 61  | 48 | 30.2 | 0.5  | 202.029 |
| O2 | 1 | 1.00 | 156 | 49 | 2.8  | 144 | 19 | 12.6 | 144 | 19 | 11.2 | -1.4 | 140.057 |
| O3 | 1 | 1.00 | 250 | 18 | 5.8  | 237 | 48 | 15.6 | 237 | 48 | 15.3 | -0.4 | 180.025 |

| Nova točka: 05 |    |      | Y =     | 955.6242 | X =     | 1200.1773 | Orientacijski kot = 167 30 11.2 |      |          |         |      |      |         |
|----------------|----|------|---------|----------|---------|-----------|---------------------------------|------|----------|---------|------|------|---------|
| Vizura         | Gr | Utež | Opozov. | smer     | Orient. | smer      | Def. sm.                        | kot  | Popravek | Dolžina |      |      |         |
| O4             | 1  | 1.00 | 0       | 0        | 0.0     | 167       | 30                              | 11.2 | 167      | 30      | 10.9 | -0.4 | 205.044 |
| O3             | 1  | 1.00 | 32      | 31       | 51.1    | 200       | 2                               | 2.3  | 200      | 2       | 2.9  | 0.6  | 315.178 |
| H1             | 1  | 1.00 | 243     | 42       | 14.9    | 51        | 12                              | 26.1 | 51       | 12      | 25.8 | -0.3 | 183.363 |
| H2             | 1  | 1.00 | 247     | 4        | 60.0    | 54        | 35                              | 11.2 | 54       | 35      | 11.1 | -0.1 | 197.446 |
| H3             | 1  | 1.00 | 250     | 0        | 8.4     | 57        | 30                              | 19.6 | 57       | 30      | 19.3 | -0.3 | 212.112 |
| H4             | 1  | 1.00 | 252     | 32       | 28.3    | 60        | 2                               | 39.5 | 60       | 2       | 38.5 | -1.1 | 227.225 |
| H5             | 1  | 1.00 | 254     | 46       | 14.9    | 62        | 16                              | 26.1 | 62       | 16      | 27.1 | 1.0  | 242.802 |
| H6             | 1  | 1.00 | 256     | 42       | 20.6    | 64        | 12                              | 31.8 | 64       | 12      | 31.9 | 0.1  | 258.655 |
| H7             | 1  | 1.00 | 258     | 18       | 1.5     | 65        | 48                              | 12.8 | 65       | 48      | 13.3 | 0.5  | 273.531 |
| O1             | 1  | 1.00 | 307     | 42       | 44.3    | 115       | 12                              | 55.5 | 115      | 12      | 56.6 | 1.1  | 245.860 |
| O2             | 1  | 1.00 | 350     | 37       | 14.3    | 158       | 7                               | 25.5 | 158      | 7       | 24.3 | -1.2 | 338.315 |

#### PREGLED merjenih DOLŽIN

---

Dolžine so izračunane iz zaokroženih koordinat.  
 Multiplikacijska konstanta ni bila izračunana (= 1).  
 Adicijska konstanta ni bila izračunana (= 0 metra).

| Od<br>točke | Do<br>točke | Utež | Merjena<br>dolž | Modulirana<br>dolžina | Definitivna<br>Mer.*Mk+Ak | Popravek<br>Proj.-Du | Popravek<br>Mod.dolž. | Projekcij.<br>iz koo. |
|-------------|-------------|------|-----------------|-----------------------|---------------------------|----------------------|-----------------------|-----------------------|
| O1          | O2          | 0.43 | 230.3397        | 230.3397              | 230.3399                  | 0.0002               | 230.3399              |                       |
| O1          | O4          | 0.50 | 202.0293        | 202.0293              | 202.0294                  | 0.0001               | 202.0294              |                       |
| O1          | O5          | 0.41 | 245.8599        | 245.8599              | 245.8604                  | 0.0005               | 245.8604              |                       |
| O1          | H1          | 0.43 | 233.5730        | 233.5730              | 233.5729                  | -0.0001              | 233.5729              |                       |
| O1          | H2          | 0.44 | 227.6282        | 227.6282              | 227.6280                  | -0.0002              | 227.6280              |                       |
| O1          | H3          | 0.45 | 222.9840        | 222.9840              | 222.9839                  | -0.0001              | 222.9839              |                       |
| O1          | H4          | 0.46 | 219.6971        | 219.6971              | 219.6970                  | -0.0001              | 219.6970              |                       |
| O1          | H5          | 0.46 | 217.8342        | 217.8342              | 217.8342                  | 0.0000               | 217.8342              |                       |
| O1          | H6          | 0.46 | 217.5333        | 217.5333              | 217.5333                  | -0.0001              | 217.5333              |                       |
| O1          | H7          | 0.46 | 218.5367        | 218.5367              | 218.5367                  | 0.0000               | 218.5367              |                       |
| O2          | O4          | 0.71 | 140.0575        | 140.0575              | 140.0574                  | -0.0001              | 140.0574              |                       |
| O2          | O5          | 0.30 | 338.3152        | 338.3152              | 338.3155                  | 0.0003               | 338.3155              |                       |
| O2          | H1          | 0.23 | 429.1617        | 429.1617              | 429.1619                  | 0.0002               | 429.1619              |                       |
| O2          | H2          | 0.23 | 429.7835        | 429.7835              | 429.7836                  | 0.0000               | 429.7836              |                       |
| O2          | H3          | 0.23 | 431.1542        | 431.1542              | 431.1543                  | 0.0001               | 431.1543              |                       |
| O2          | H4          | 0.23 | 433.2403        | 433.2403              | 433.2404                  | 0.0001               | 433.2404              |                       |
| O2          | H5          | 0.23 | 436.0651        | 436.0651              | 436.0654                  | 0.0003               | 436.0654              |                       |
| O2          | H6          | 0.23 | 439.6673        | 439.6673              | 439.6675                  | 0.0002               | 439.6675              |                       |
| O2          | H7          | 0.23 | 443.5849        | 443.5849              | 443.5852                  | 0.0004               | 443.5852              |                       |
| O2          | O1          | 0.43 | 230.3403        | 230.3403              | 230.3399                  | -0.0004              | 230.3399              |                       |
| O2          | O3          | 0.43 | 234.7125        | 234.7125              | 234.7124                  | -0.0001              | 234.7124              |                       |
| O3          | O5          | 0.32 | 315.1779        | 315.1779              | 315.1780                  | 0.0000               | 315.1780              |                       |
| O3          | O4          | 0.56 | 180.0249        | 180.0249              | 180.0249                  | 0.0000               | 180.0249              |                       |
| O3          | O2          | 0.43 | 234.7121        | 234.7121              | 234.7124                  | 0.0003               | 234.7124              |                       |
| O4          | O5          | 0.49 | 205.0447        | 205.0447              | 205.0444                  | -0.0002              | 205.0444              |                       |
| O4          | H1          | 0.30 | 330.1166        | 330.1166              | 330.1165                  | -0.0001              | 330.1165              |                       |
| O4          | H2          | 0.30 | 335.4954        | 335.4954              | 335.4954                  | 0.0000               | 335.4954              |                       |
| O4          | H3          | 0.29 | 341.7334        | 341.7334              | 341.7333                  | 0.0000               | 341.7333              |                       |
| O4          | H4          | 0.29 | 348.7572        | 348.7572              | 348.7572                  | 0.0000               | 348.7572              |                       |
| O4          | H5          | 0.28 | 356.5821        | 356.5821              | 356.5821                  | 0.0000               | 356.5821              |                       |
| O4          | H6          | 0.27 | 365.1528        | 365.1528              | 365.1528                  | 0.0000               | 365.1528              |                       |
| O4          | H7          | 0.27 | 373.6417        | 373.6417              | 373.6418                  | 0.0001               | 373.6418              |                       |
| O4          | O1          | 0.50 | 202.0296        | 202.0296              | 202.0294                  | -0.0002              | 202.0294              |                       |
| O4          | O2          | 0.71 | 140.0575        | 140.0575              | 140.0574                  | -0.0001              | 140.0574              |                       |
| O4          | O3          | 0.56 | 180.0250        | 180.0250              | 180.0249                  | -0.0002              | 180.0249              |                       |
| O5          | O4          | 0.49 | 205.0444        | 205.0444              | 205.0444                  | 0.0000               | 205.0444              |                       |
| O5          | O3          | 0.32 | 315.1779        | 315.1779              | 315.1780                  | 0.0001               | 315.1780              |                       |
| O5          | H1          | 0.55 | 183.3627        | 183.3627              | 183.3626                  | -0.0001              | 183.3626              |                       |
| O5          | H2          | 0.51 | 197.4456        | 197.4456              | 197.4458                  | 0.0002               | 197.4458              |                       |
| O5          | H3          | 0.47 | 212.1114        | 212.1114              | 212.1116                  | 0.0002               | 212.1116              |                       |
| O5          | H4          | 0.44 | 227.2253        | 227.2253              | 227.2254                  | 0.0001               | 227.2254              |                       |
| O5          | H5          | 0.41 | 242.8026        | 242.8026              | 242.8023                  | -0.0002              | 242.8023              |                       |
| O5          | H6          | 0.39 | 258.6544        | 258.6544              | 258.6545                  | 0.0001               | 258.6545              |                       |
| O5          | H7          | 0.37 | 273.5312        | 273.5312              | 273.5311                  | -0.0001              | 273.5311              |                       |

|    |    |      |          |          |          |         |          |
|----|----|------|----------|----------|----------|---------|----------|
| 05 | 01 | 0.41 | 245.8604 | 245.8604 | 245.8604 | 0.0000  | 245.8604 |
| 05 | 02 | 0.30 | 338.3156 | 338.3156 | 338.3155 | -0.0001 | 338.3155 |